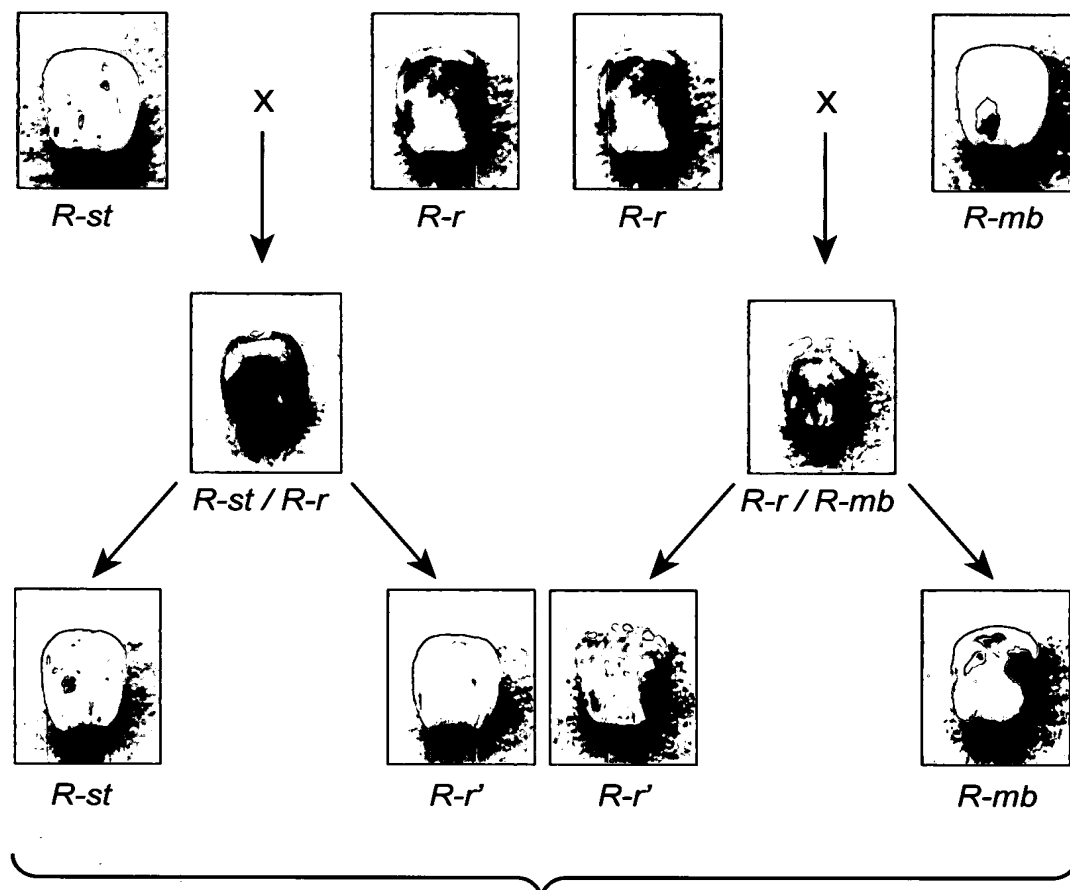
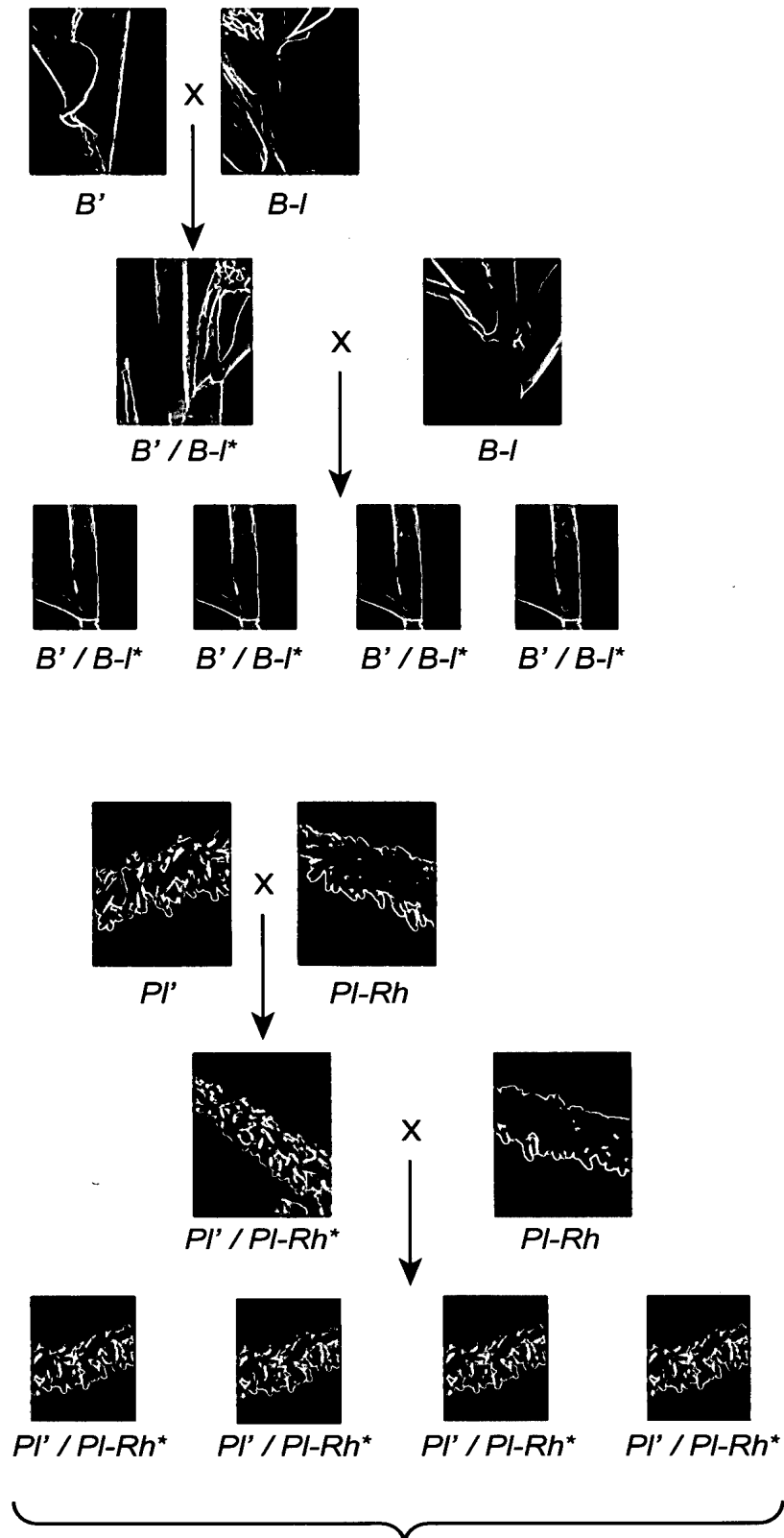
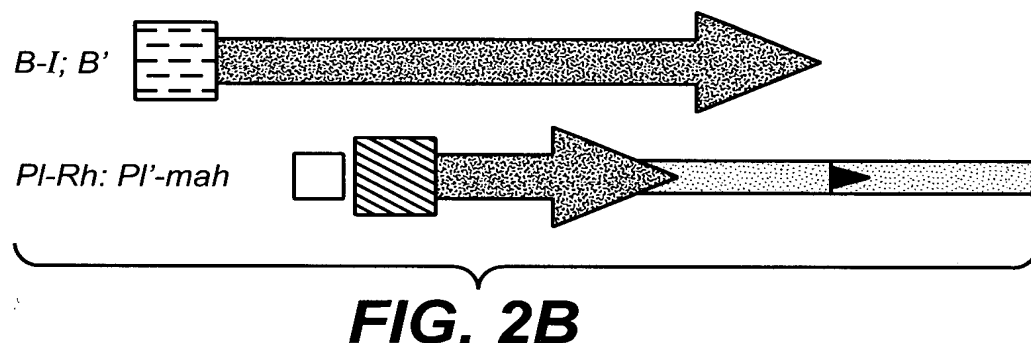
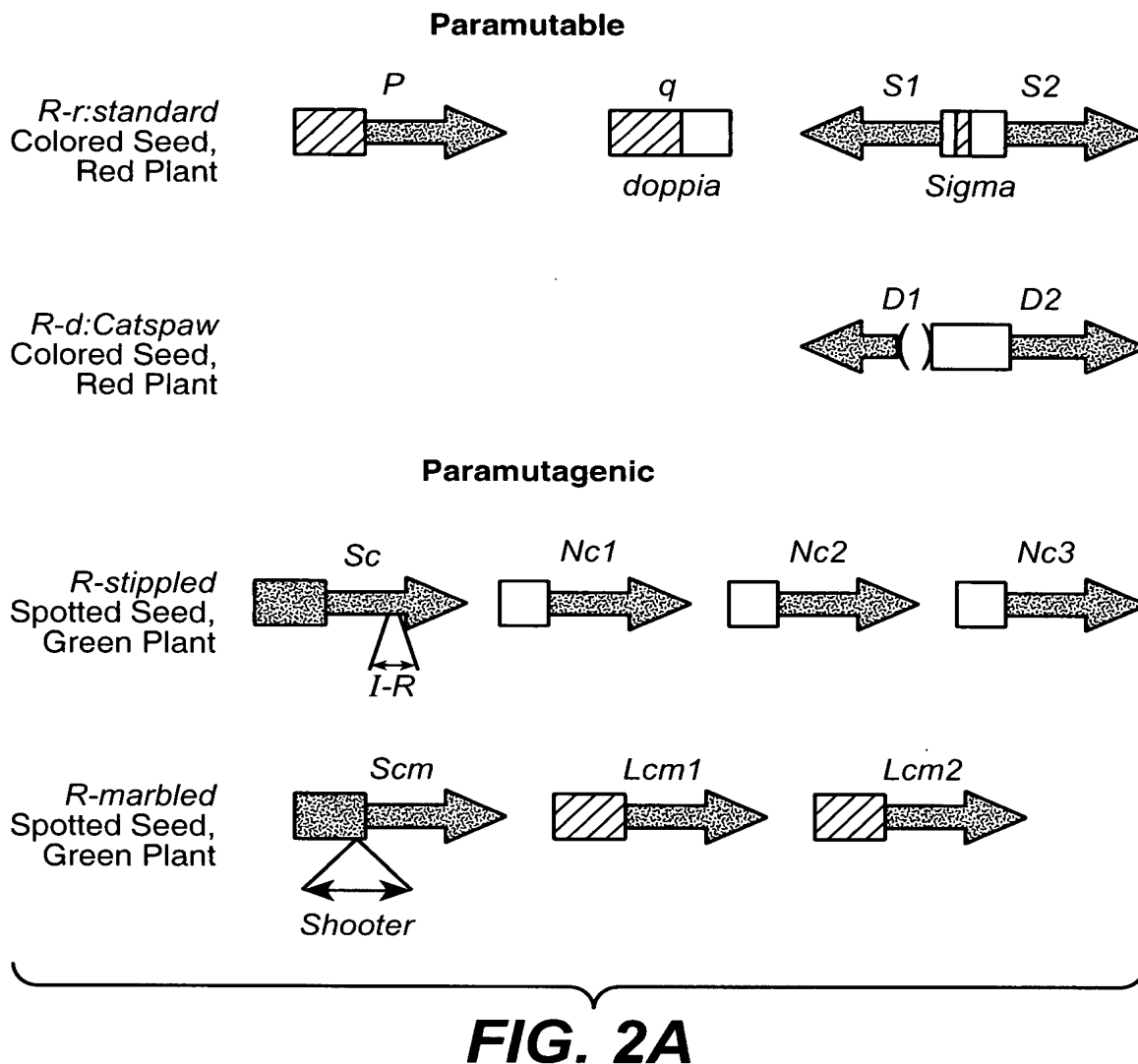




041607

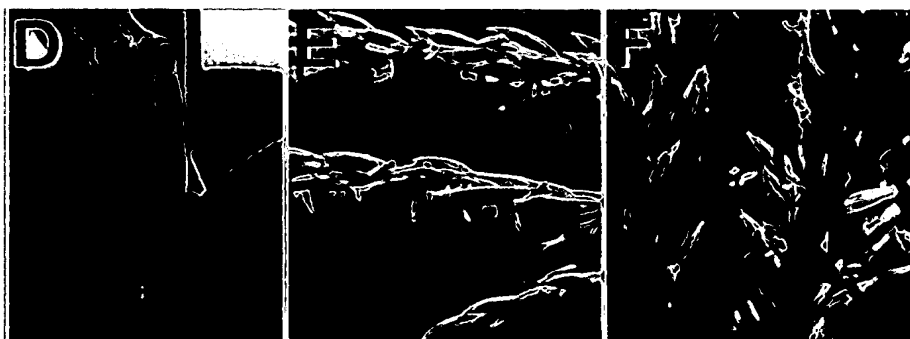
**FIG. 1A**





**FIG. 3A      FIG. 3B      FIG. 3C**

*B' Mop1 / mop1-1      B' mop1-1 / mop1-1      B-I Mop1 / Mop1*

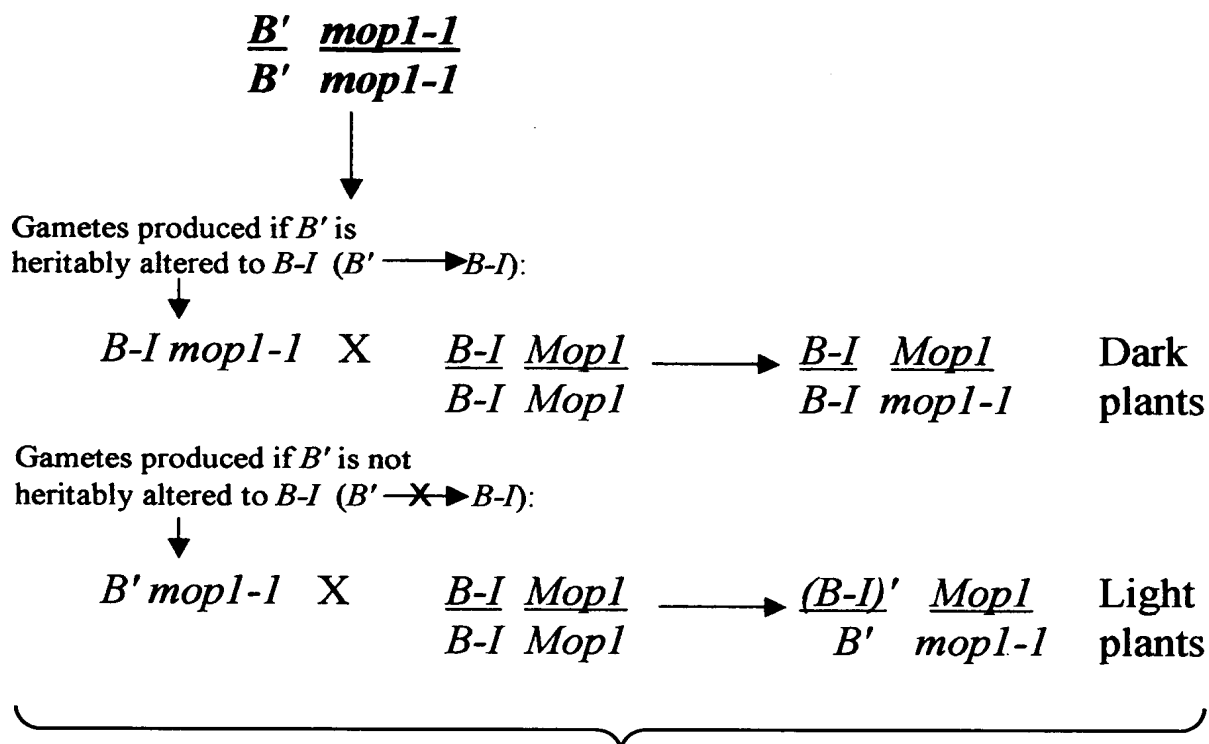


*B' Sectors in a  
B' mop1-1 Plant*

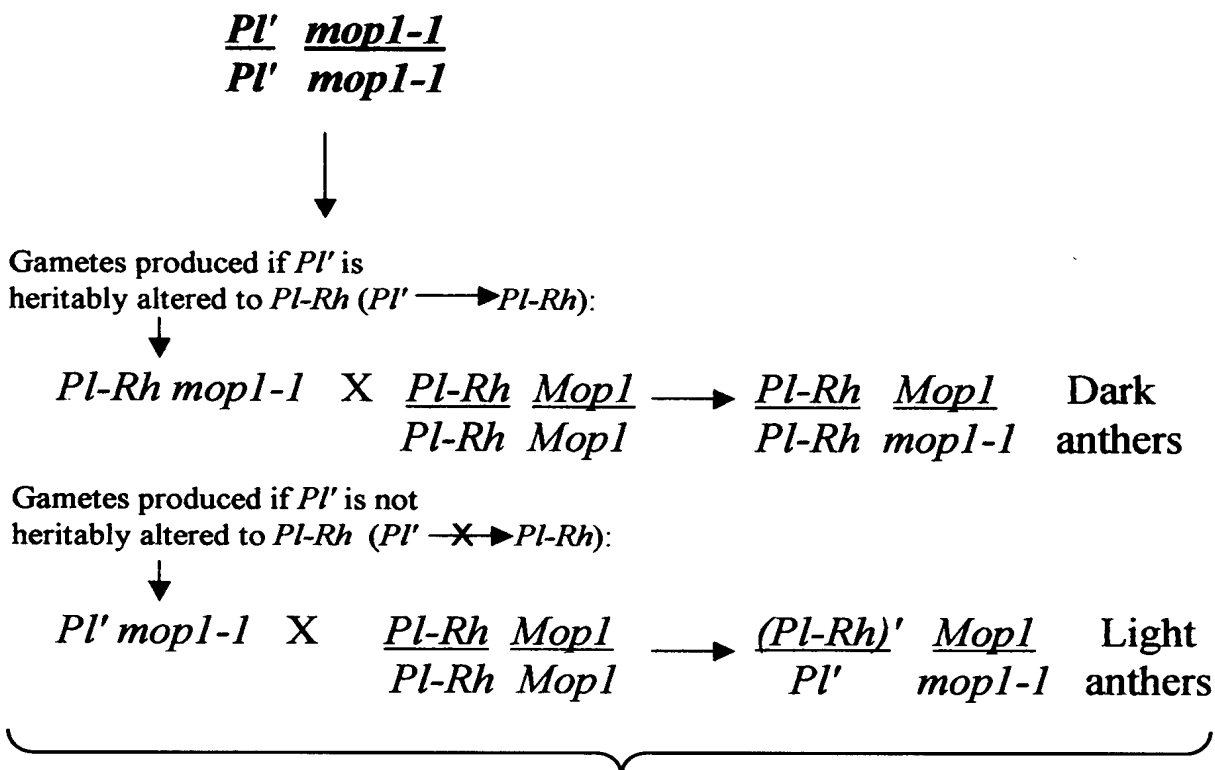
*PI' Mop1 / -*

*PI' mop1-1 / mop1-1*

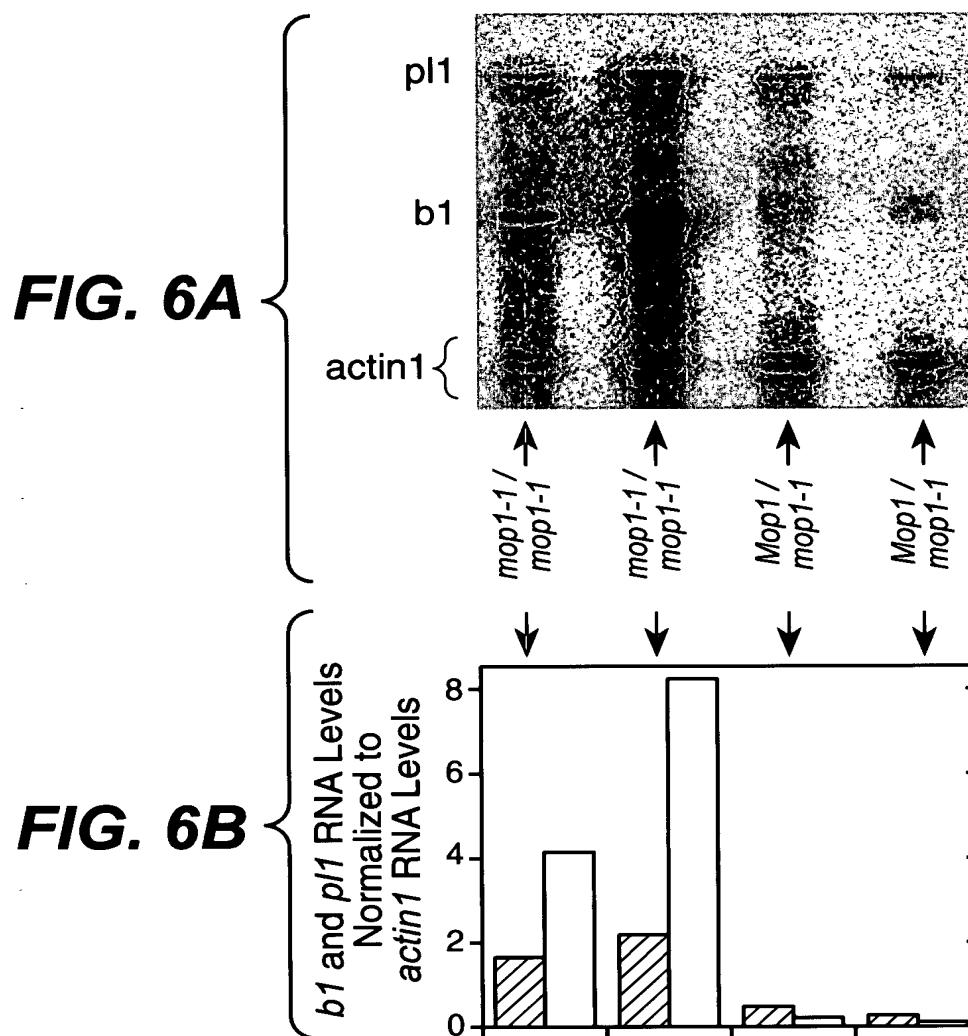
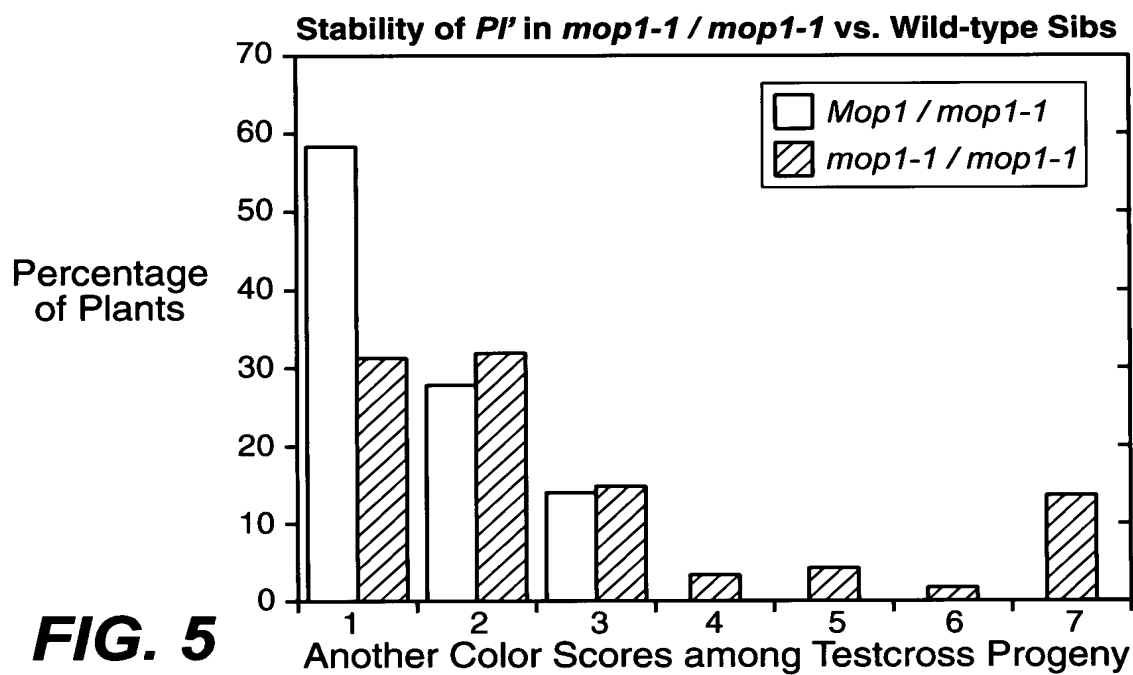
**FIG. 3D      FIG. 3E      FIG. 3F**

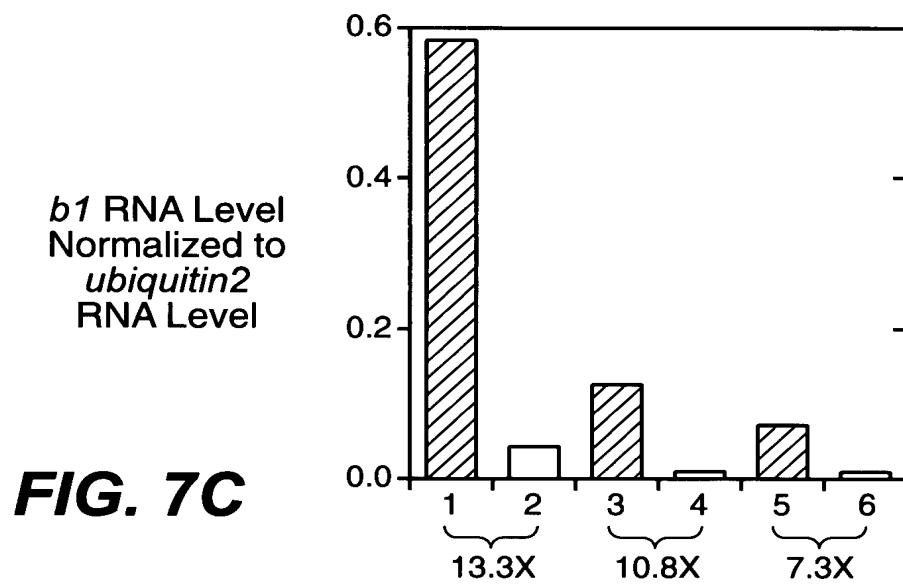
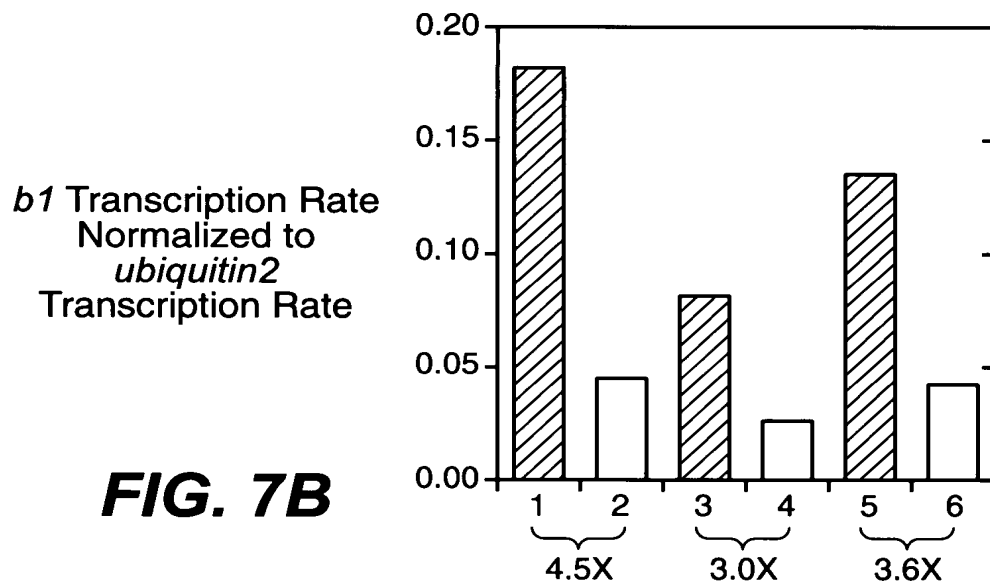
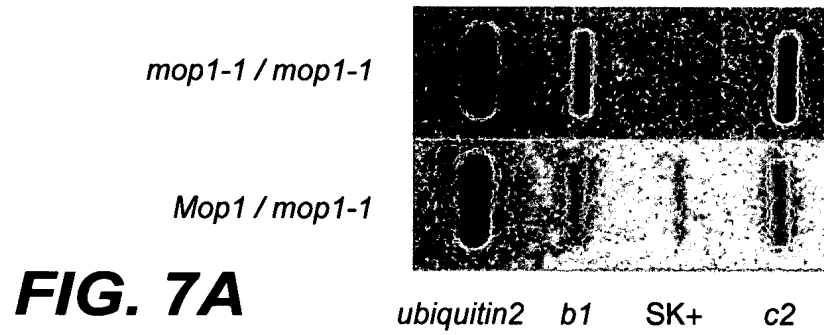


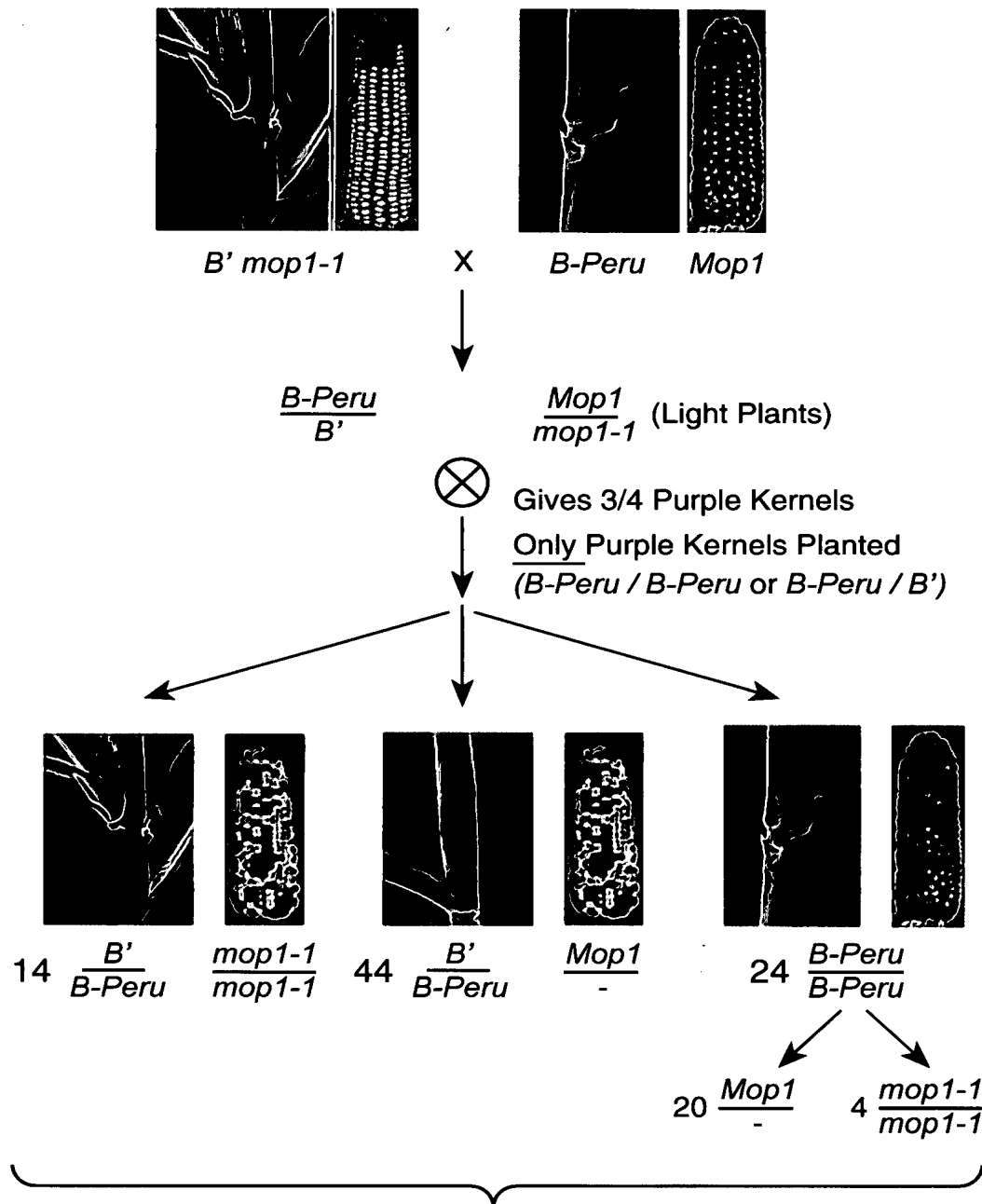
**FIG. 4A**



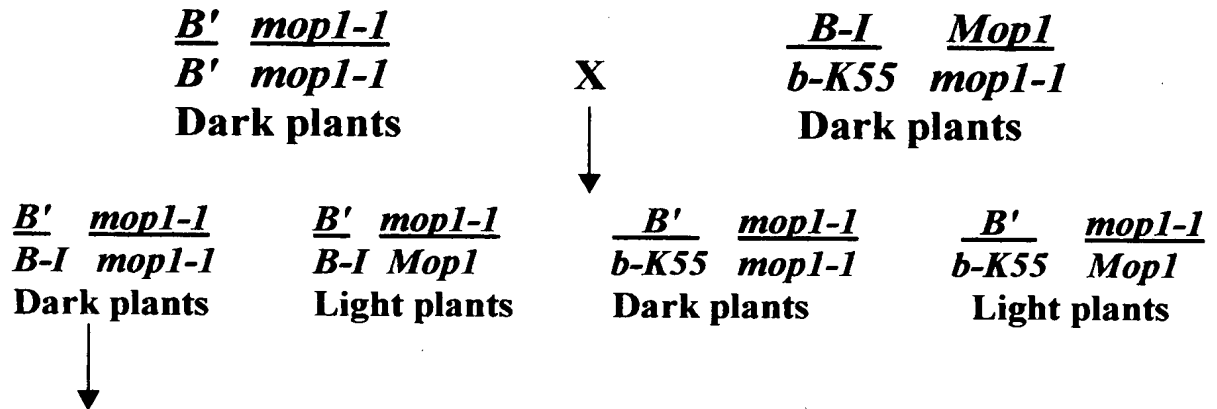
**FIG. 4B**







**FIG. 8**



Testcross (by *B-Peru/B-I Mop1/Mop1* tester--diagram shows only *B-Peru* gametes of tester)

Gametes produced if paramutation  
 is prevented ( $B-I \nrightarrow B'$ ):

50%  $B' mop1-1$  X  $B-Peru Mop1$  →  $\frac{B'}{B-Peru} \frac{mop1-1}{Mop1}$  Light plants

50%  $B-I mop1-1$  X  $B-Peru Mop1$  →  $\frac{B-I}{B-Peru} \frac{mop1-1}{Mop1}$  Dark plants

Gametes produced if paramutation  
 occurred ( $B-I \rightarrow B'$ ):

100%  $B' mop1-1$  X  $B-Peru Mop1$  →  $\frac{B'}{B-Peru} \frac{mop1-1}{Mop1}$  Light plants

**FIG. 9**

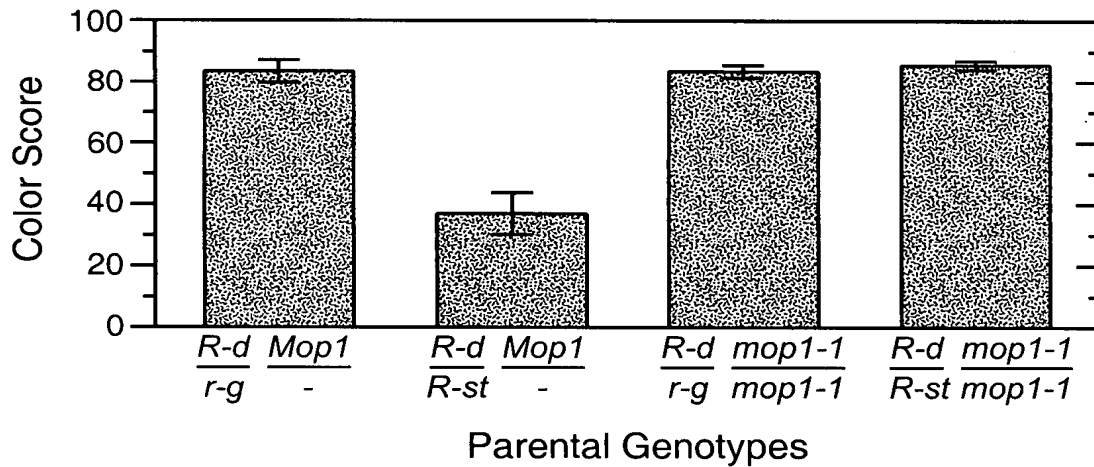
$\frac{R-st}{r-g} \frac{B-bar}{B'} \frac{pl-sr}{Pl'} \frac{Mop1}{mop1-1} \times \frac{R-d}{r-g} \frac{B-bar}{B'} \frac{pl-sr}{Pl'} \frac{Mop1}{mop1-1}$



Four genotypes of interest among  $R-d/- Pl'/-$  progeny:

$\frac{3}{16}$	$\frac{R-d}{r-g}$	$\frac{Mop1}{-}$	Light plant
$\frac{3}{16}$	$\frac{R-d}{R-st}$	$\frac{Mop1}{-}$	Light plant
$\frac{1}{16}$	$\frac{R-d}{r-g}$	$\frac{mop1-1}{mop1-1}$	Dark plant
$\frac{1}{16}$	$\frac{R-d}{R-st}$	$\frac{mop1-1}{mop1-1}$	Dark plant

**FIG. 10A**



**FIG. 10B**

**FIG. 11A**



**FIG. 11B**



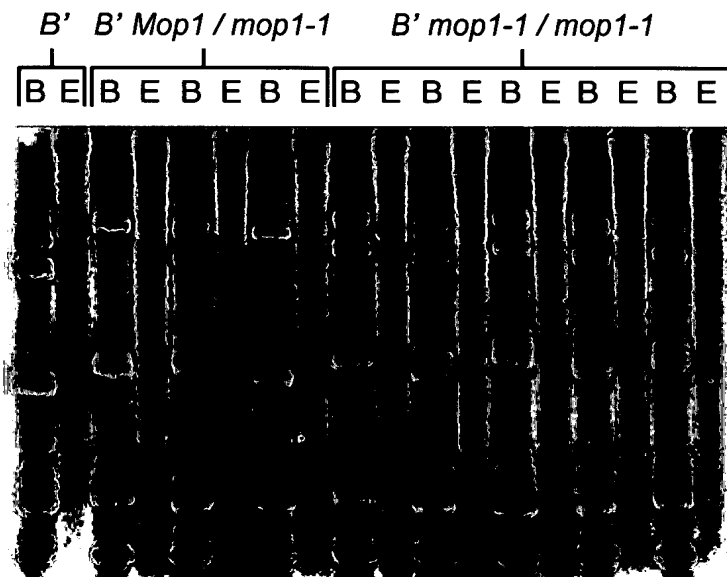
**FIG. 11C**



**FIG. 11D**



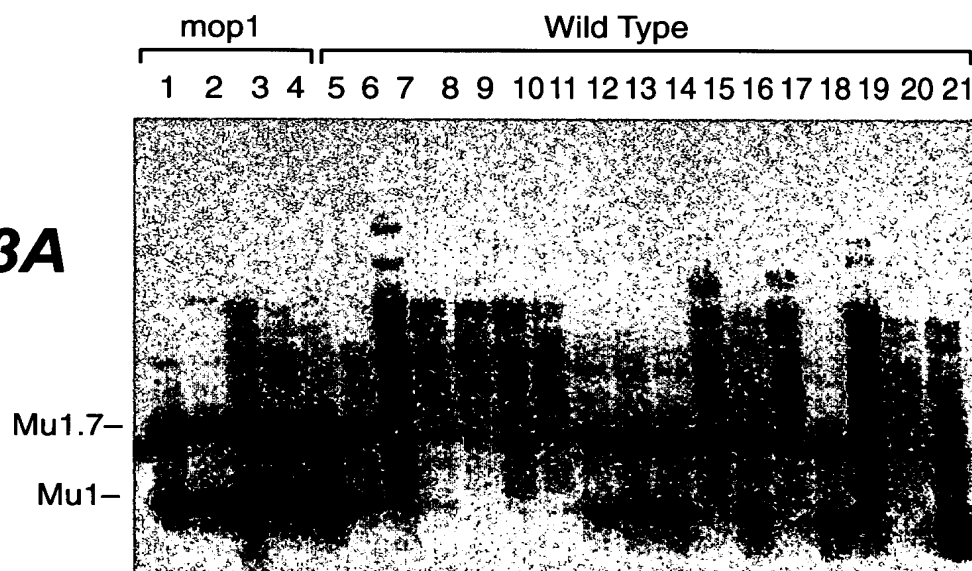
**FIG. 12A**



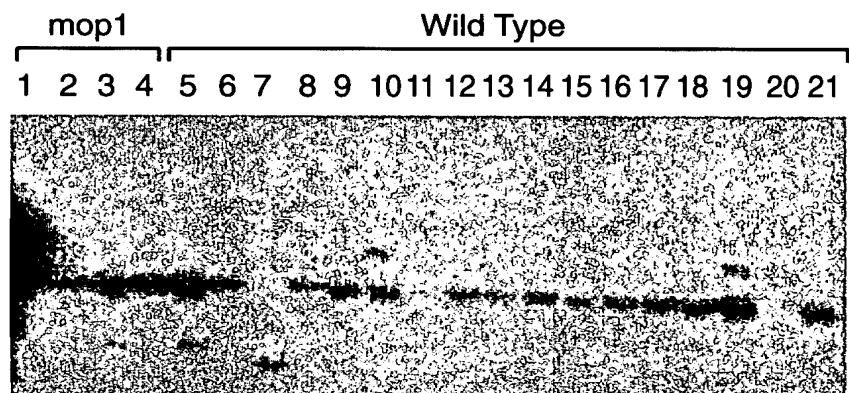
**FIG. 12B**



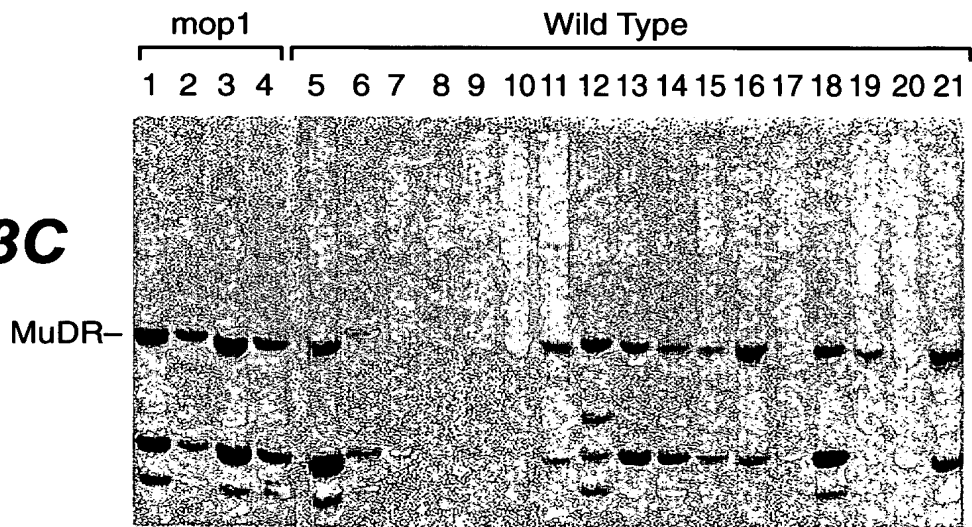
**FIG. 13A**

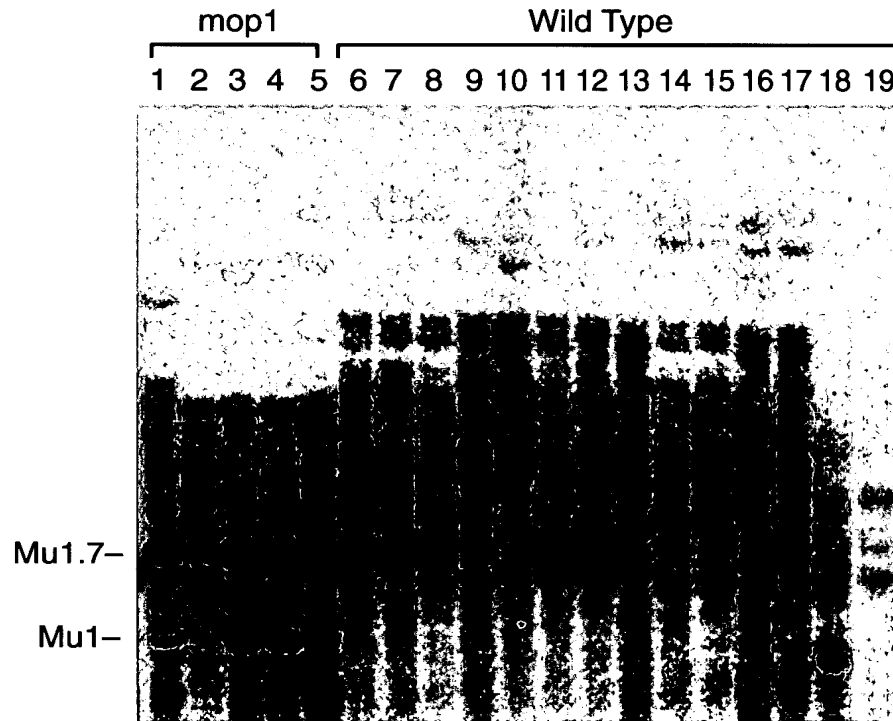


**FIG. 13B**

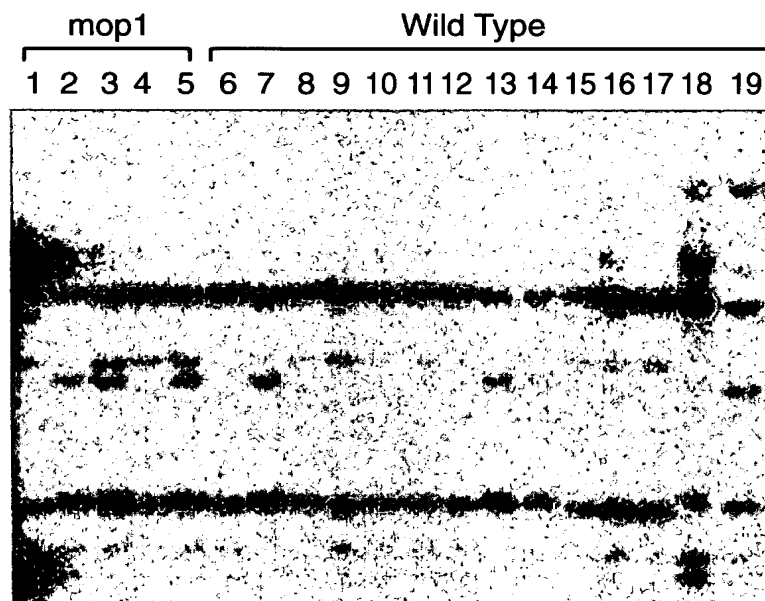


**FIG. 13C**

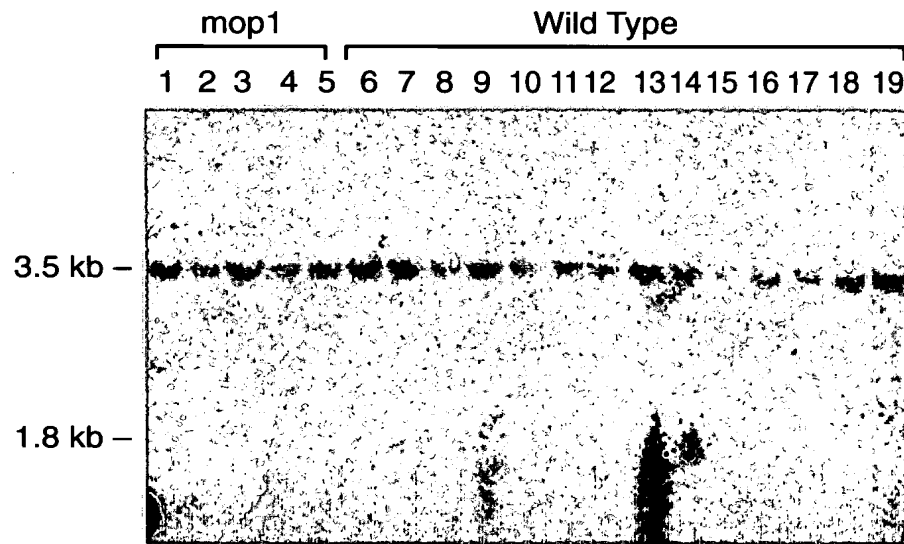




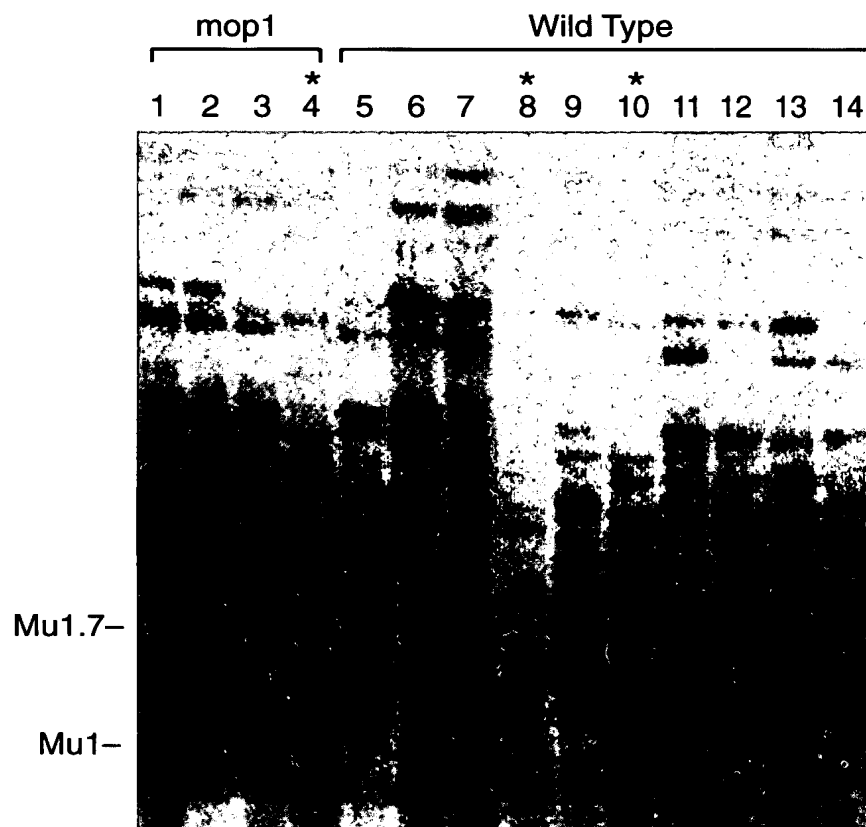
**FIG. 14A**



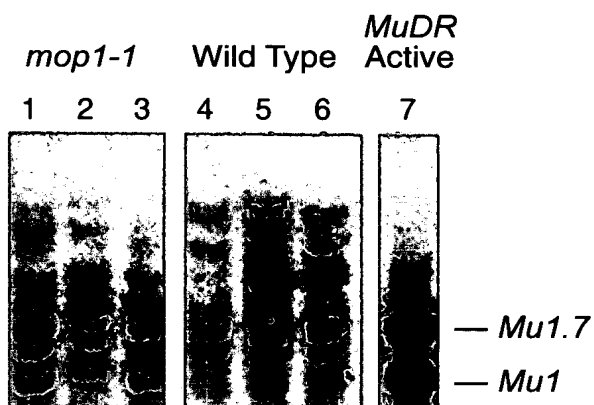
**FIG. 14B**



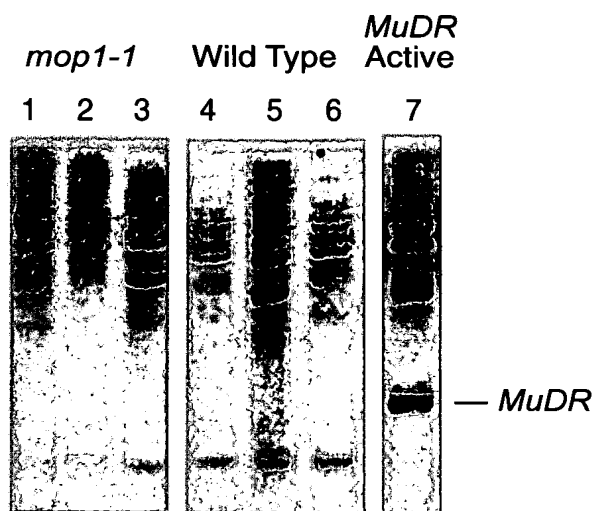
**FIG. 14C**



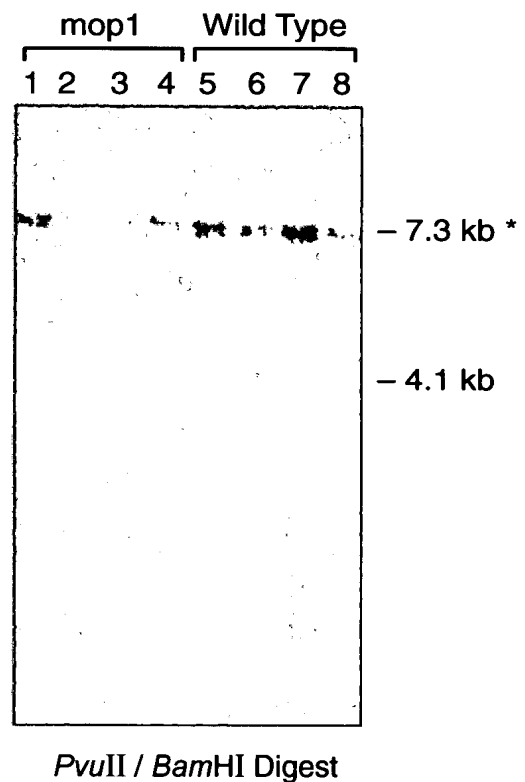
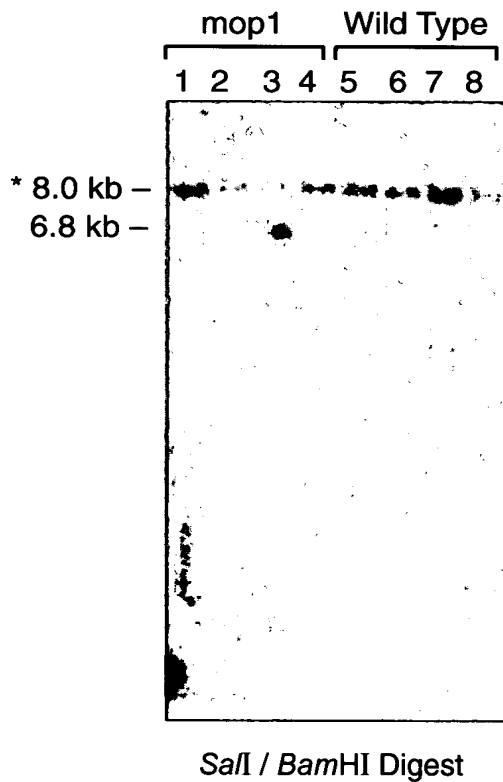
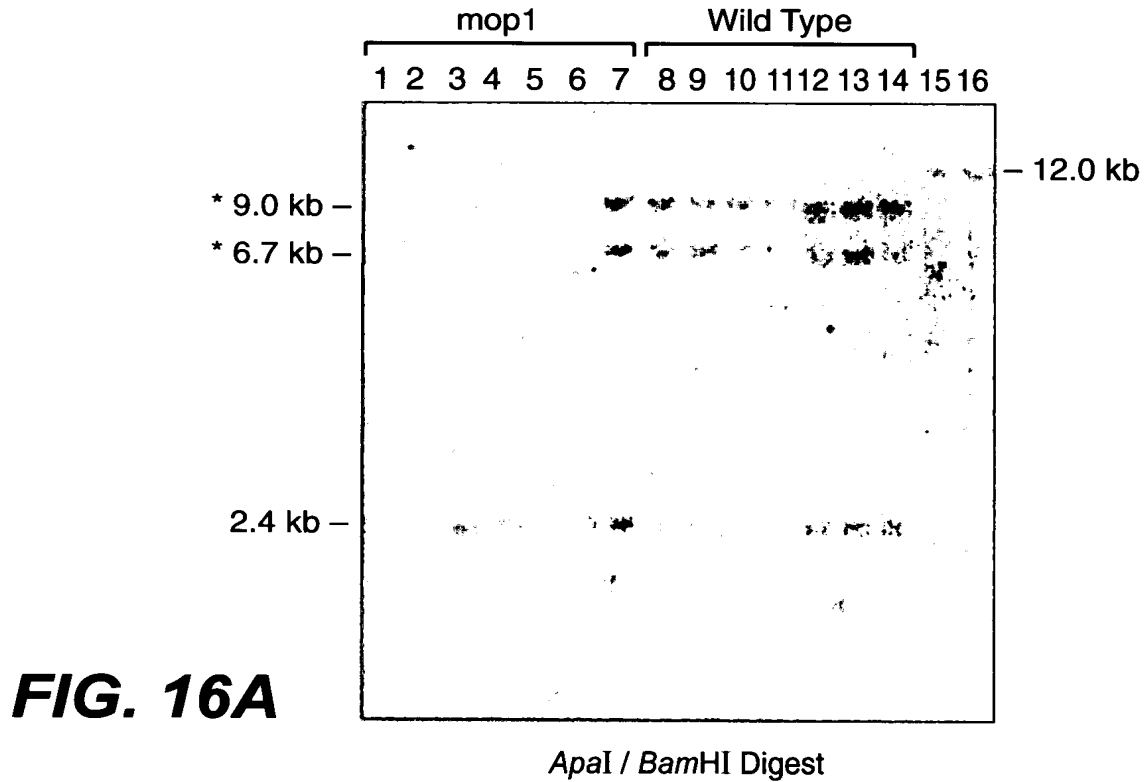
**FIG. 14D**

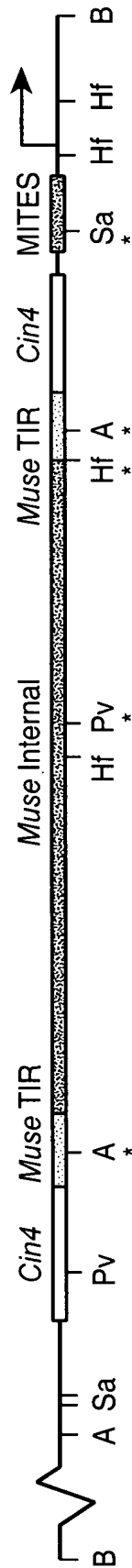


**FIG. 15A**

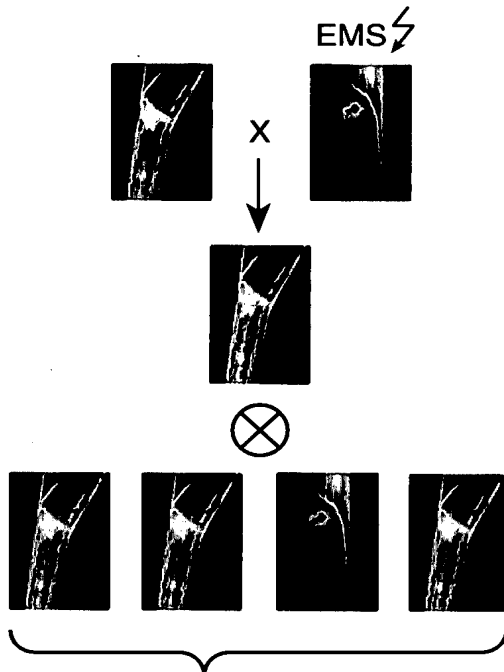


**FIG. 15B**





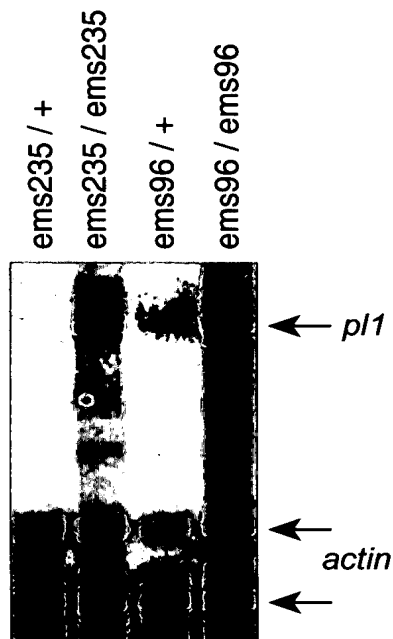
**FIG. 16D**



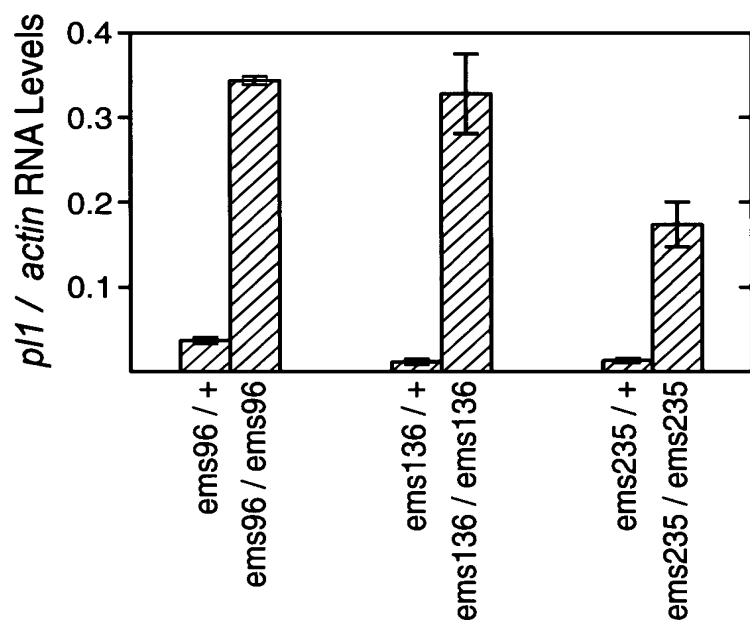
**FIG. 17**



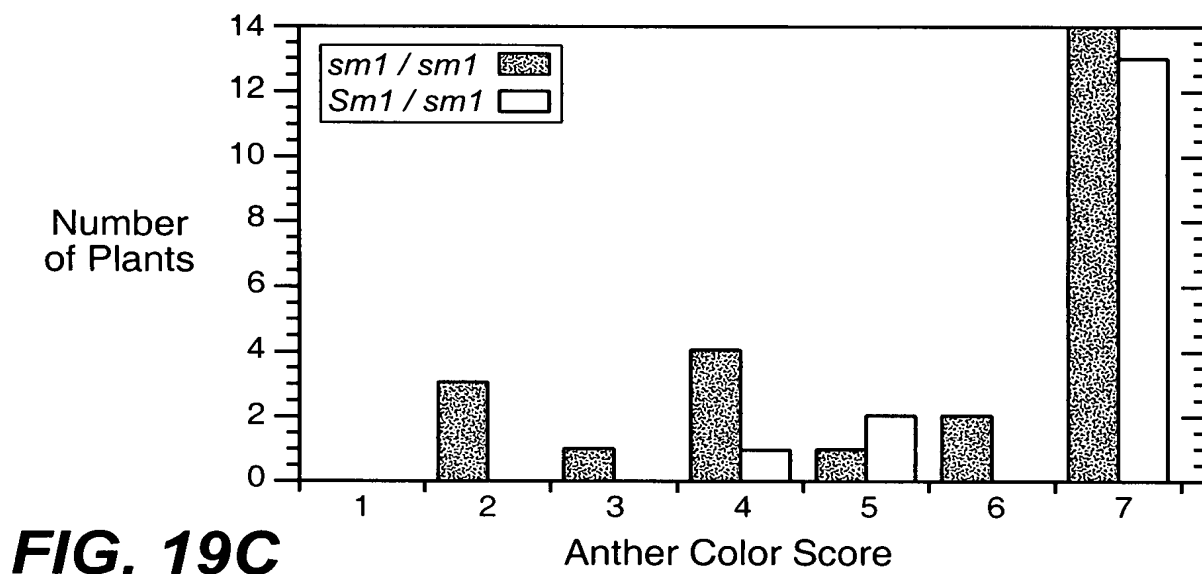
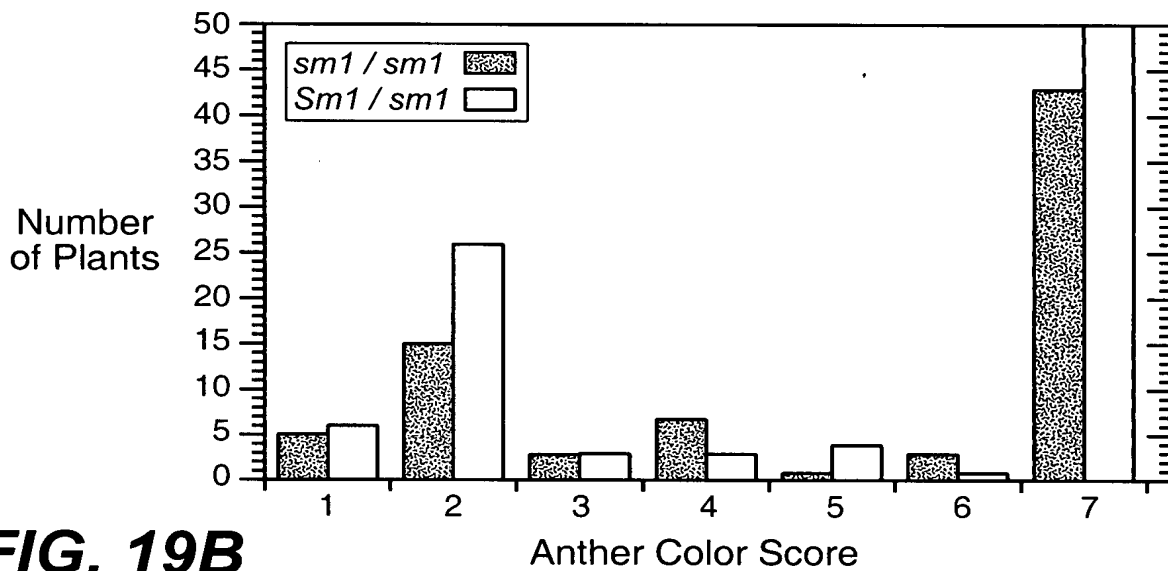
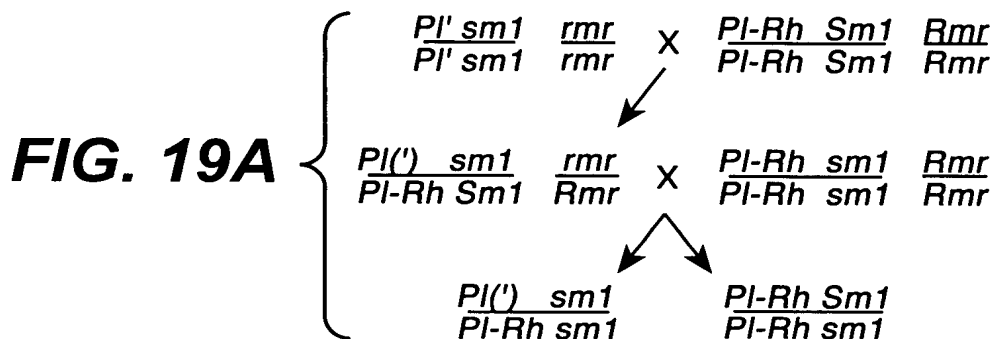
**FIG. 18A**

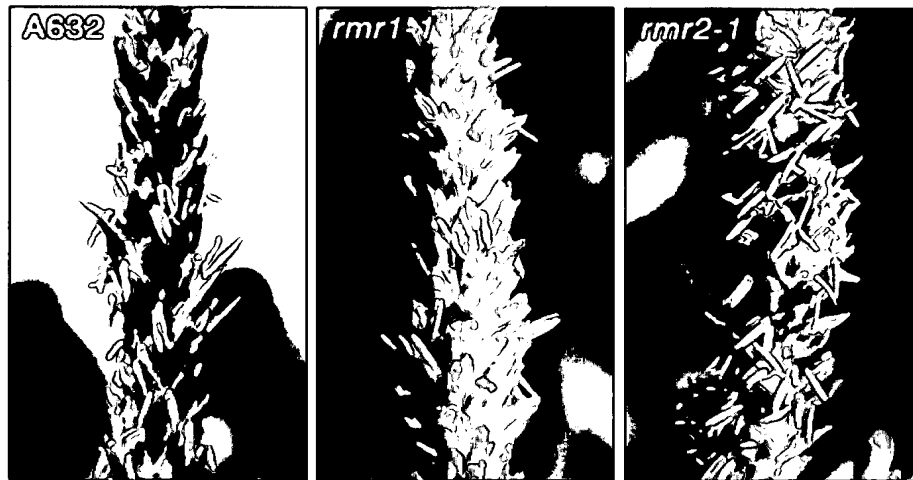


**FIG. 18B**

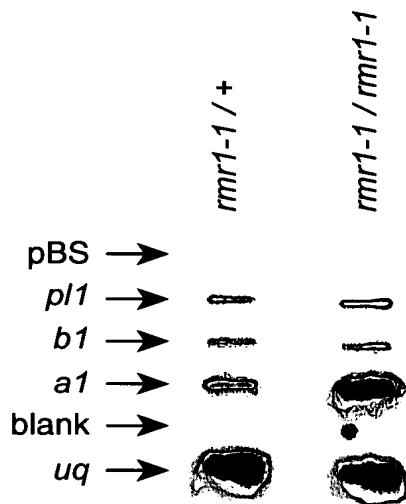


**FIG. 18C**

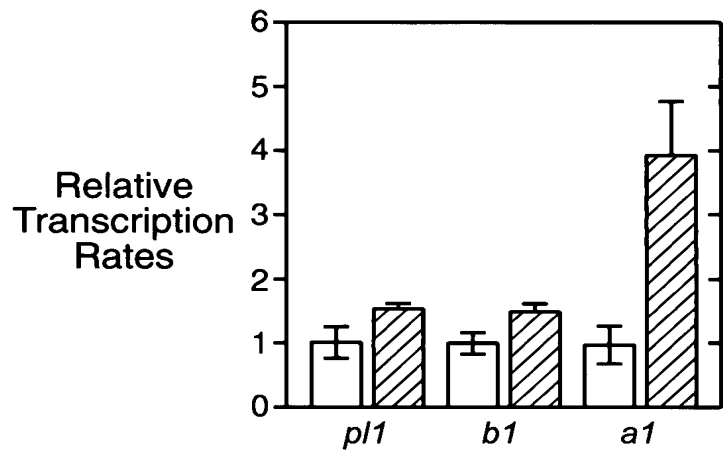




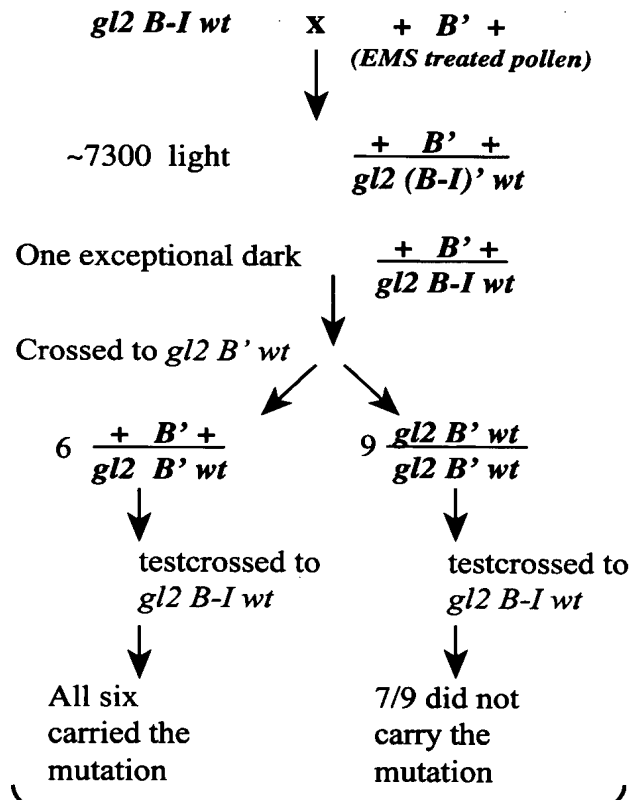
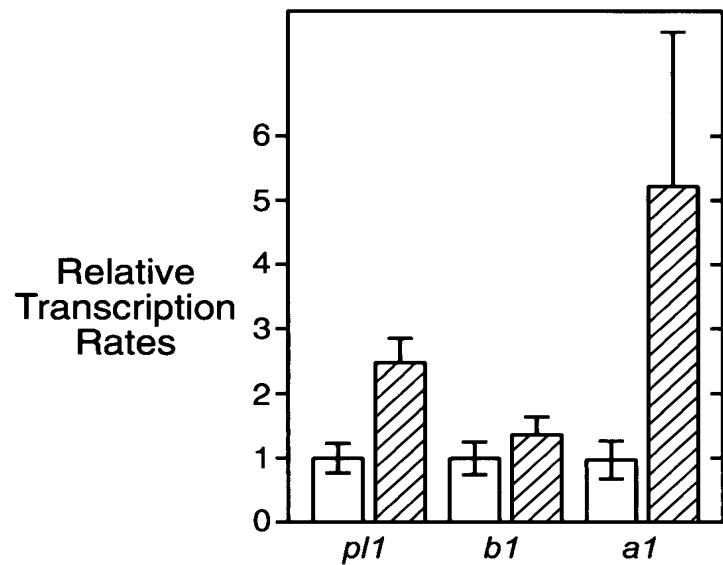
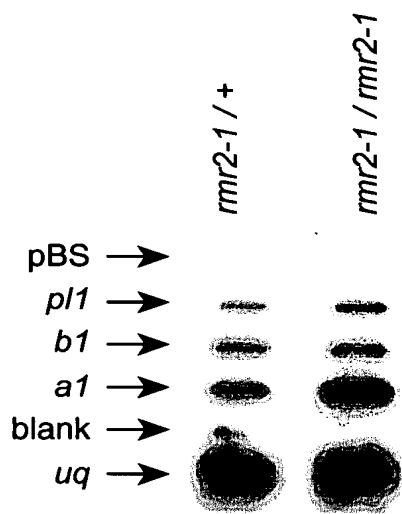
**FIG. 20**

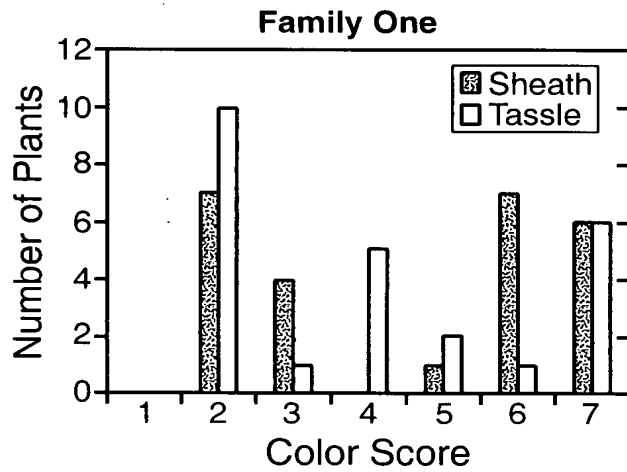


**FIG. 21A**

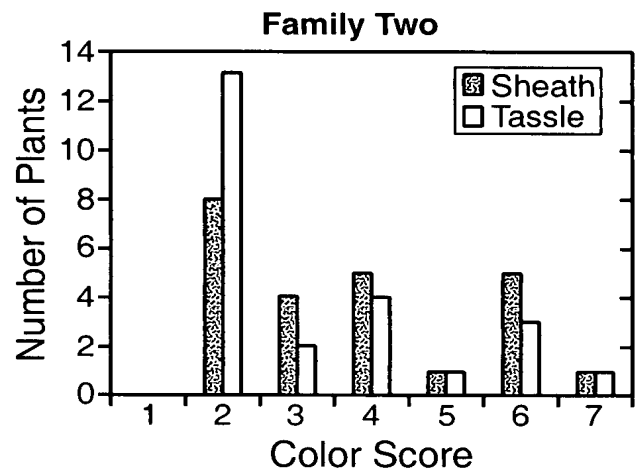


**FIG. 21B**

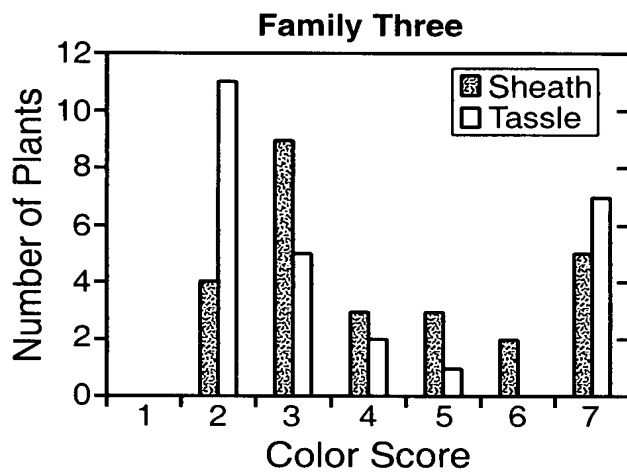




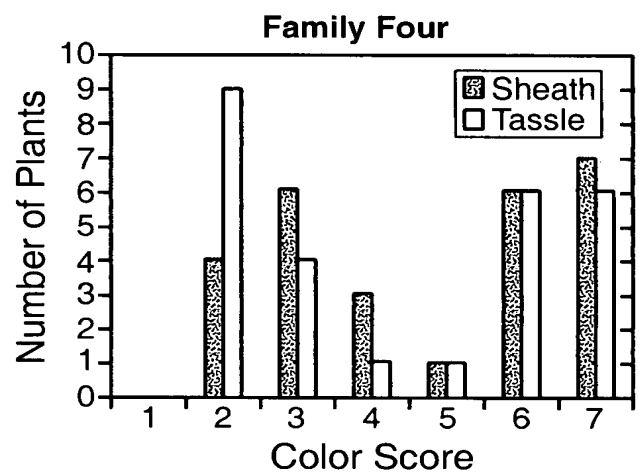
**FIG. 24A**



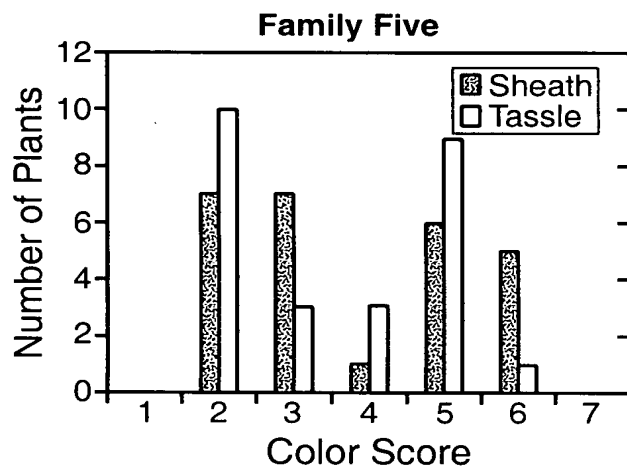
**FIG. 24B**



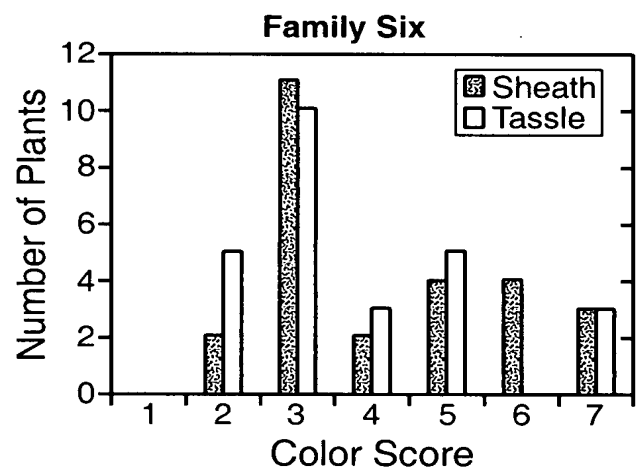
**FIG. 24C**



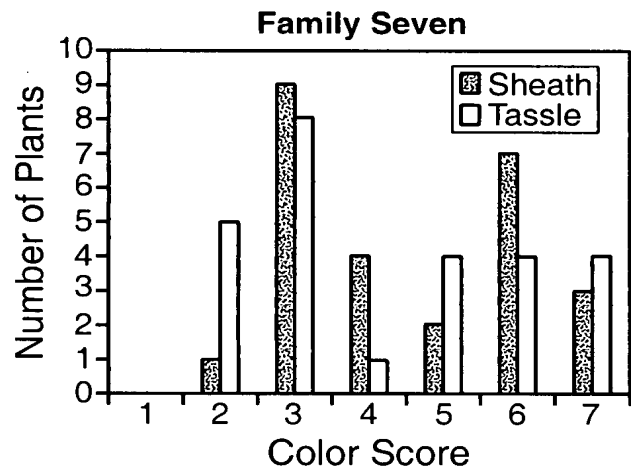
**FIG. 24D**



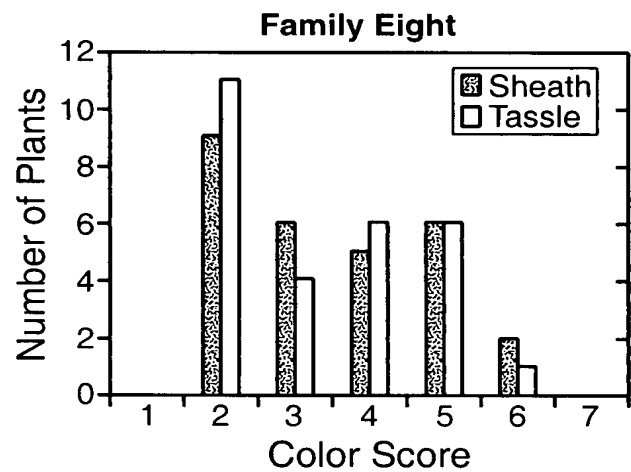
**FIG. 24E**



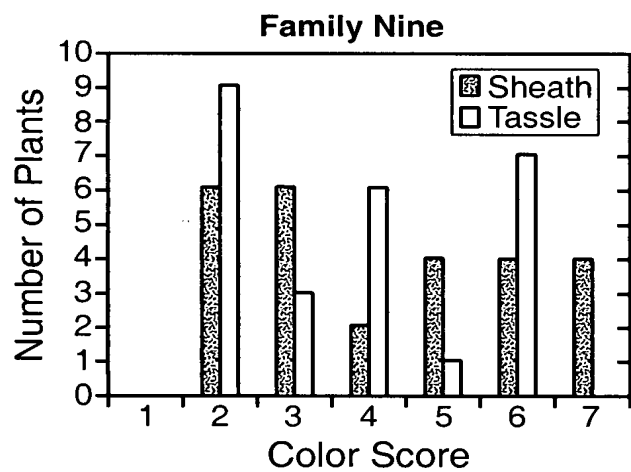
**FIG. 24F**



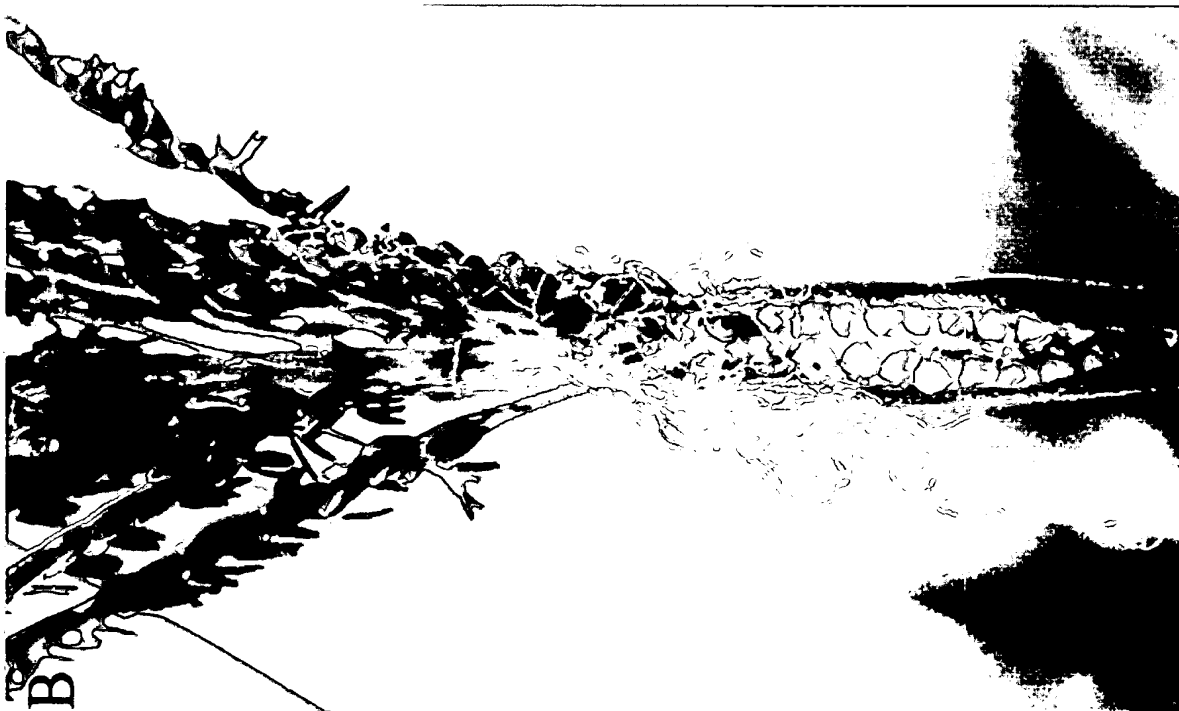
**FIG. 24G**



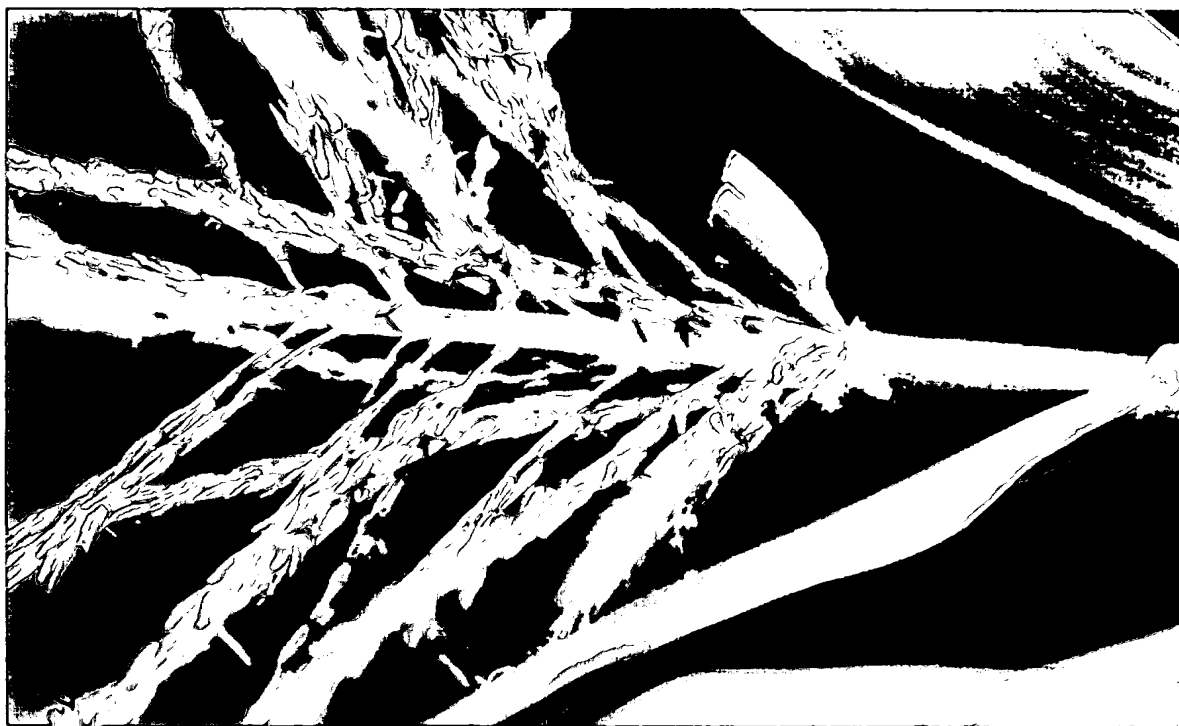
**FIG. 24H**



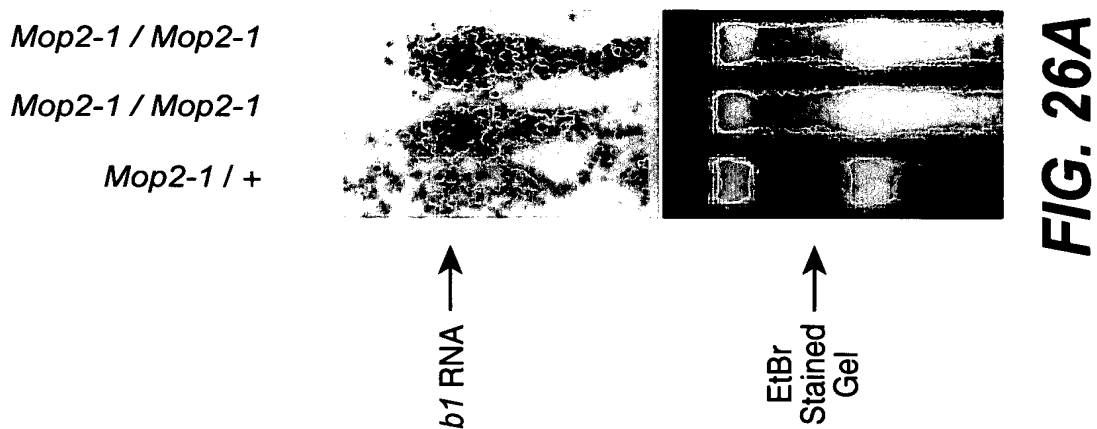
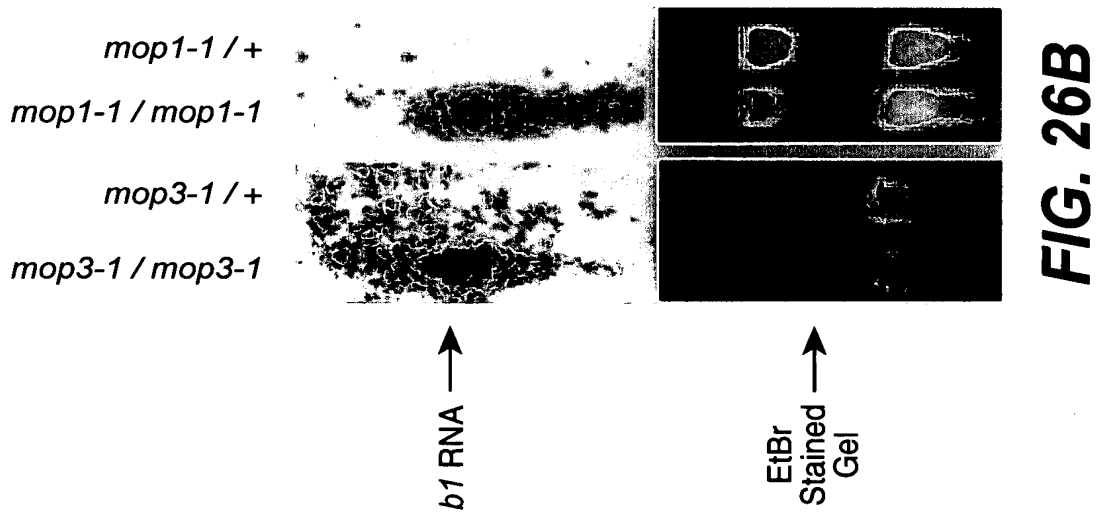
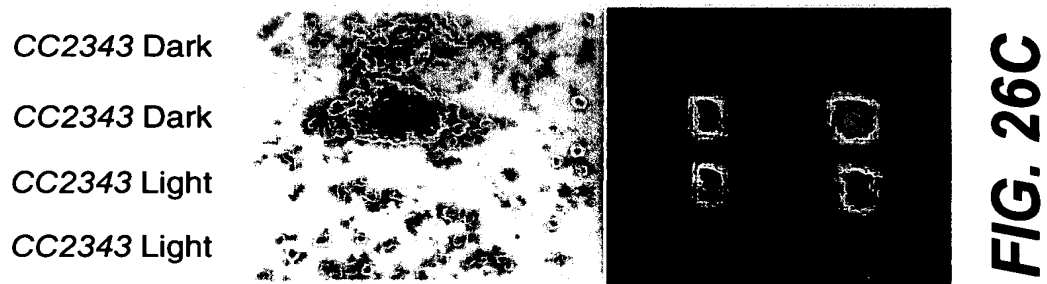
**FIG. 24I**



**FIG. 25B**



**FIG. 25A**



**FIG. 27A**



**FIG. 27B**



**FIG. 27C**



**FIG. 27D**

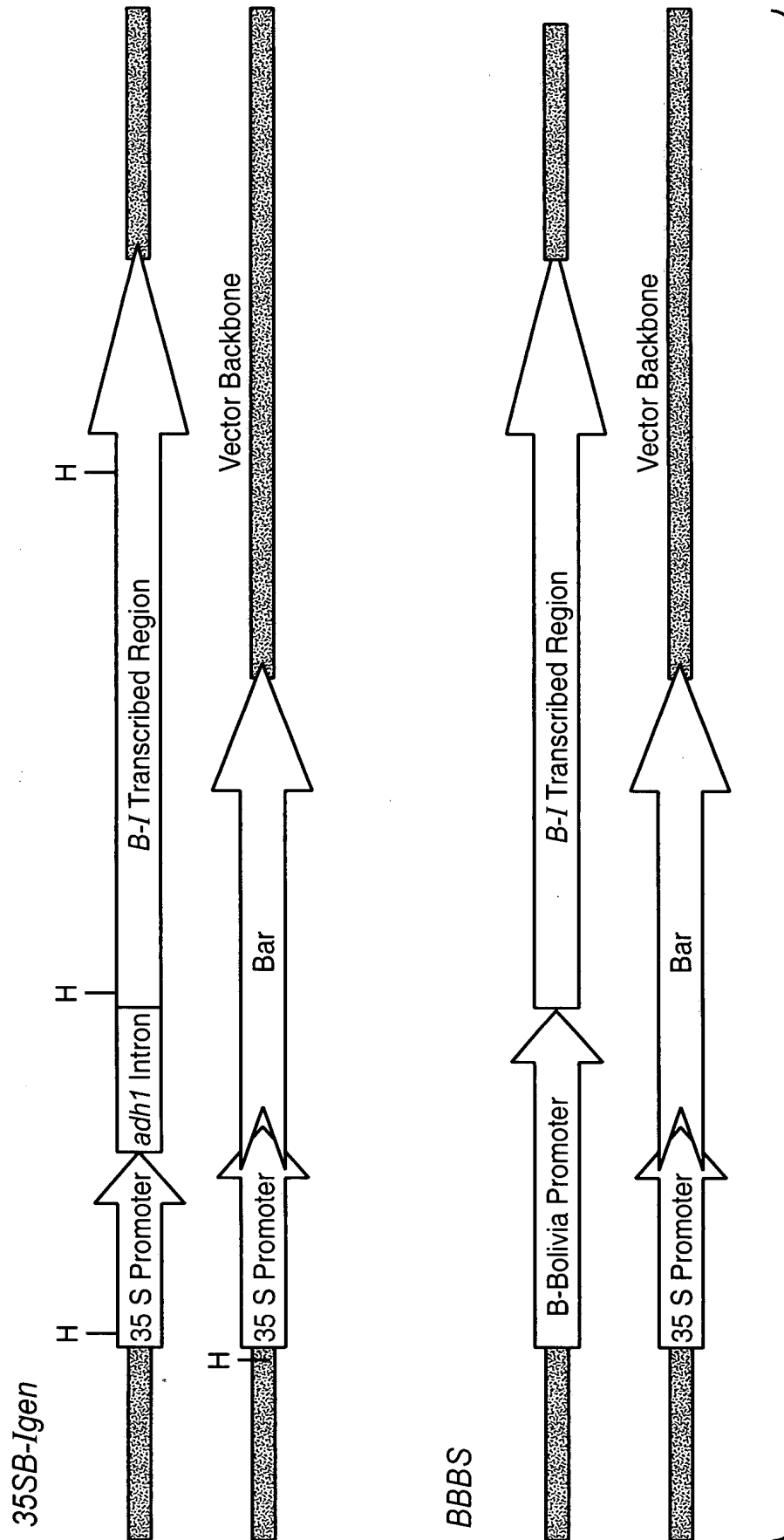


**FIG. 27E**



**FIG. 27F**





**FIG. 28**

**FIG. 29A**



*B' Mop2-1 / mop2*    *B' Mop2-1 / Mop2-1*  
 35SB-I

**FIG. 29B**



*rmr2-1 / rmr2-1*    *Rmr2 / rmr2-1*  
 35SB-I

**FIG. 29C**



*B' mop1-1 / mop1-1*    *B' Mop1 / mop1-1*  
 35SB-I

**FIG. 29D**

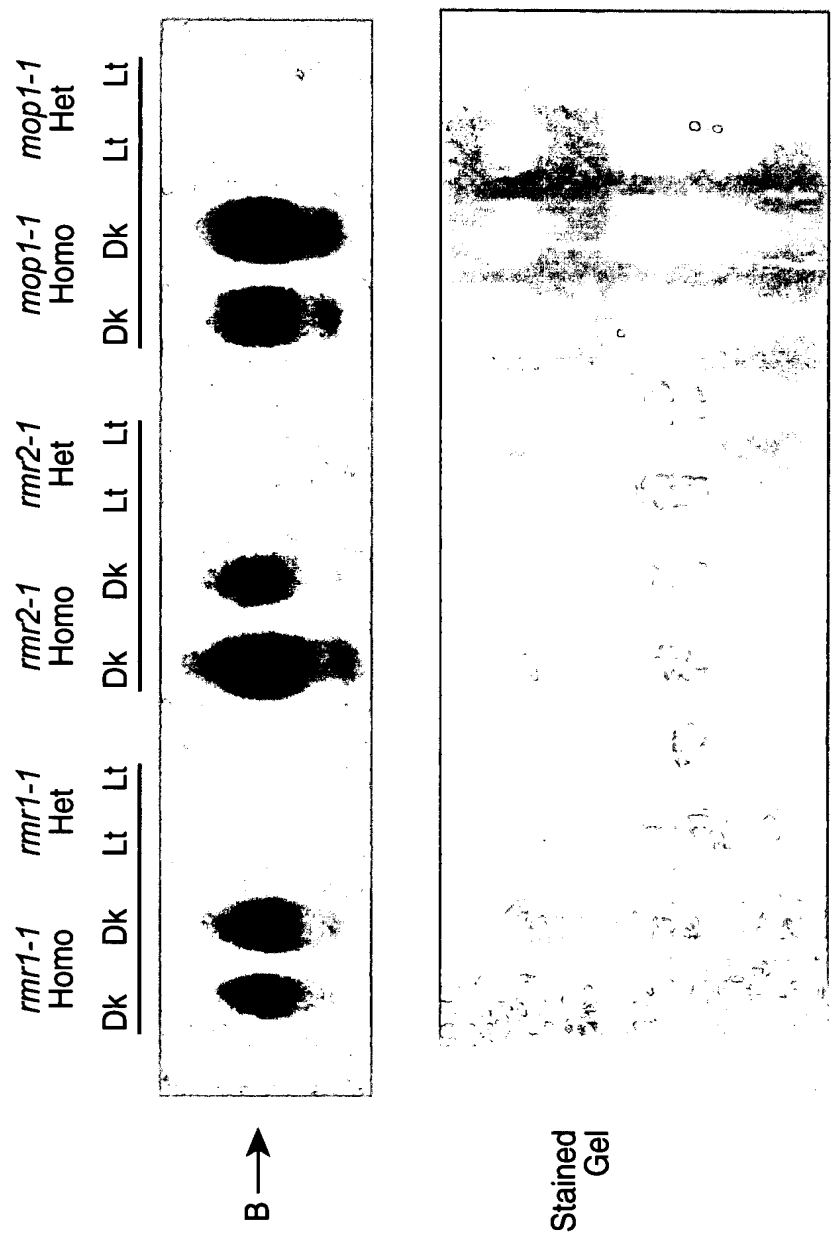


*rmr1-1 / rmr1-1*    *Rmr1 / rmr1-1*  
 35SB-I

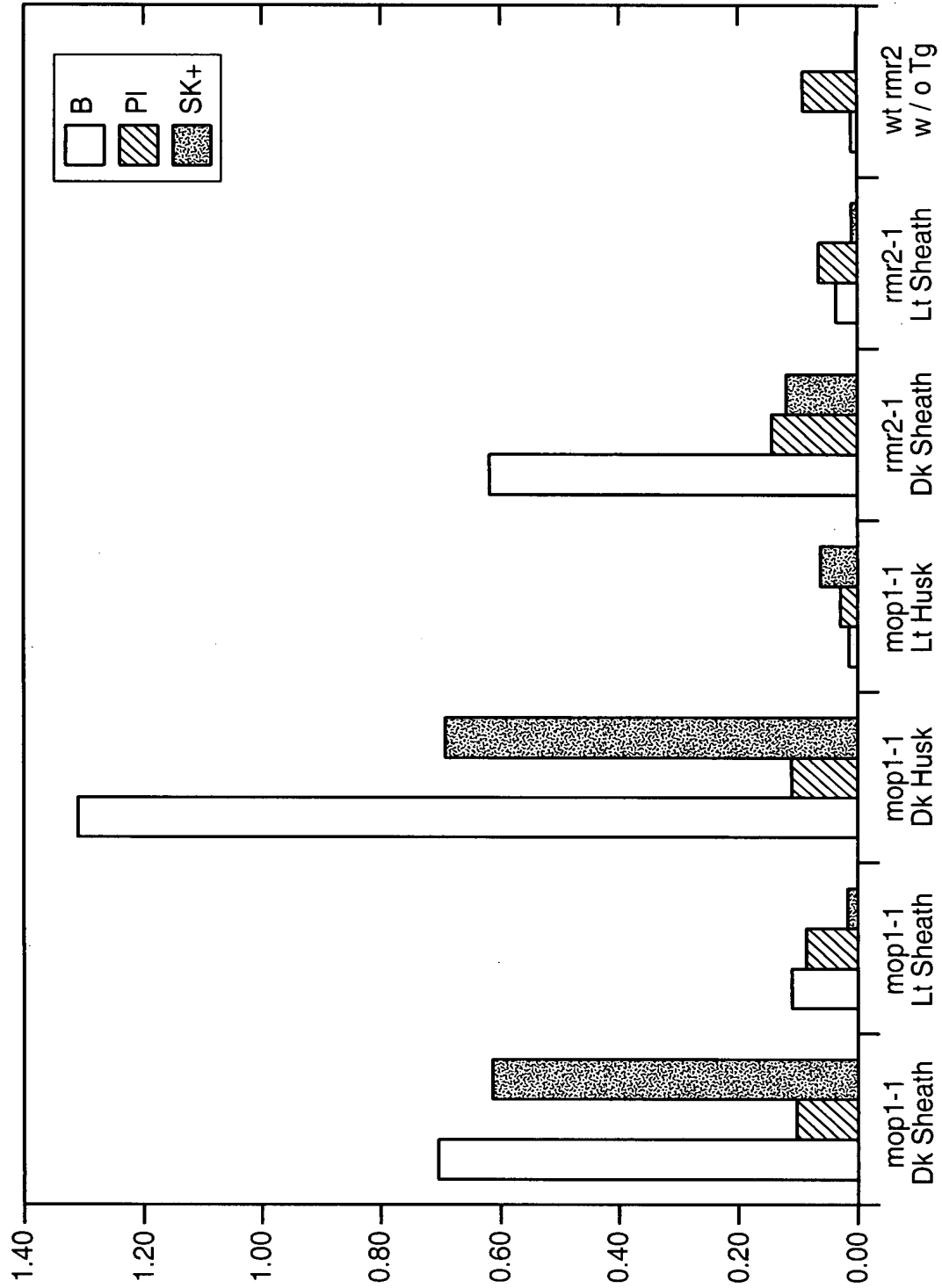


*Rmr2 / rmr2-1*    *rmr2-1 / rmr2-1*  
 BBBS

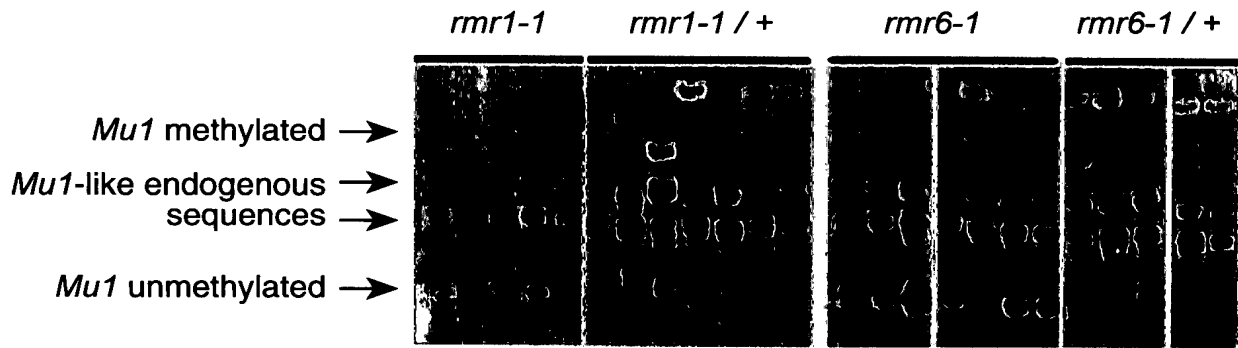
**FIG. 29E**



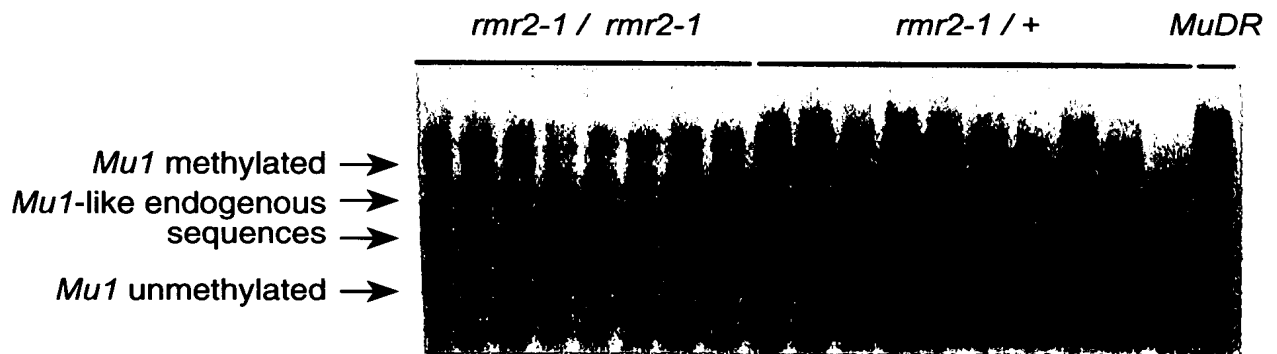
**FIG. 30**



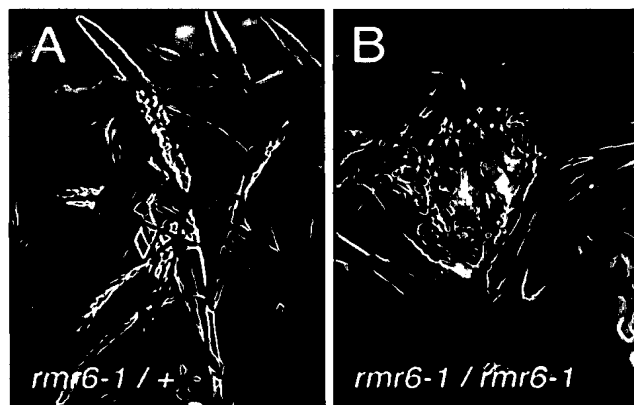
**FIG. 31**



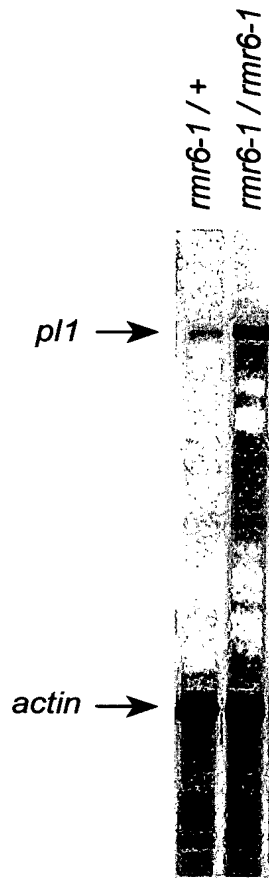
**FIG. 32A**



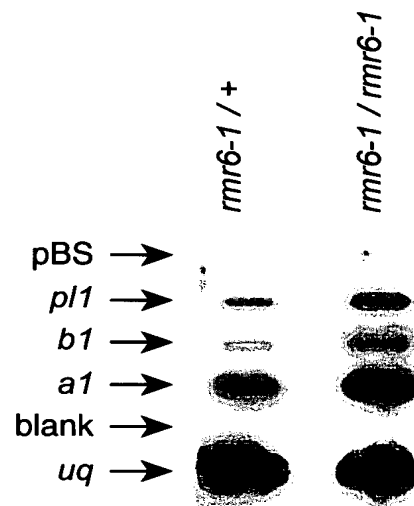
**FIG. 32B**



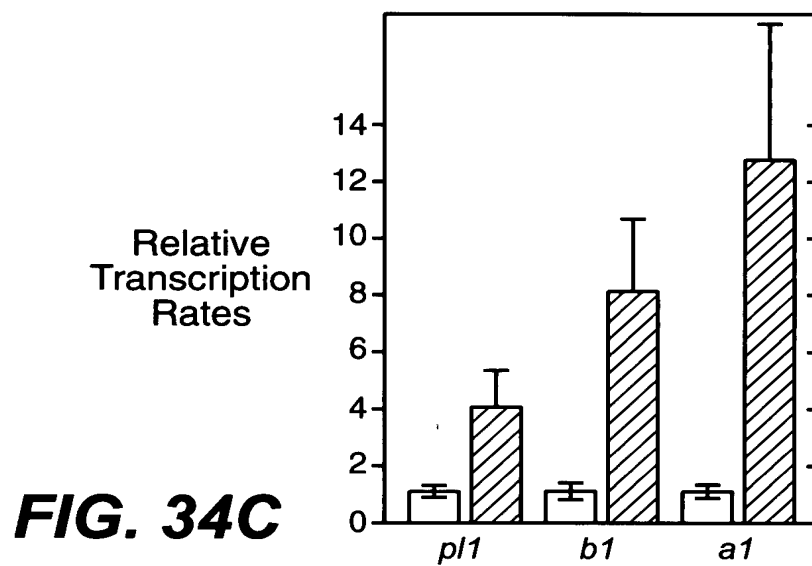
**FIG. 33A    FIG. 33B**



**FIG. 34A**



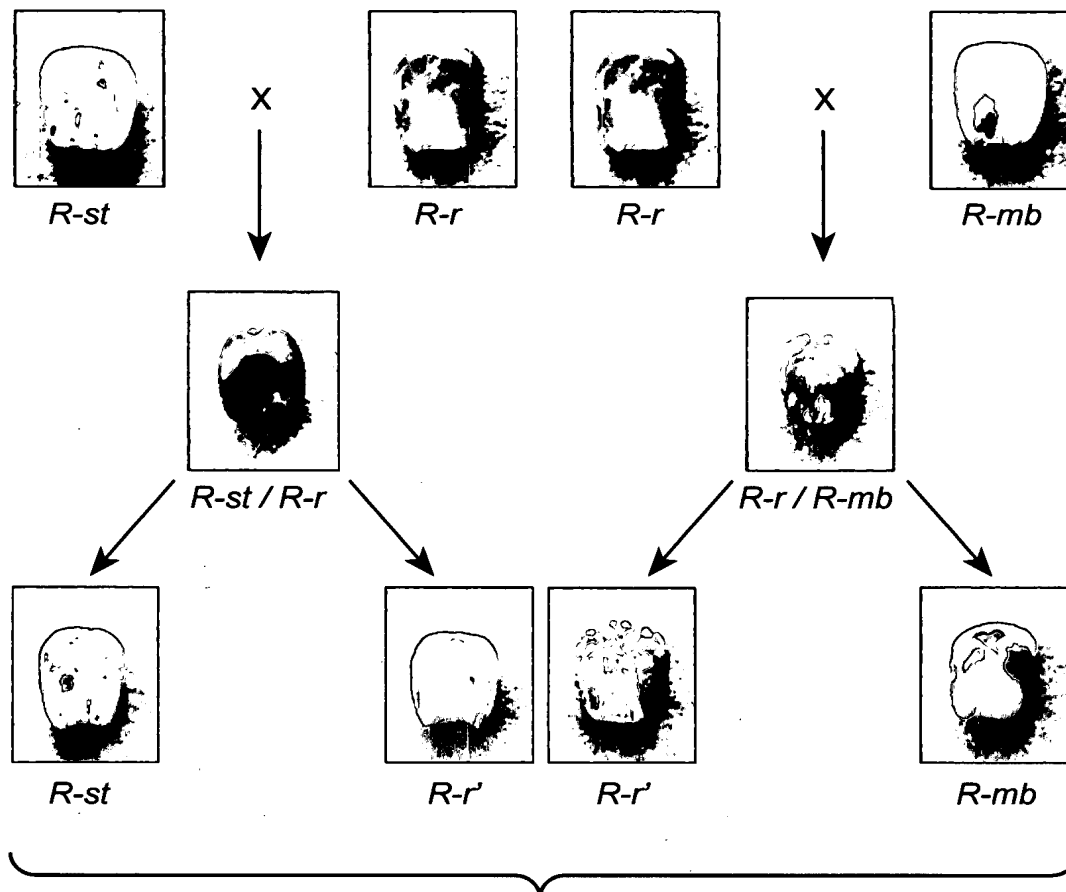
**FIG. 34B**

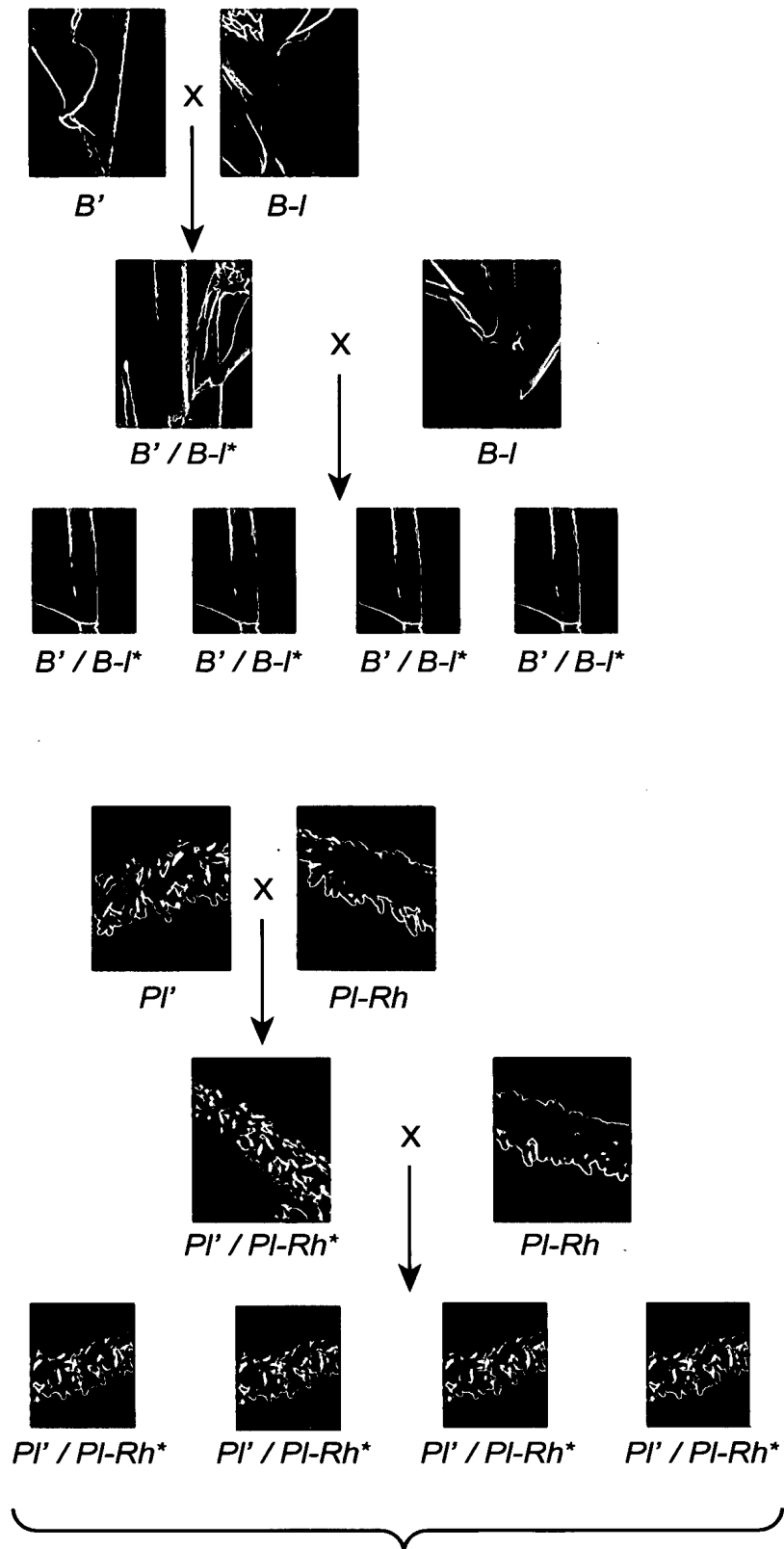


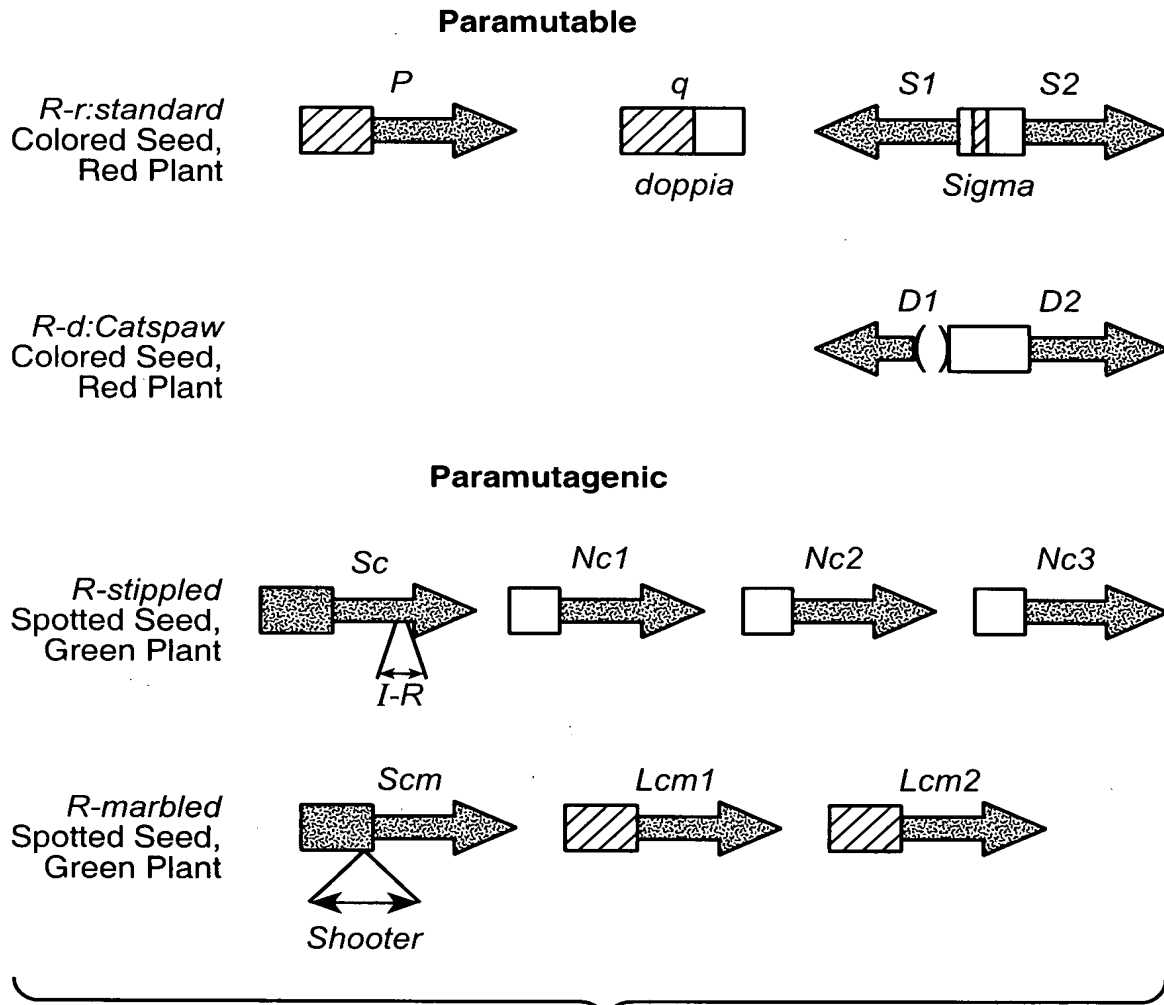
**FIG. 34C**



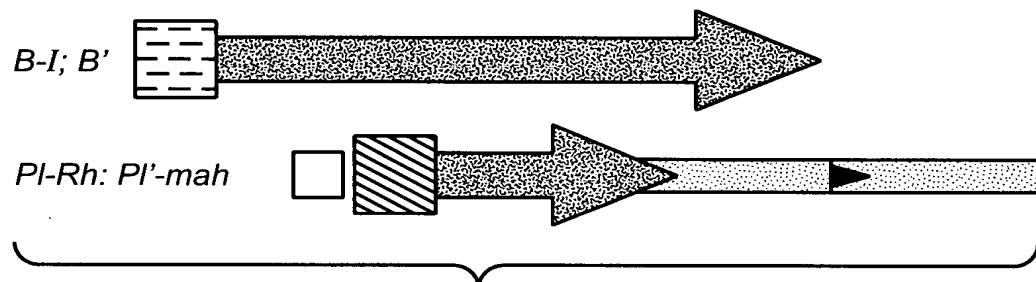
041607







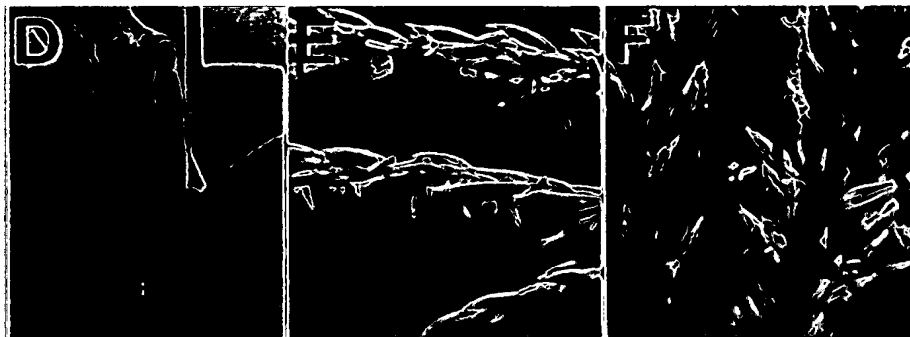
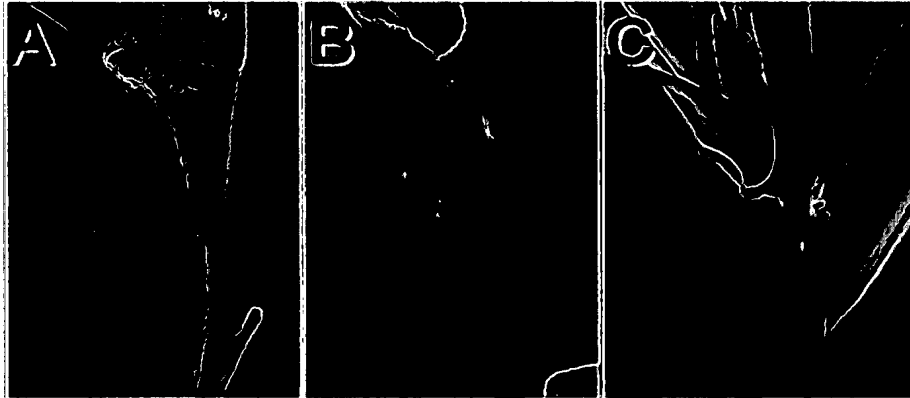
**FIG. 2A**



**FIG. 2B**

**FIG. 3A**    **FIG. 3B**    **FIG. 3C**

*B'* Mop1 / mop1-1    *B'* mop1-1 / mop1-1    *B-I* Mop1 / Mop1

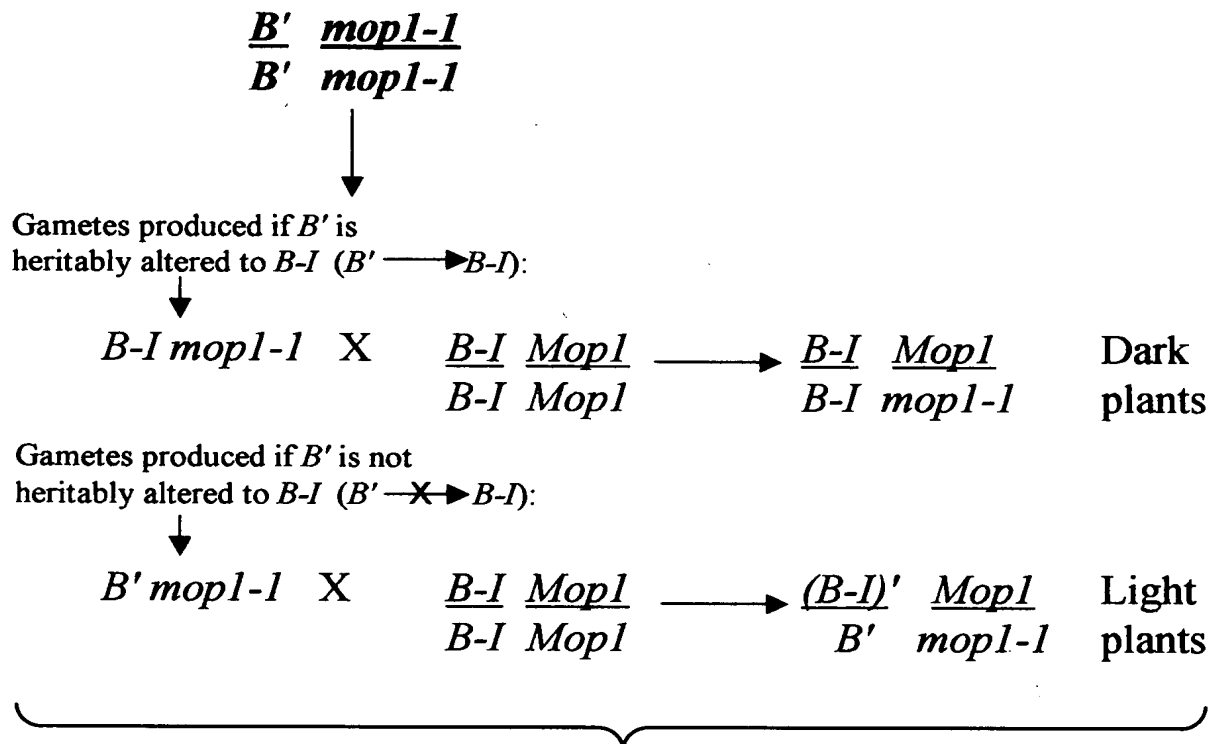


*B'* Sectors in a  
*B'* mop1-1 Plant

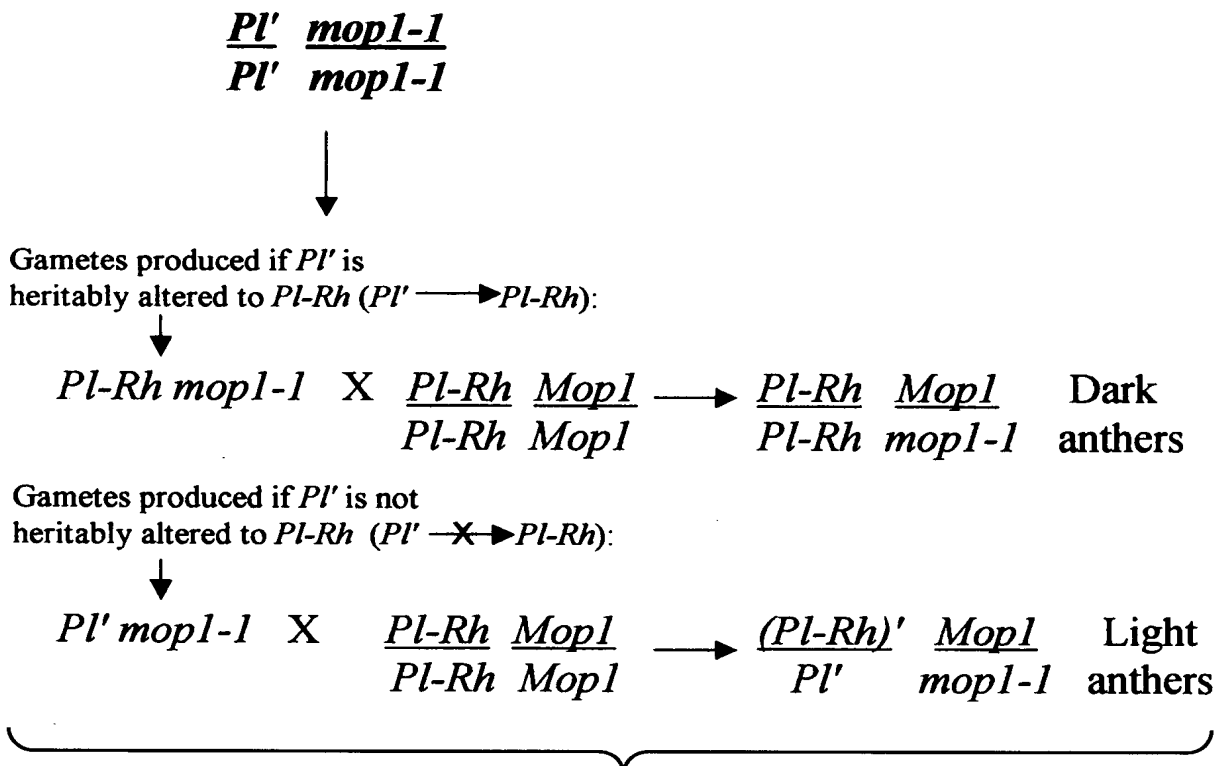
*Pl'* Mop1 / -

*Pl'* mop1-1 / mop1-1

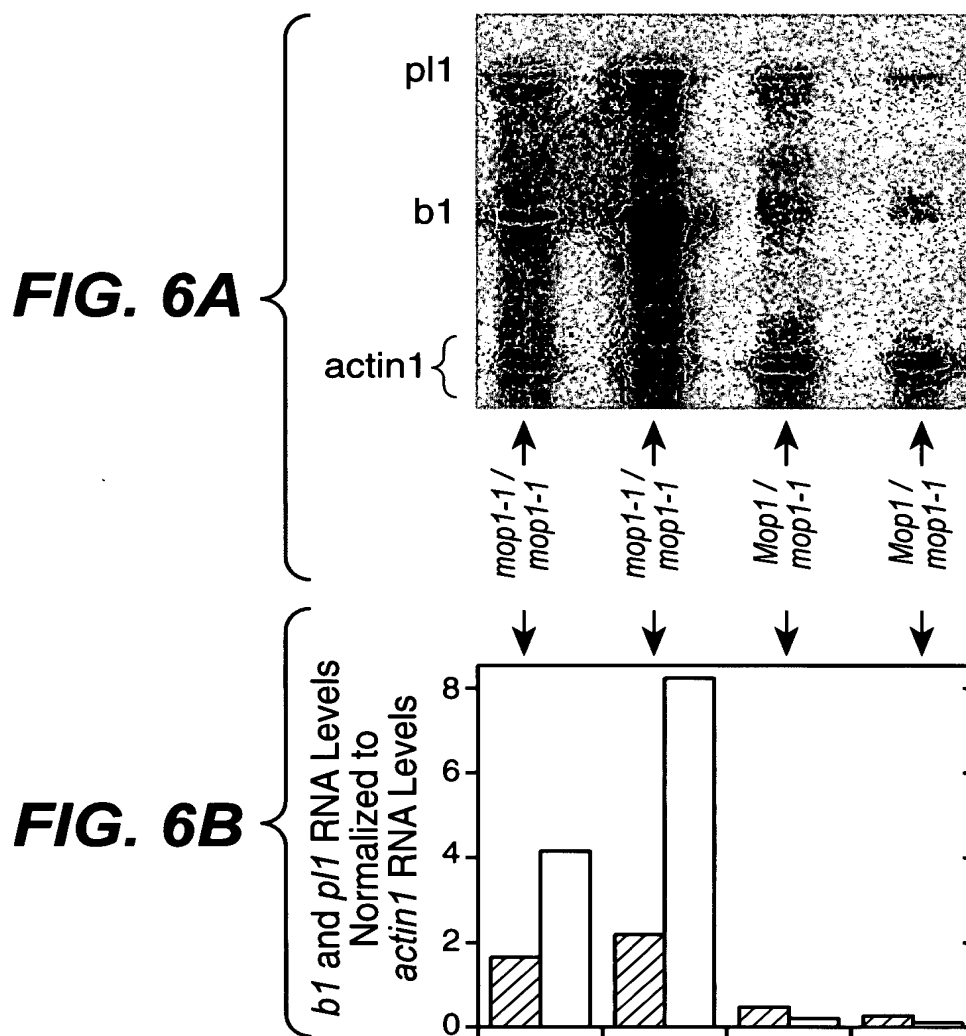
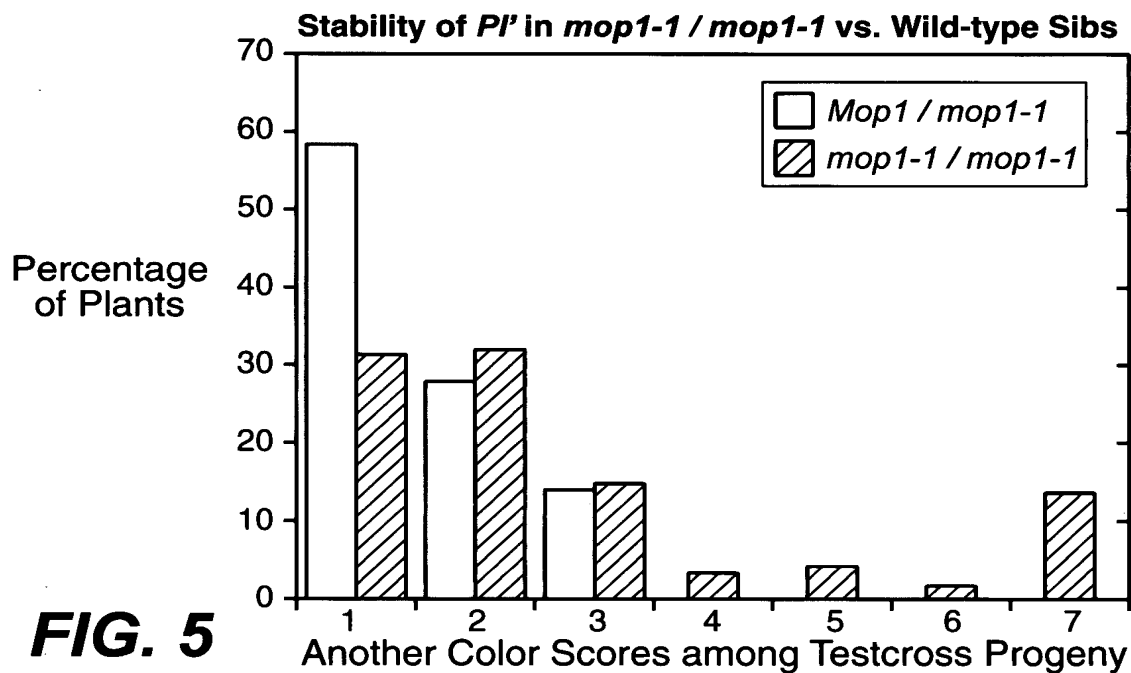
**FIG. 3D**    **FIG. 3E**    **FIG. 3F**

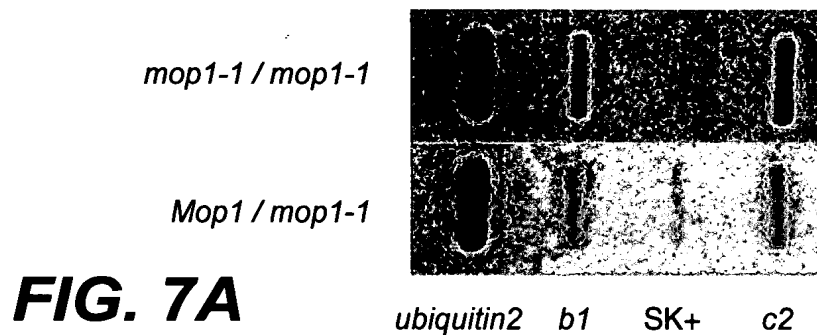


**FIG. 4A**

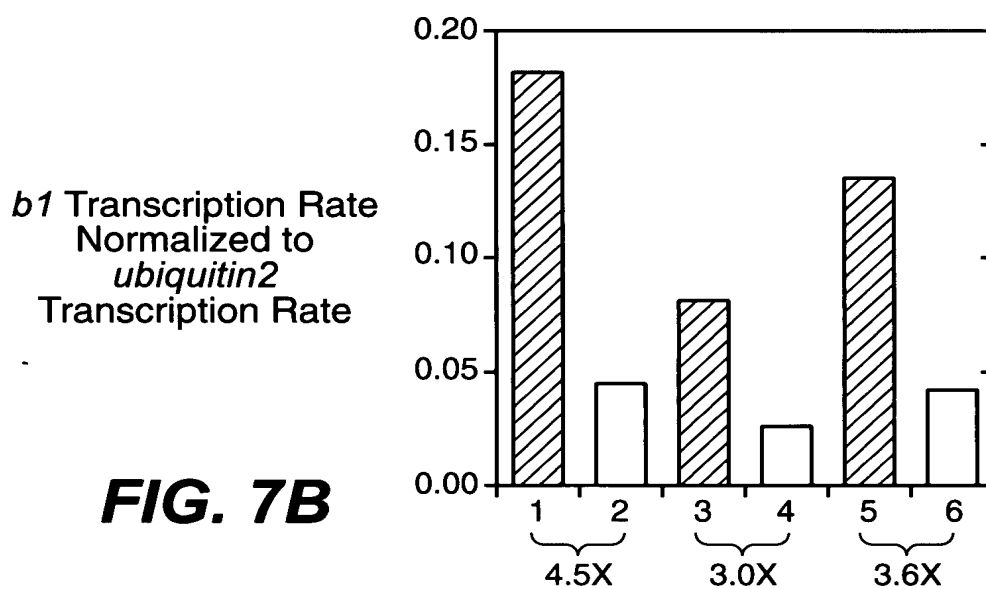


**FIG. 4B**

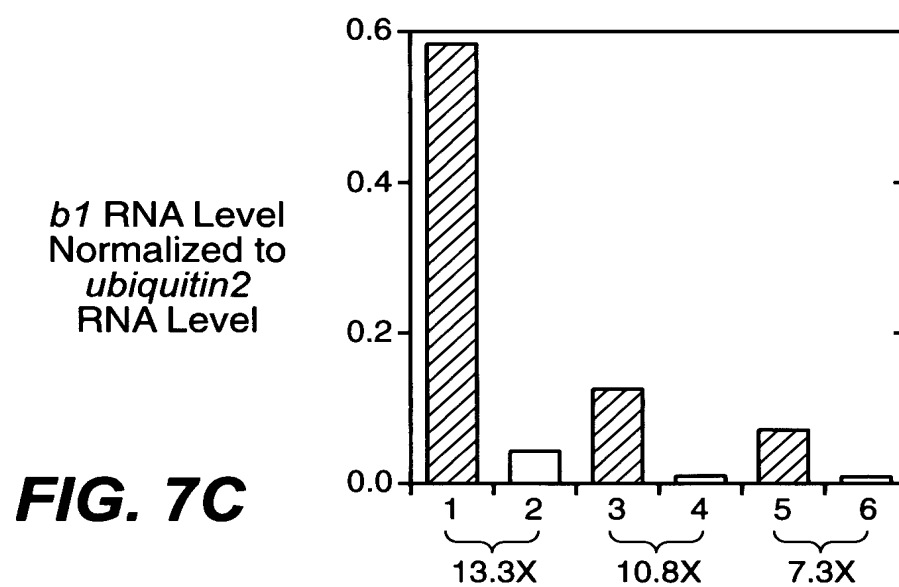




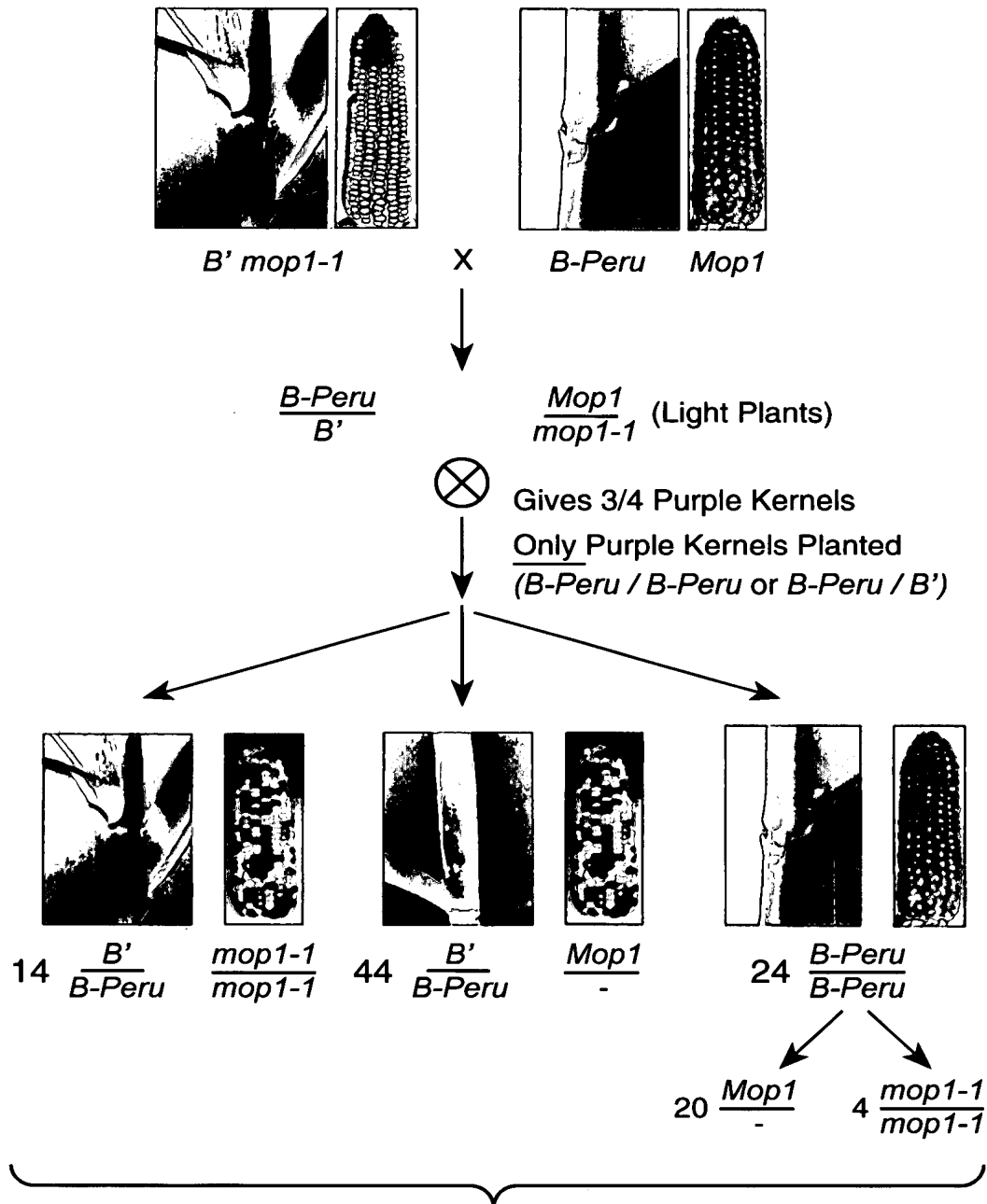
**FIG. 7A**



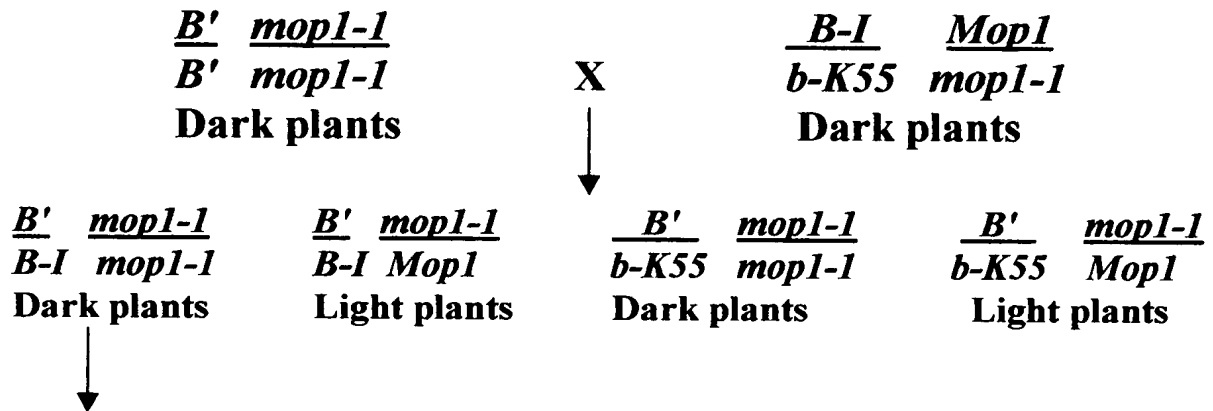
**FIG. 7B**



**FIG. 7C**



**FIG. 8**



Testcross (by *B-Peru/B-I Mop1/Mop1* tester--diagram shows only *B-Peru* gametes of tester)

Gametes produced if paramutation  
 is prevented ( $B-I \nrightarrow B'$ ):

50%  $B' mop1-1$  X  $B-Peru Mop1$  →  $\frac{B'}{B-Peru} \frac{mop1-1}{Mop1}$  Light plants

50%  $B-I mop1-1$  X  $B-Peru Mop1$  →  $\frac{B-I}{B-Peru} \frac{mop1-1}{Mop1}$  Dark plants

Gametes produced if paramutation  
 occurred ( $B-I \rightarrow B'$ ):

100%  $B' mop1-1$  X  $B-Peru Mop1$  →  $\frac{B'}{B-Peru} \frac{mop1-1}{Mop1}$  Light plants

**FIG. 9**

$\frac{R-st}{r-g} \frac{B-bar}{B'} \frac{pl-sr}{Pl'} \frac{Mop1}{mop1-1} \times \frac{R-d}{r-g} \frac{B-bar}{B'} \frac{pl-sr}{Pl'} \frac{Mop1}{mop1-1}$

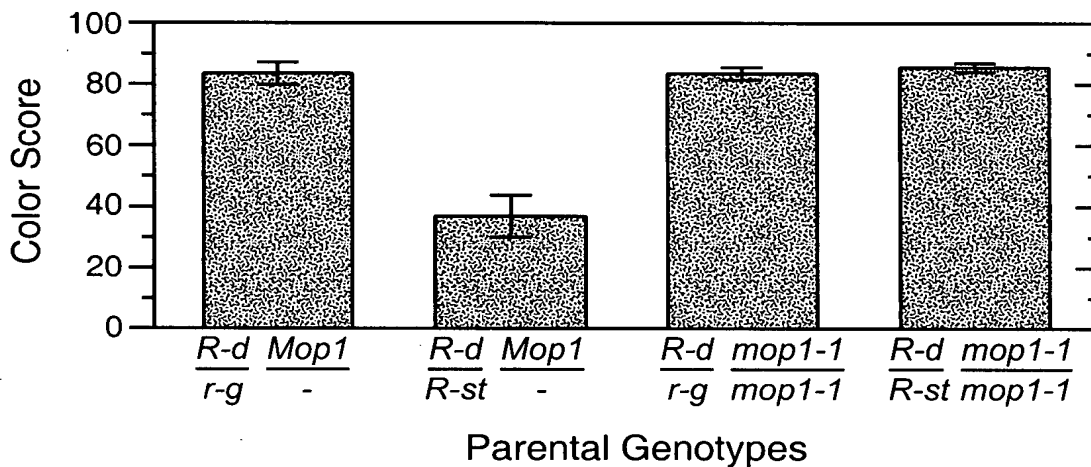
X



Four genotypes of interest among  $R-d/- Pl'/-$  progeny:

$\frac{3}{16}$	$\frac{R-d}{r-g}$	$\frac{Mop1}{-}$	Light plant
$\frac{3}{16}$	$\frac{R-d}{R-st}$	$\frac{Mop1}{-}$	Light plant
$\frac{1}{16}$	$\frac{R-d}{r-g}$	$\frac{mop1-1}{mop1-1}$	Dark plant
$\frac{1}{16}$	$\frac{R-d}{R-st}$	$\frac{mop1-1}{mop1-1}$	Dark plant

**FIG. 10A**



**FIG. 10B**

**FIG. 11A**



**FIG. 11B**



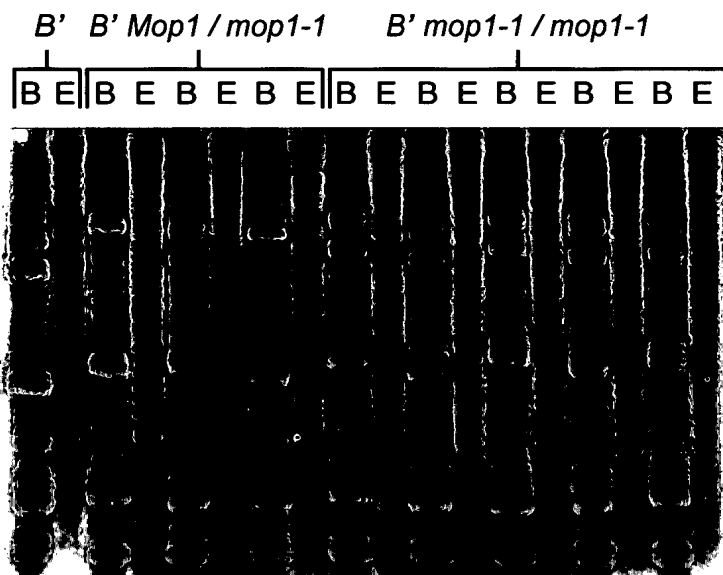
**FIG. 11C**



**FIG. 11D**



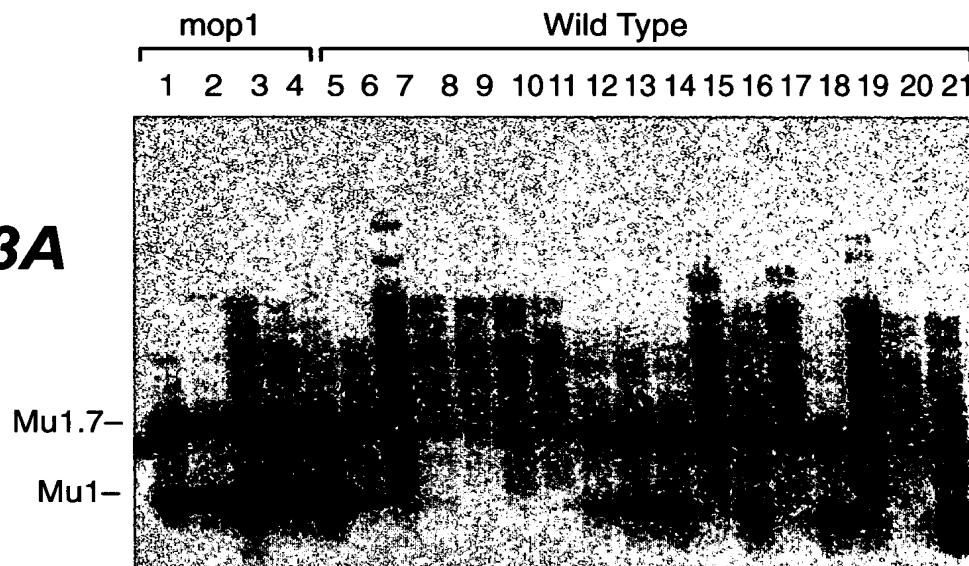
**FIG. 12A**



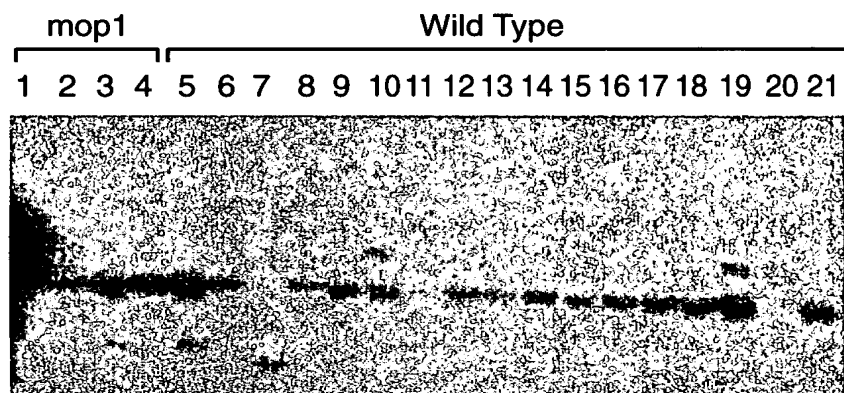
**FIG. 12B**



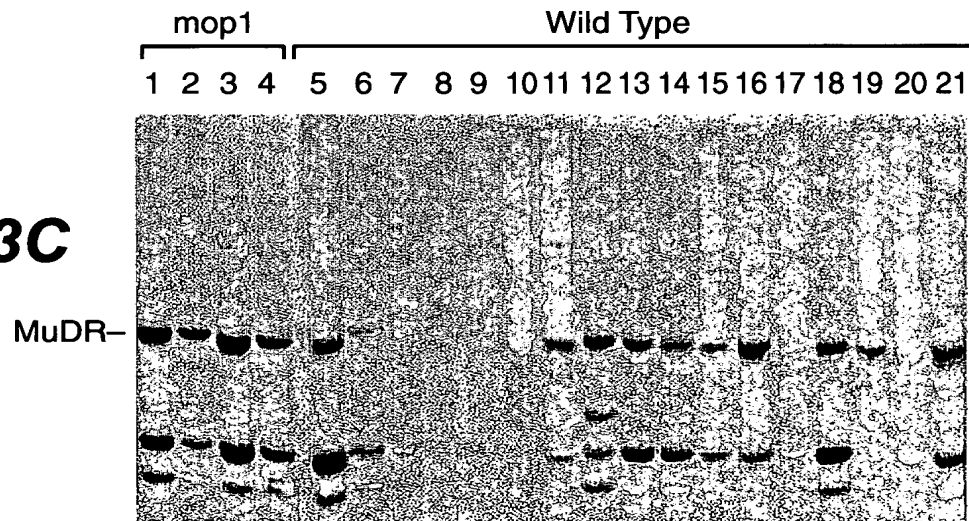
**FIG. 13A**

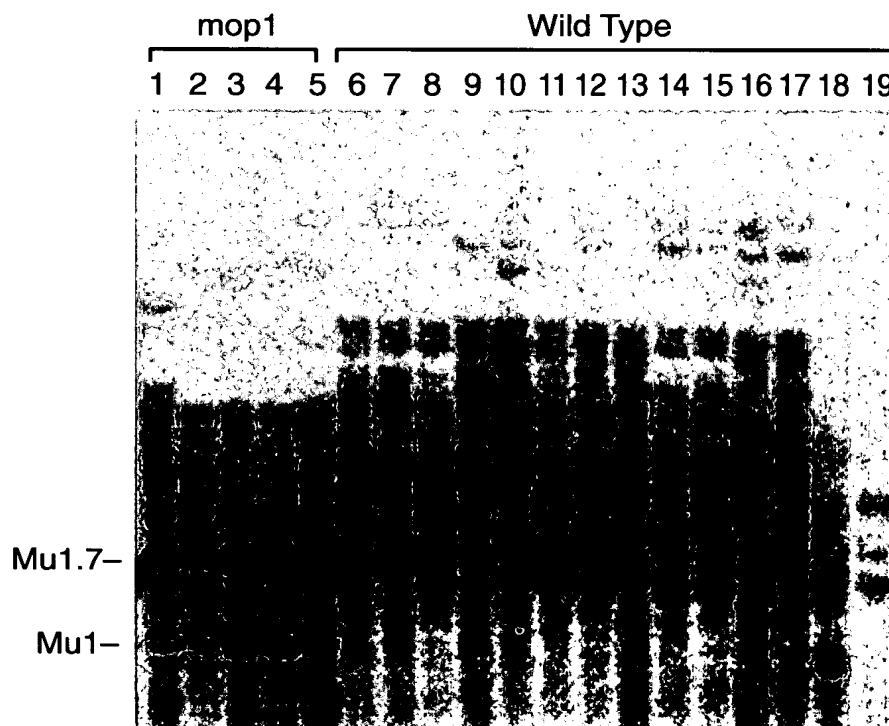


**FIG. 13B**

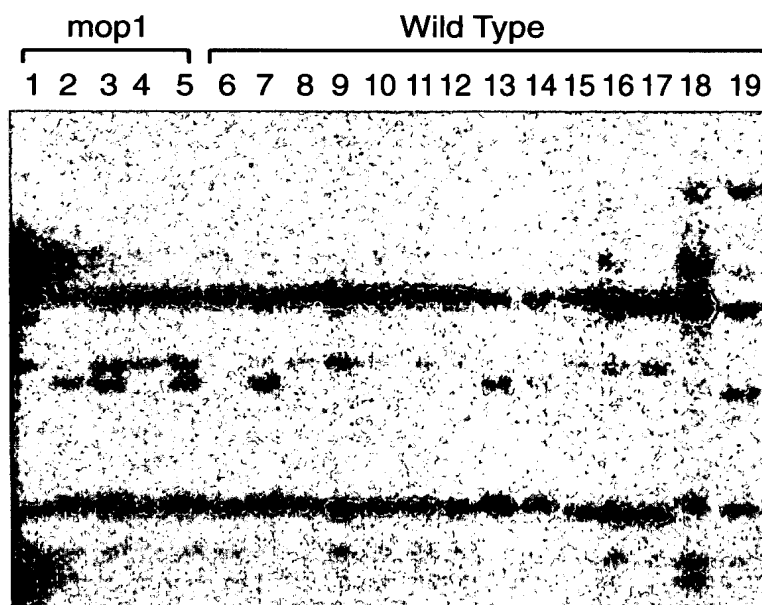


**FIG. 13C**

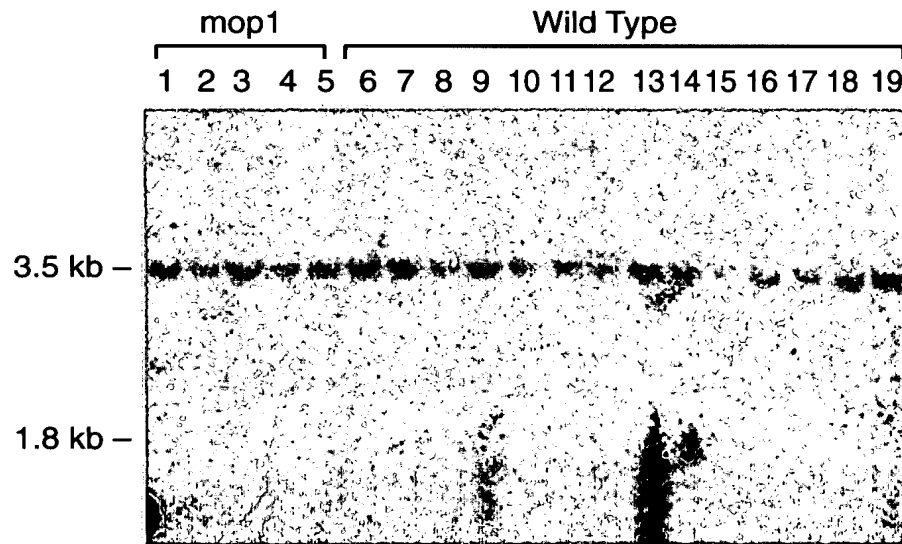




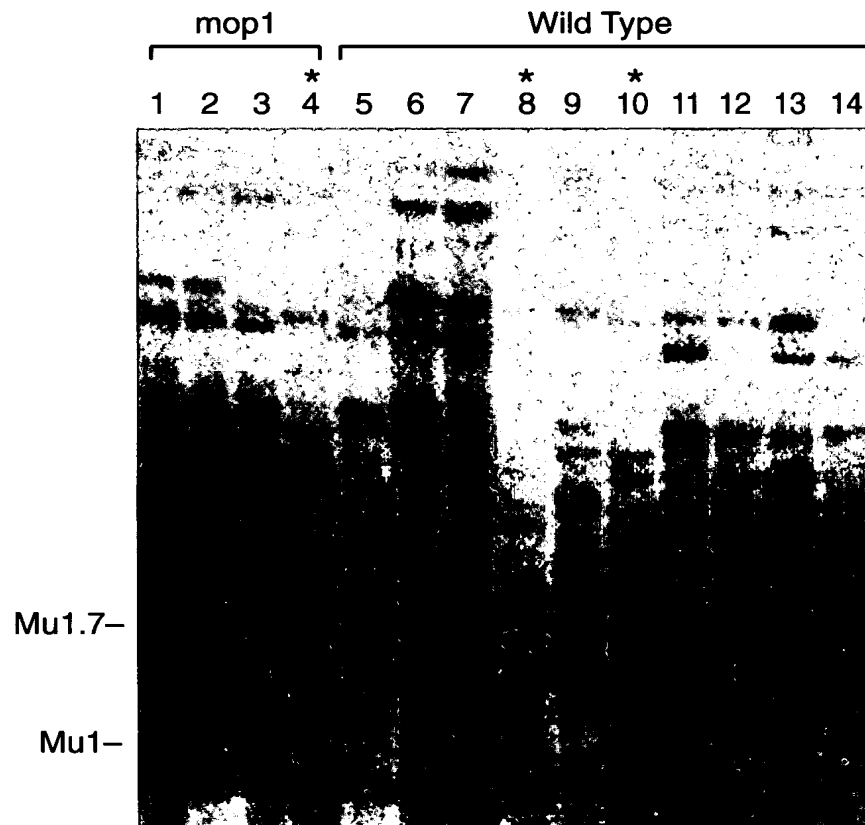
**FIG. 14A**



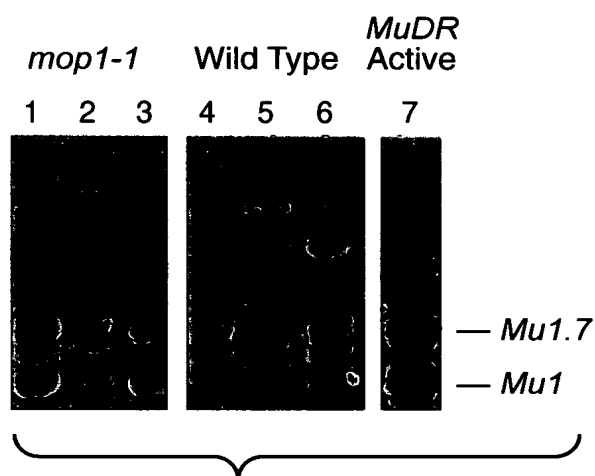
**FIG. 14B**



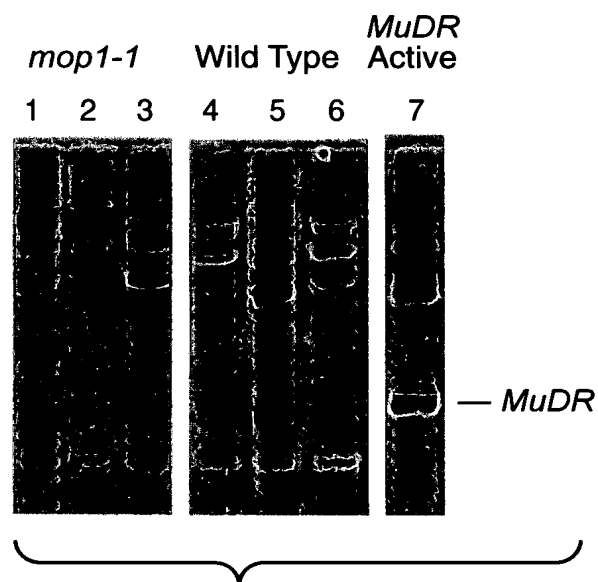
**FIG. 14C**



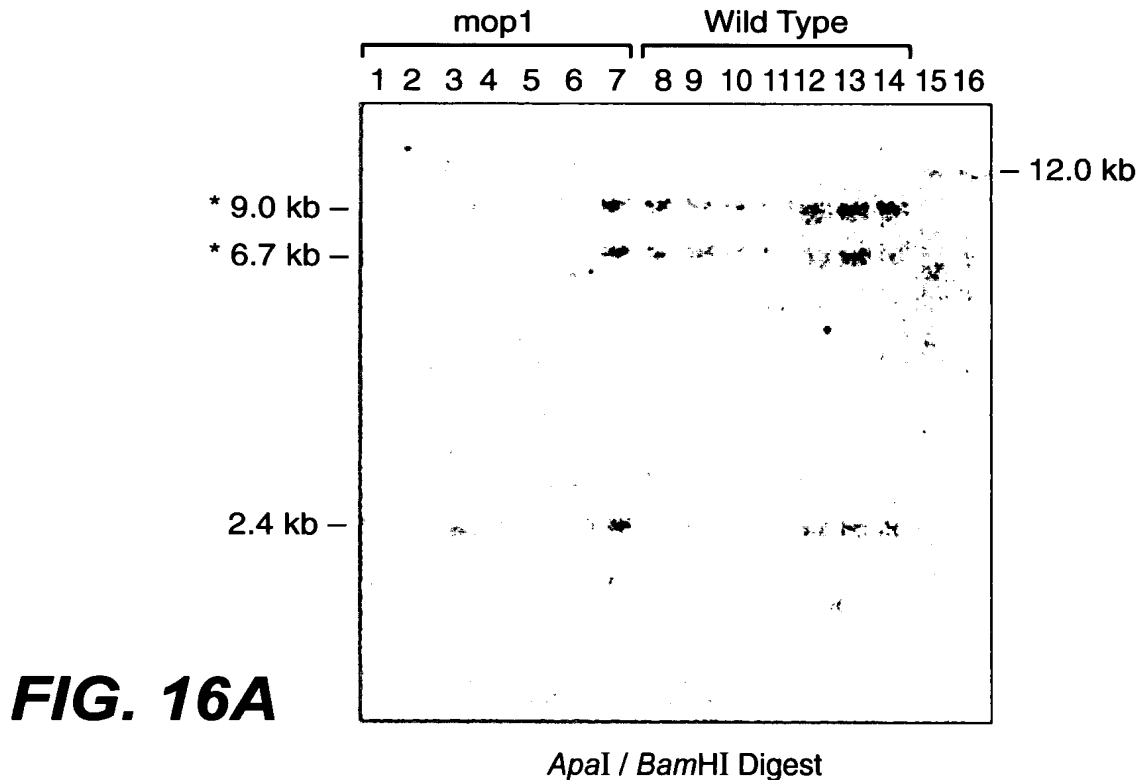
**FIG. 14D**



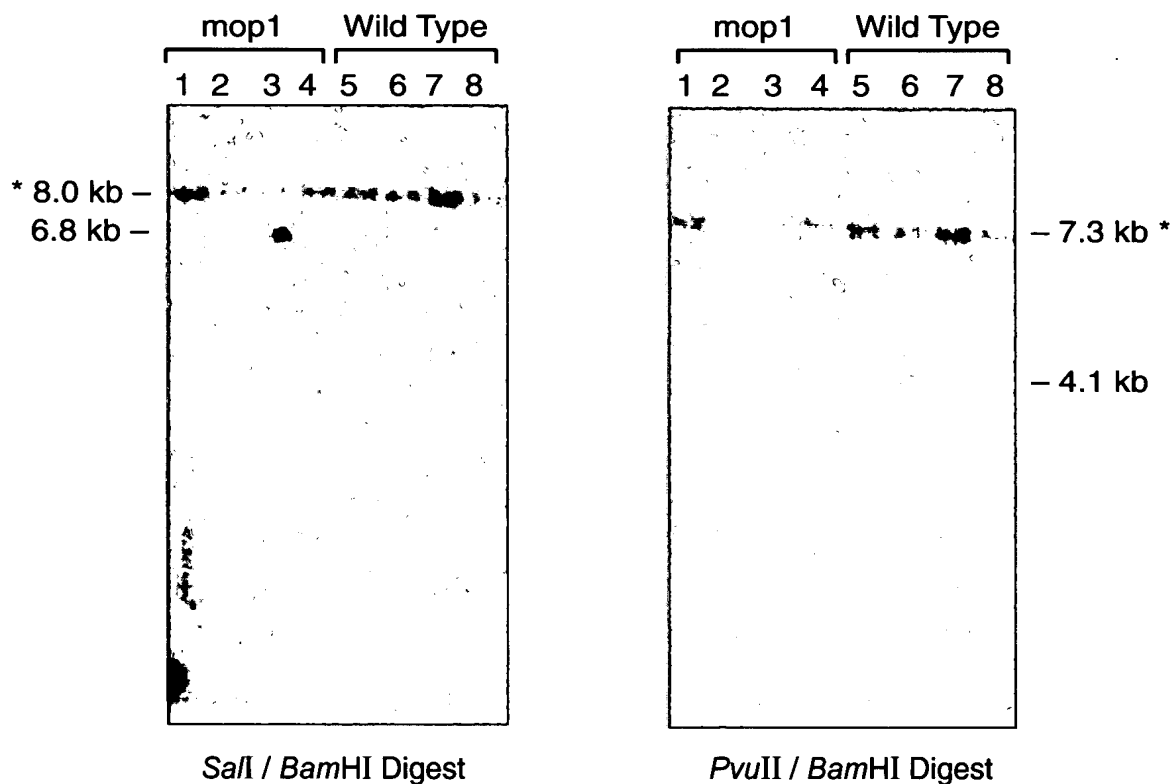
**FIG. 15A**



**FIG. 15B**

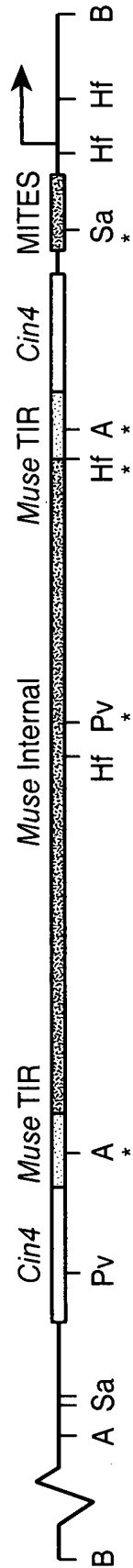


**FIG. 16A**

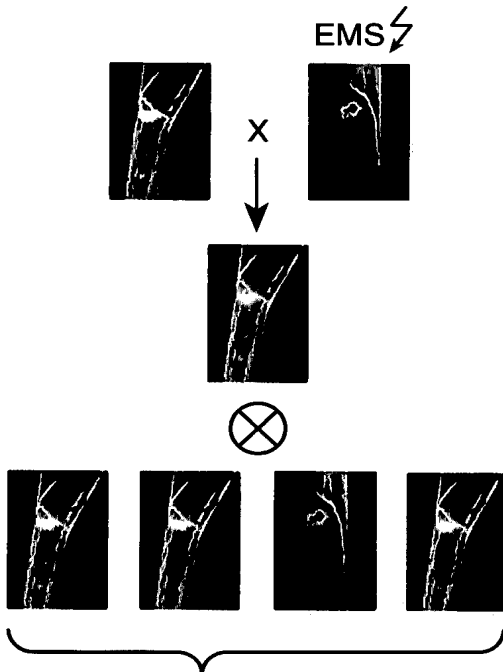


**FIG. 16B**

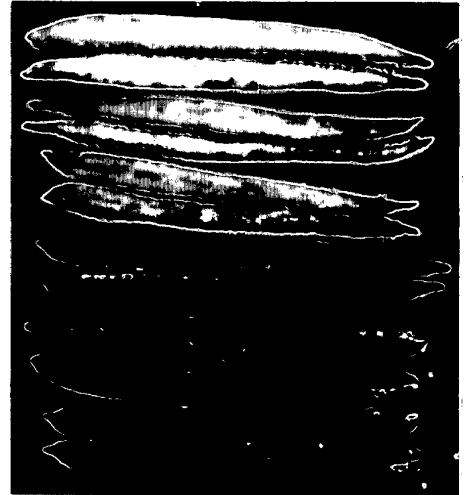
**FIG. 16C**



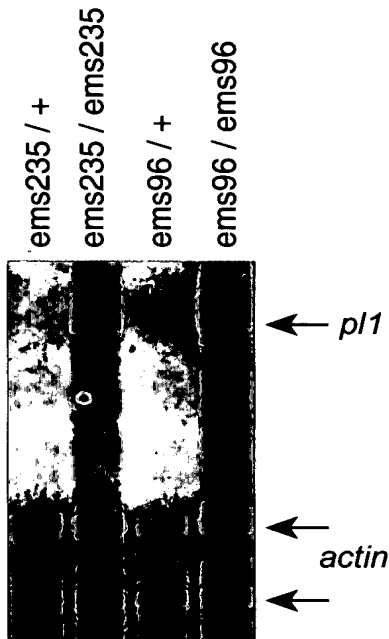
**FIG. 16D**



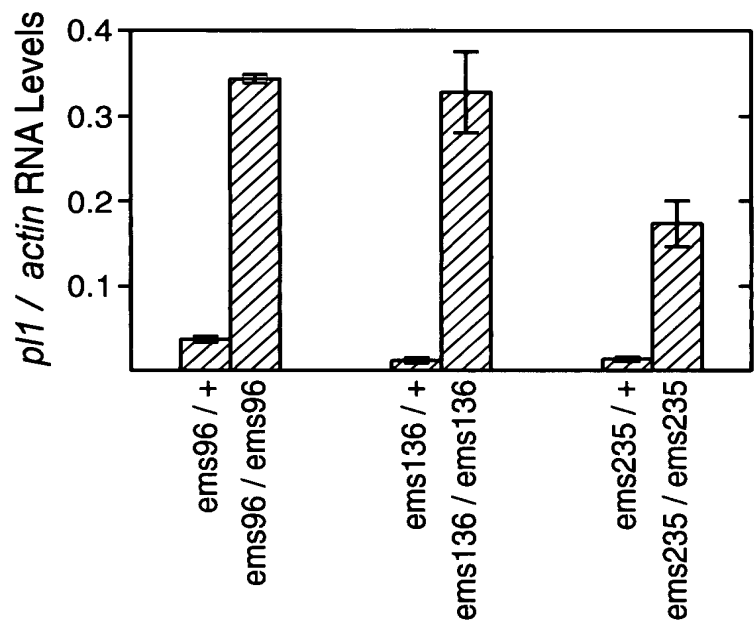
**FIG. 17**



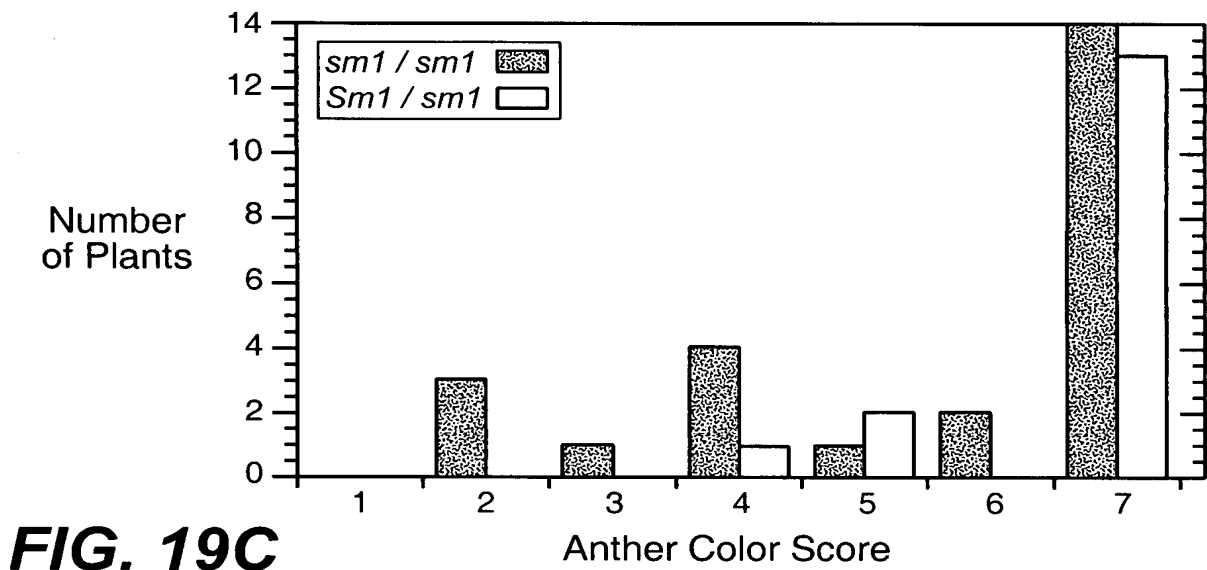
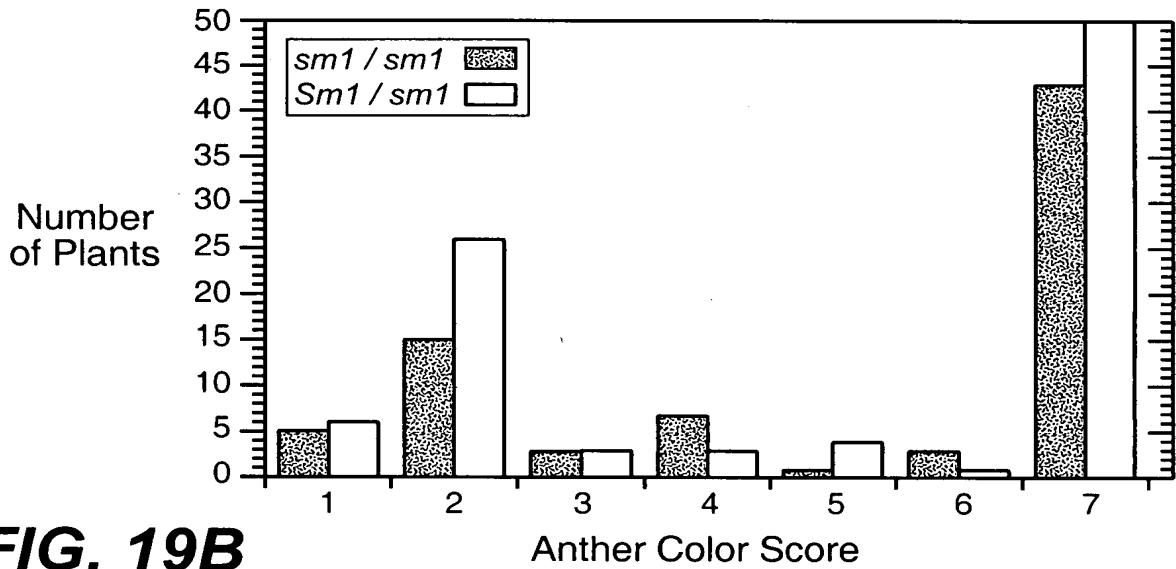
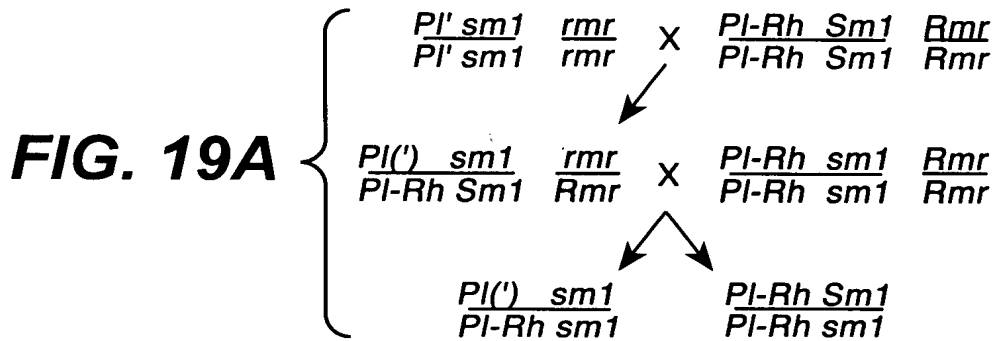
**FIG. 18A**

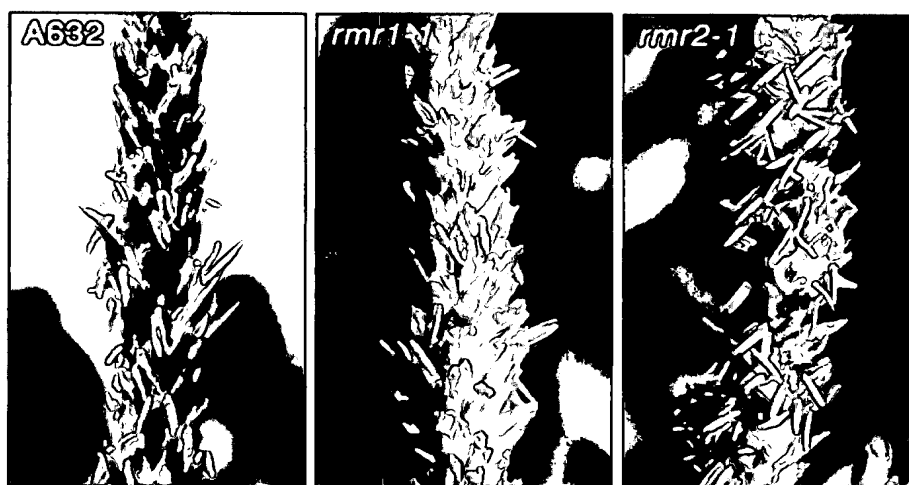


**FIG. 18B**

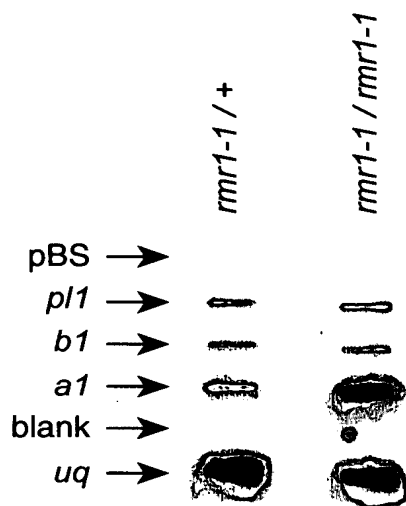


**FIG. 18C**

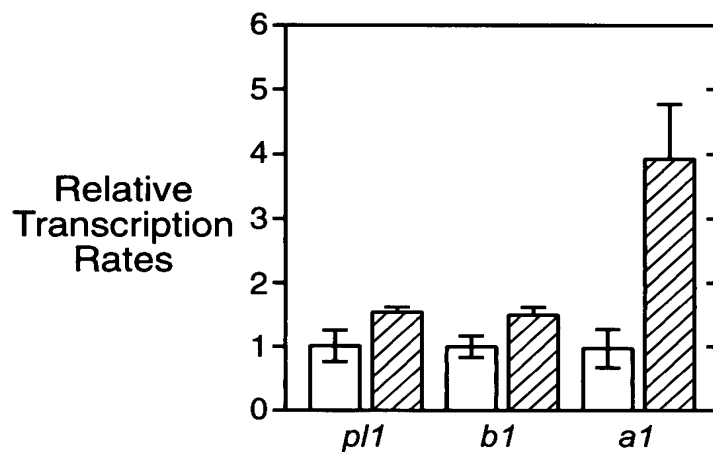




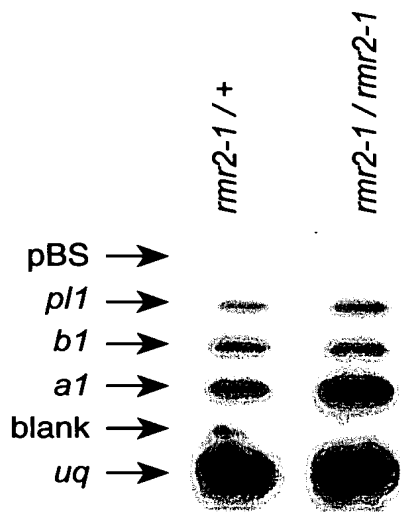
**FIG. 20**



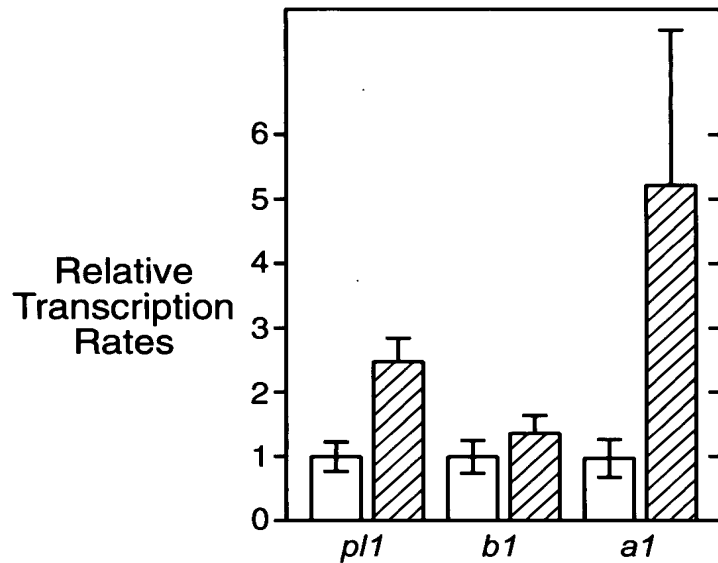
**FIG. 21A**



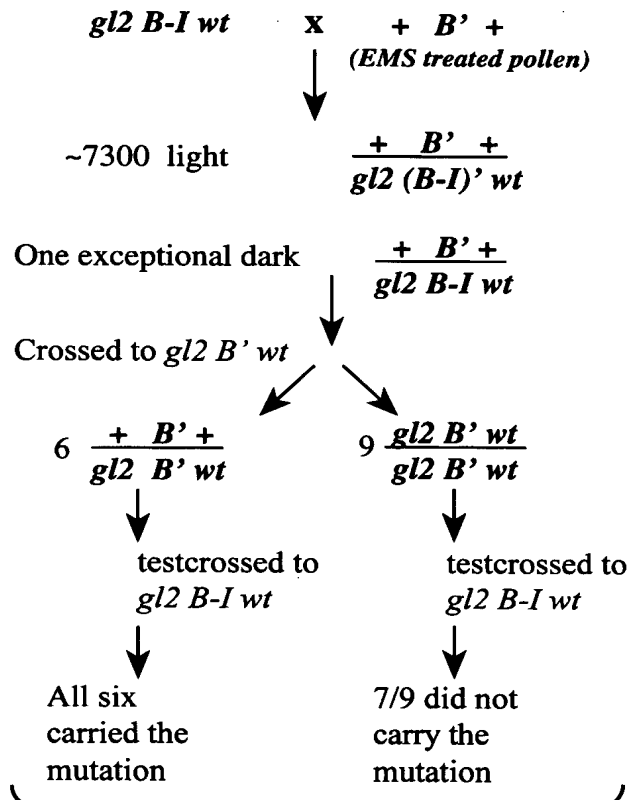
**FIG. 21B**



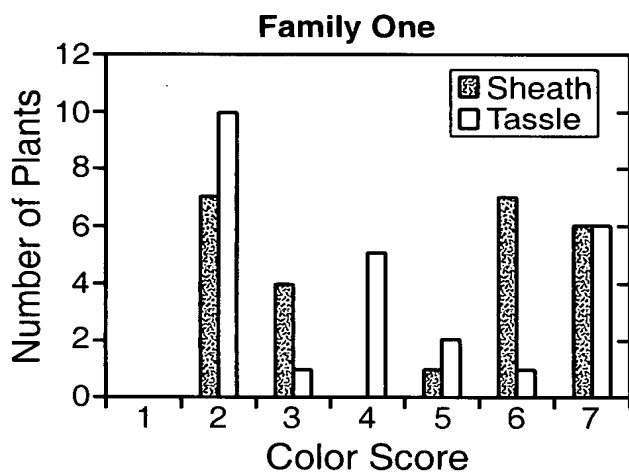
**FIG. 22A**



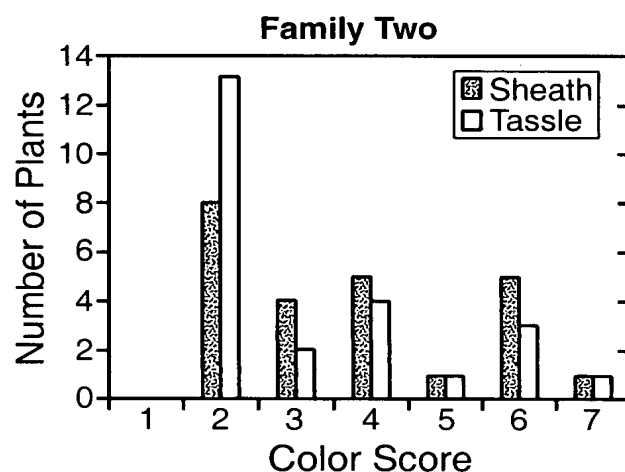
**FIG. 22B**



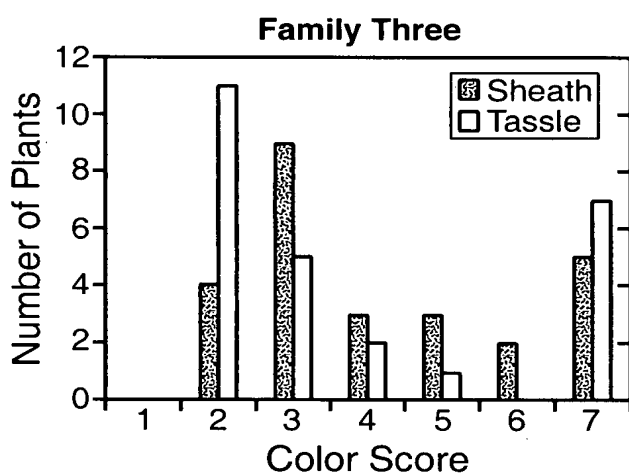
**FIG. 23**



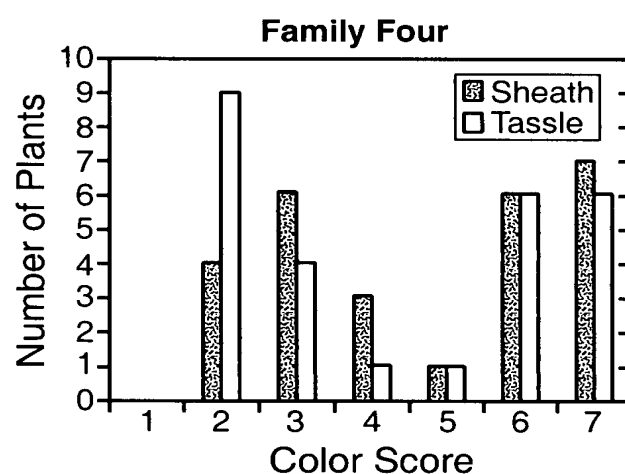
**FIG. 24A**



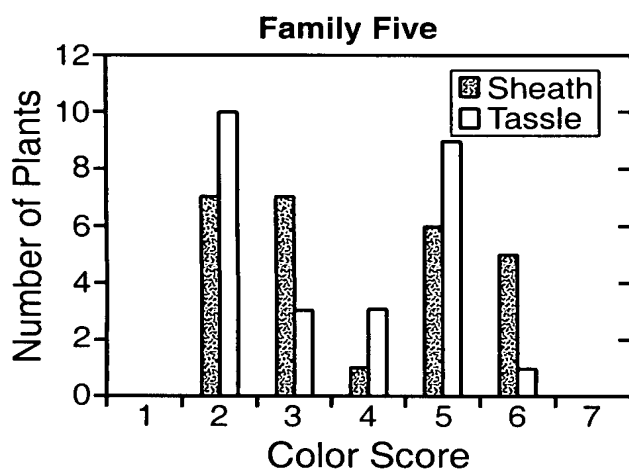
**FIG. 24B**



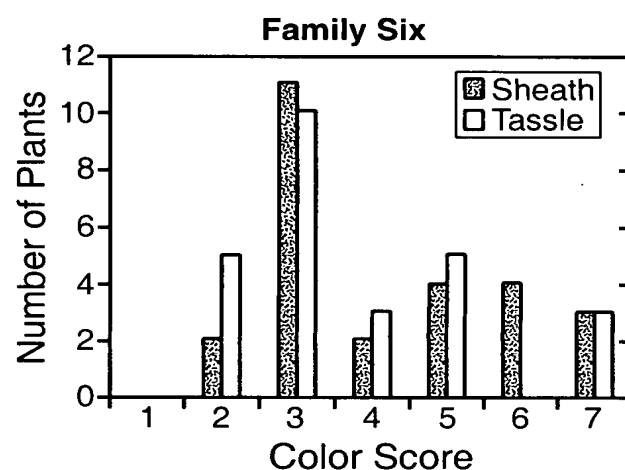
**FIG. 24C**



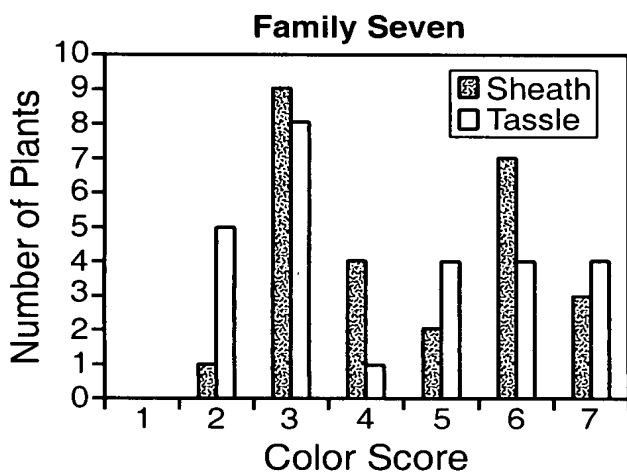
**FIG. 24D**



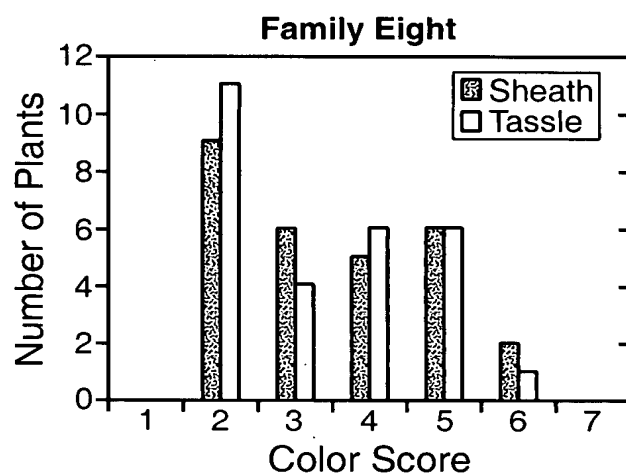
**FIG. 24E**



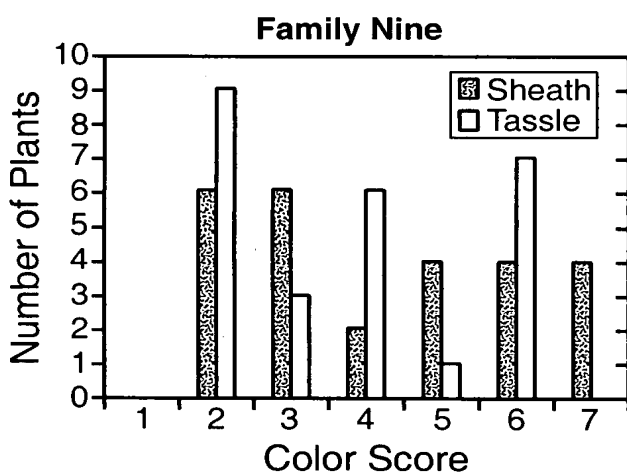
**FIG. 24F**



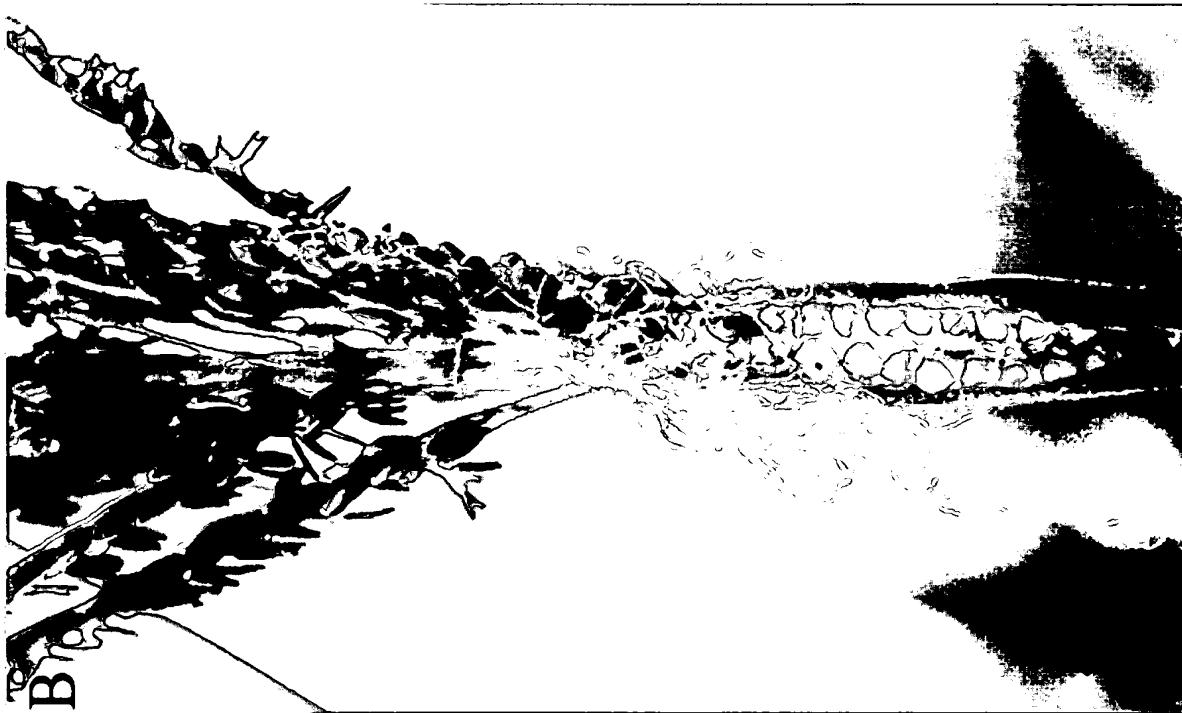
**FIG. 24G**



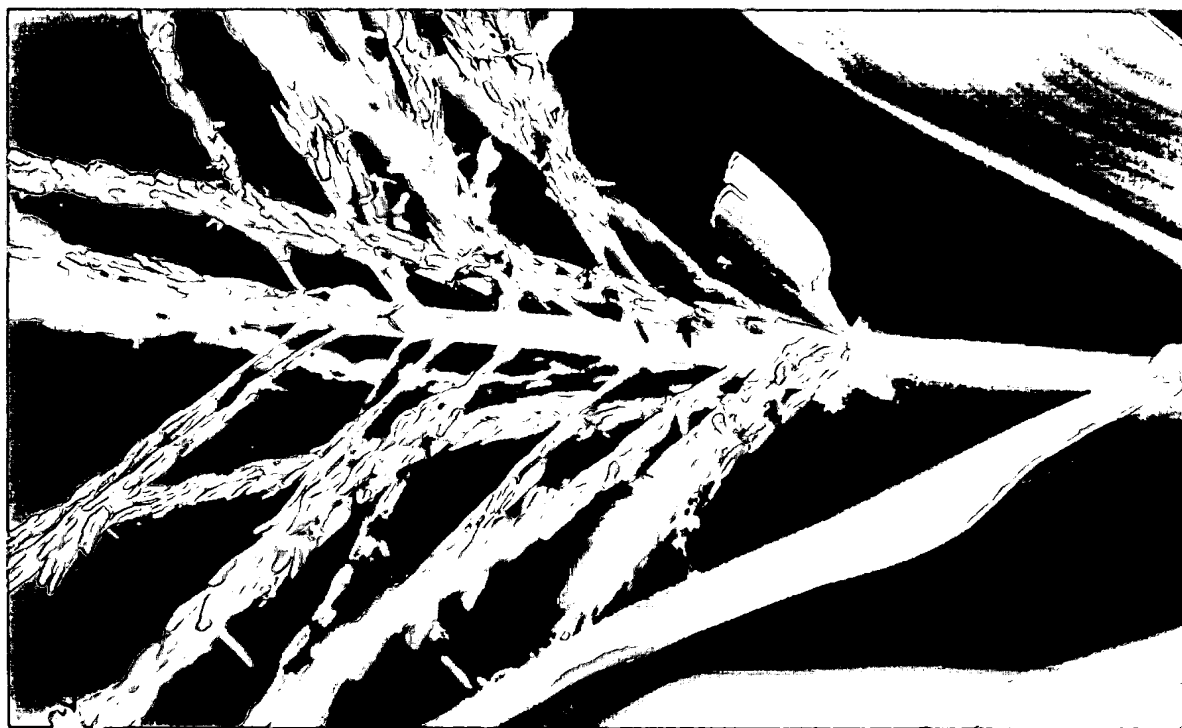
**FIG. 24H**



**FIG. 24I**

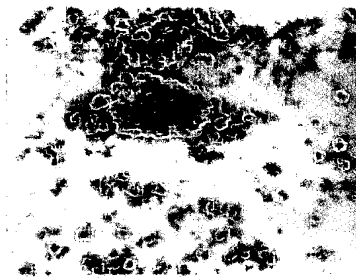


**FIG. 25B**

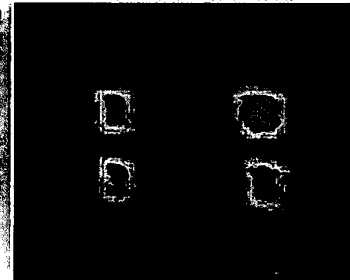


**FIG. 25A**

CC2343 Dark  
 CC2343 Dark  
 CC2343 Light  
 CC2343 Light



↑  
*b1* RNA



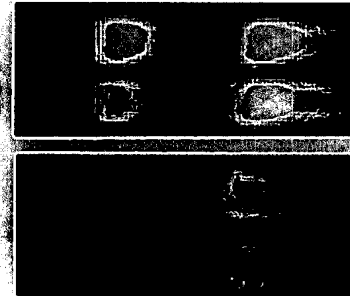
↑  
 EtBr  
 Stained  
 Gel

**FIG. 26C**

*mop1-1* / +  
*mop1-1* / *mop1-1*  
  
*mop3-1* / +  
*mop3-1* / *mop3-1*



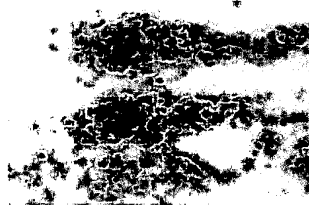
↑  
*b1* RNA



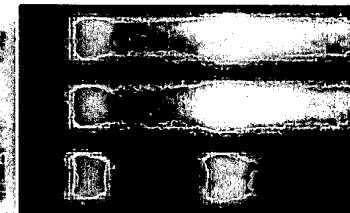
↑  
 EtBr  
 Stained  
 Gel

**FIG. 26B**

*Mop2-1* / *Mop2-1*  
*Mop2-1* / *Mop2-1*  
  
*Mop2-1* / +



↑  
*b1* RNA



↑  
 EtBr  
 Stained  
 Gel

**FIG. 26A**

**FIG. 27A**



**FIG. 27B**



**FIG. 27C**



**FIG. 27D**

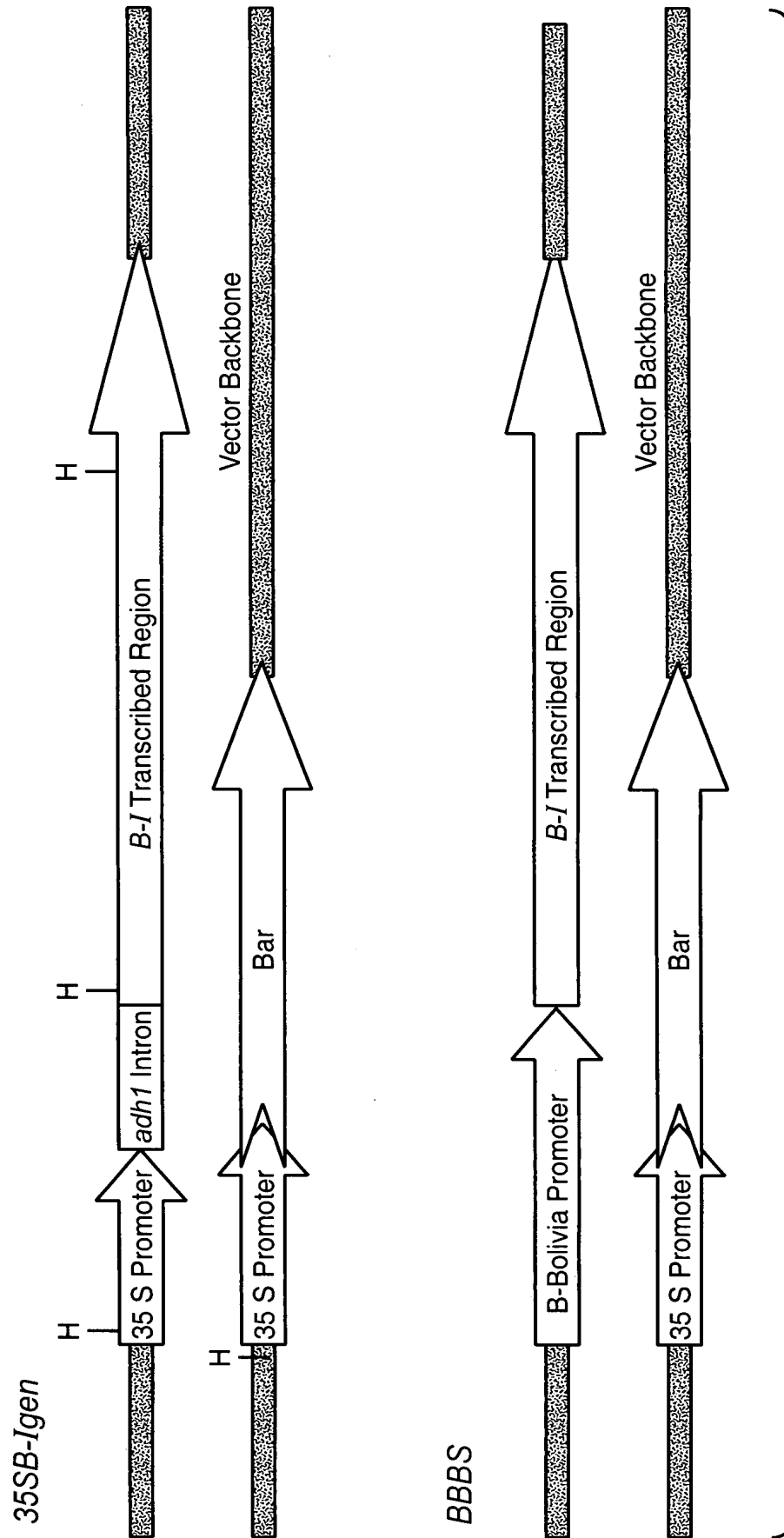


**FIG. 27E**



**FIG. 27F**



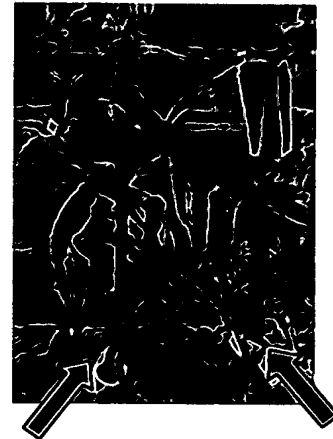


**FIG. 29A**



*B' Mop2-1 / mop2    B' Mop2-1 / Mop2-1*  
 35SB-I

**FIG. 29B**



*rmr2-1 / rmr2-1    Rmr2 / rmr2-1*  
 35SB-I

**FIG. 29C**



*B' mop1-1 / mop1-1    B' Mop1 / mop1-1*  
 35SB-I

**FIG. 29D**

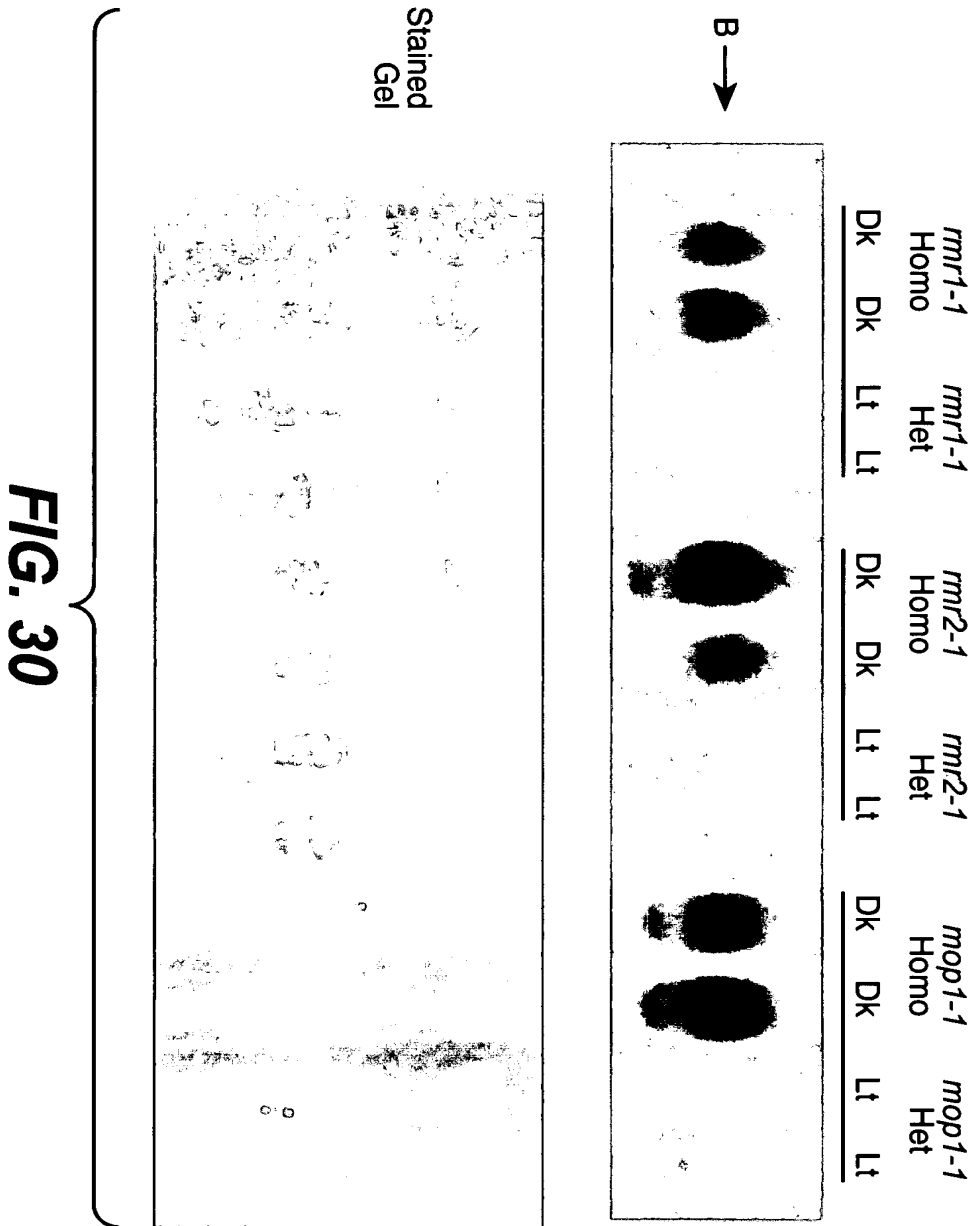


*rmr1-1 / rmr1-1    Rmr1 / rmr1-1*  
 35SB-I



*Rmr2 / rmr2-1    rmr2-1 / rmr2-1*  
 BBBS

**FIG. 29E**



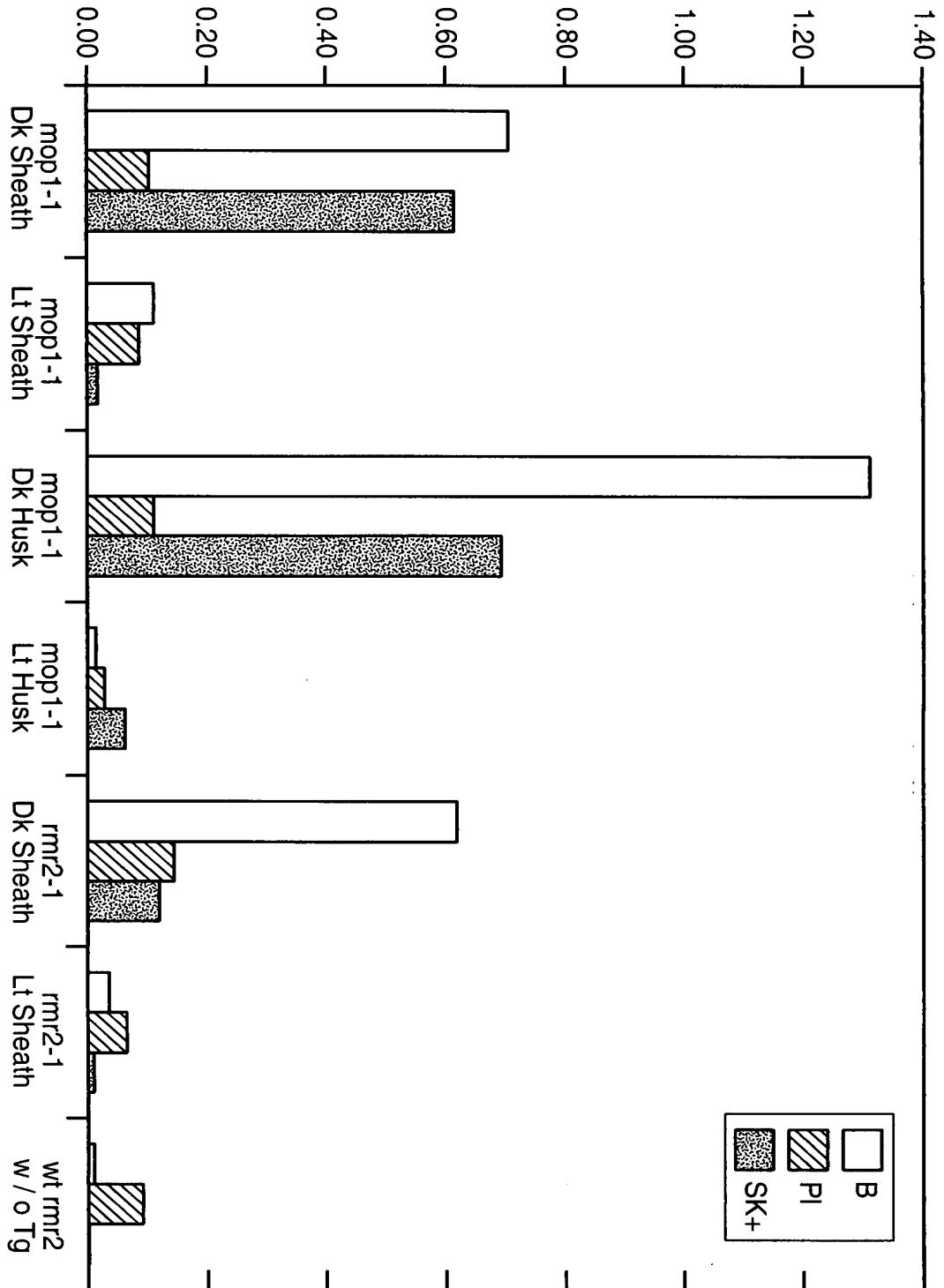
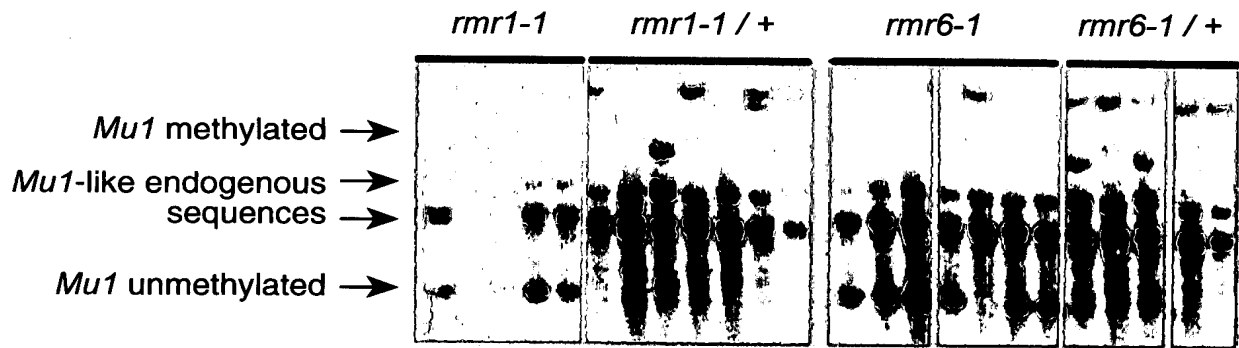
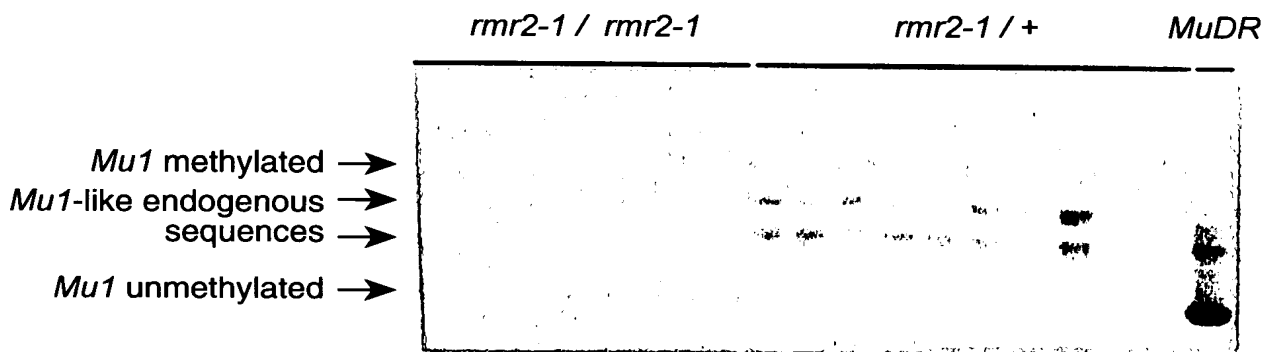


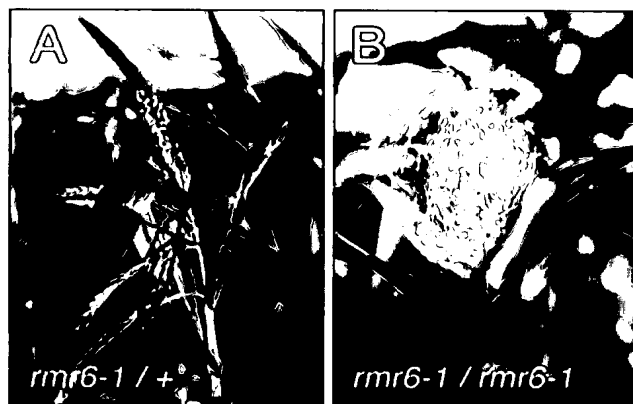
FIG. 31



**FIG. 32A**

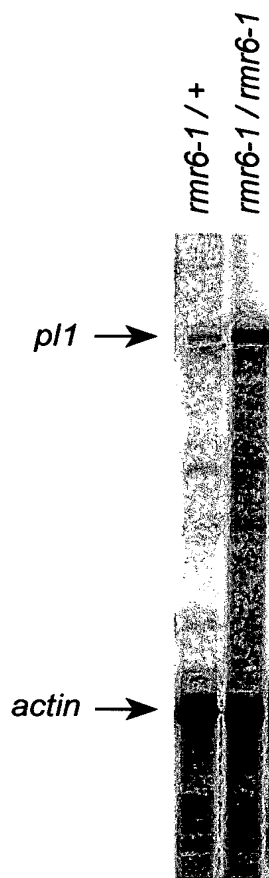


**FIG. 32B**

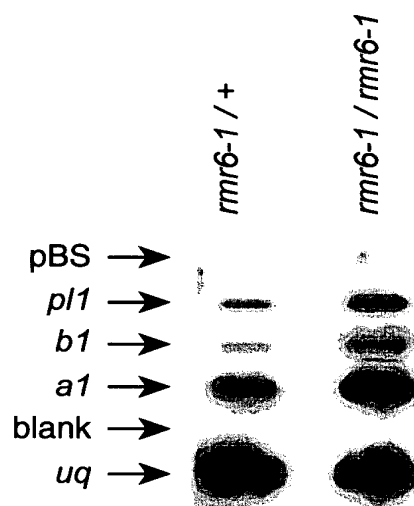


**FIG. 33A**

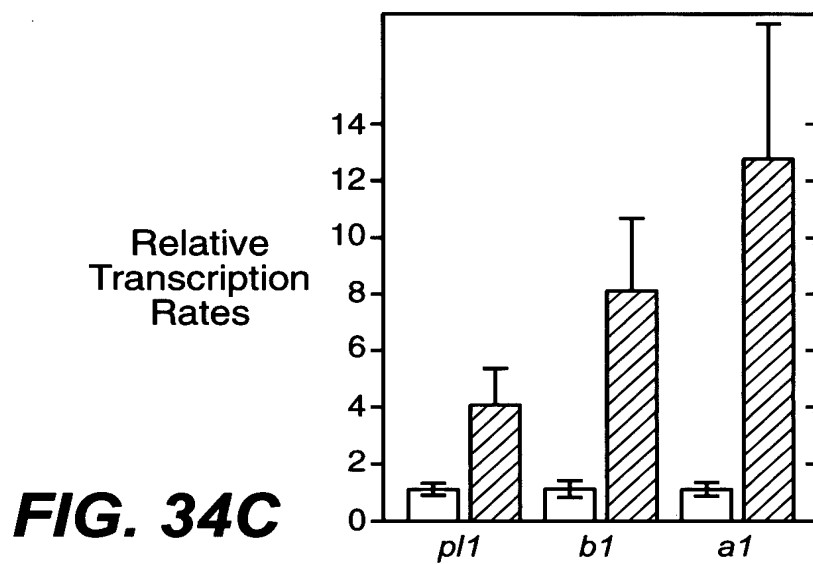
**FIG. 33B**



**FIG. 34A**



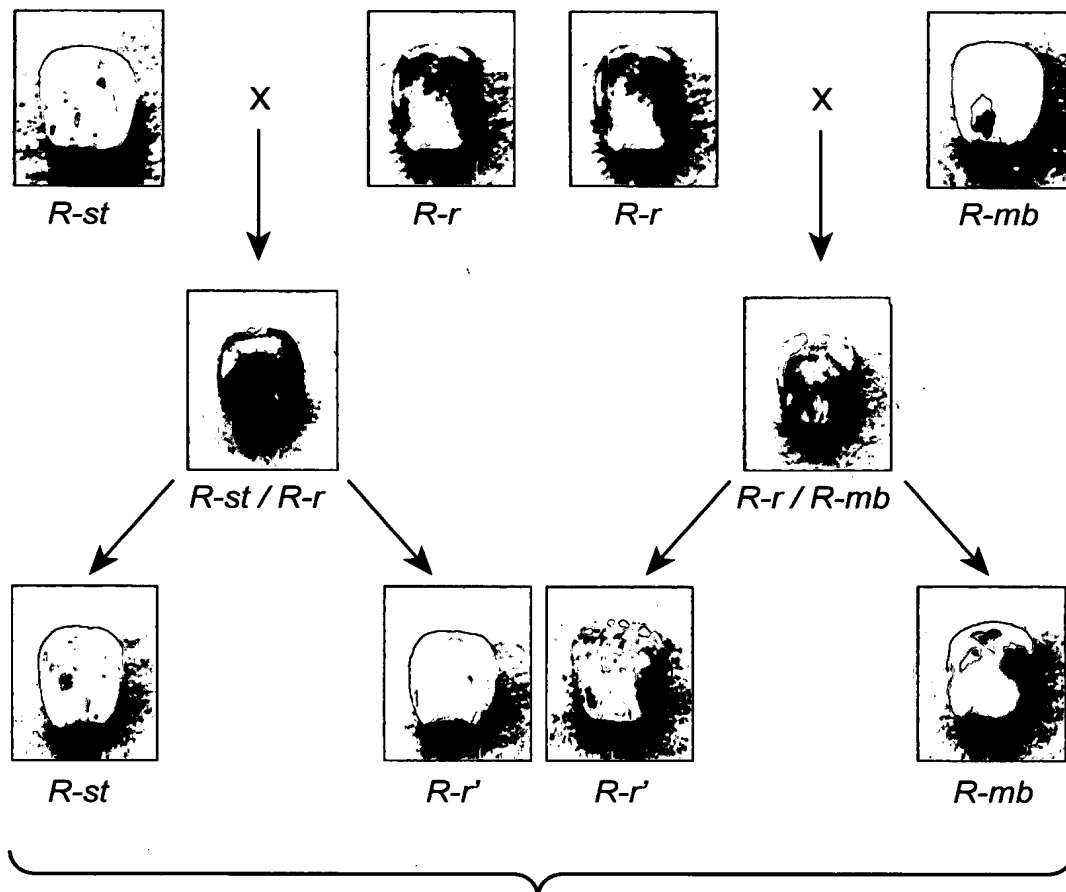
**FIG. 34B**

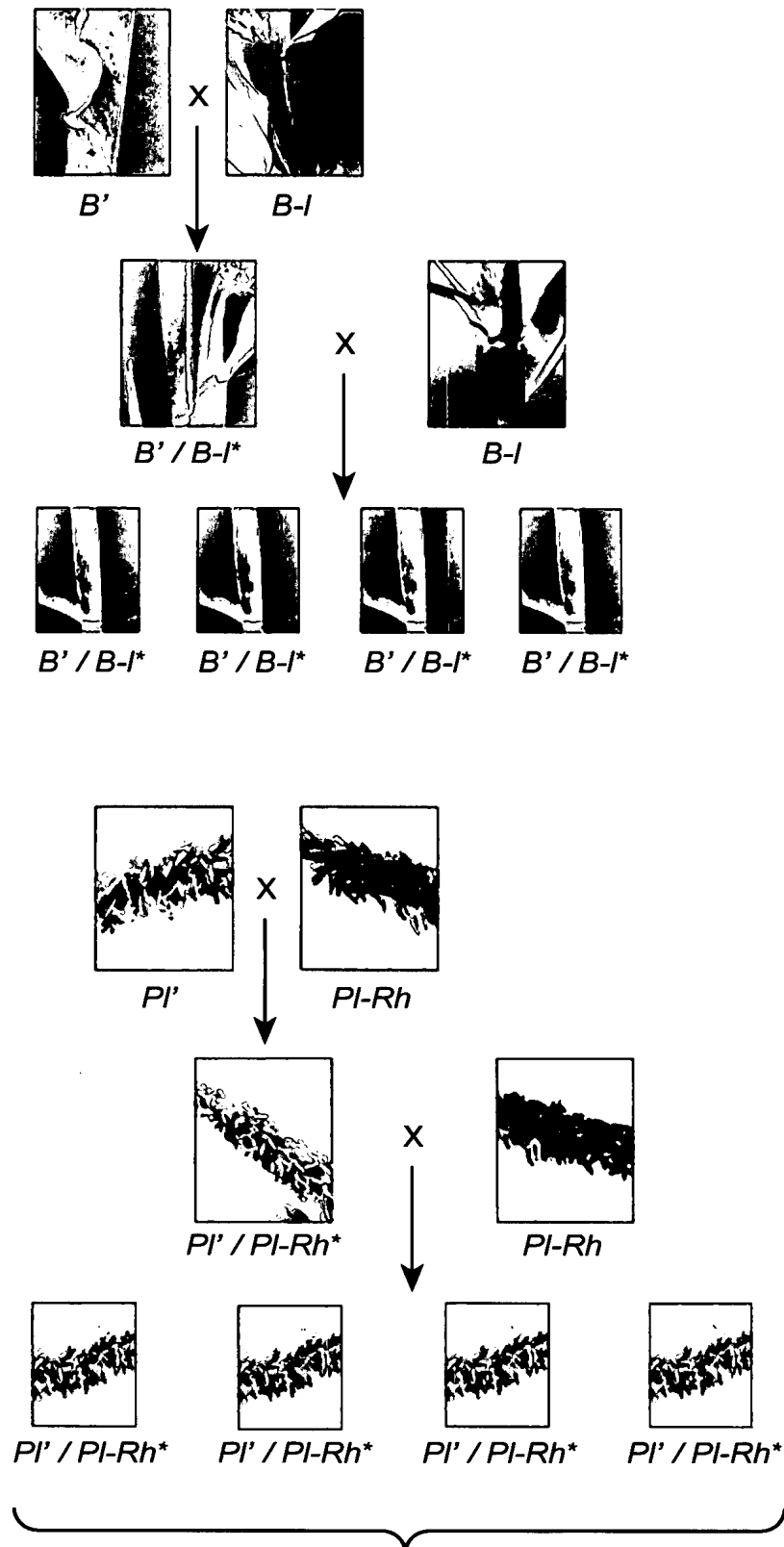


**FIG. 34C**

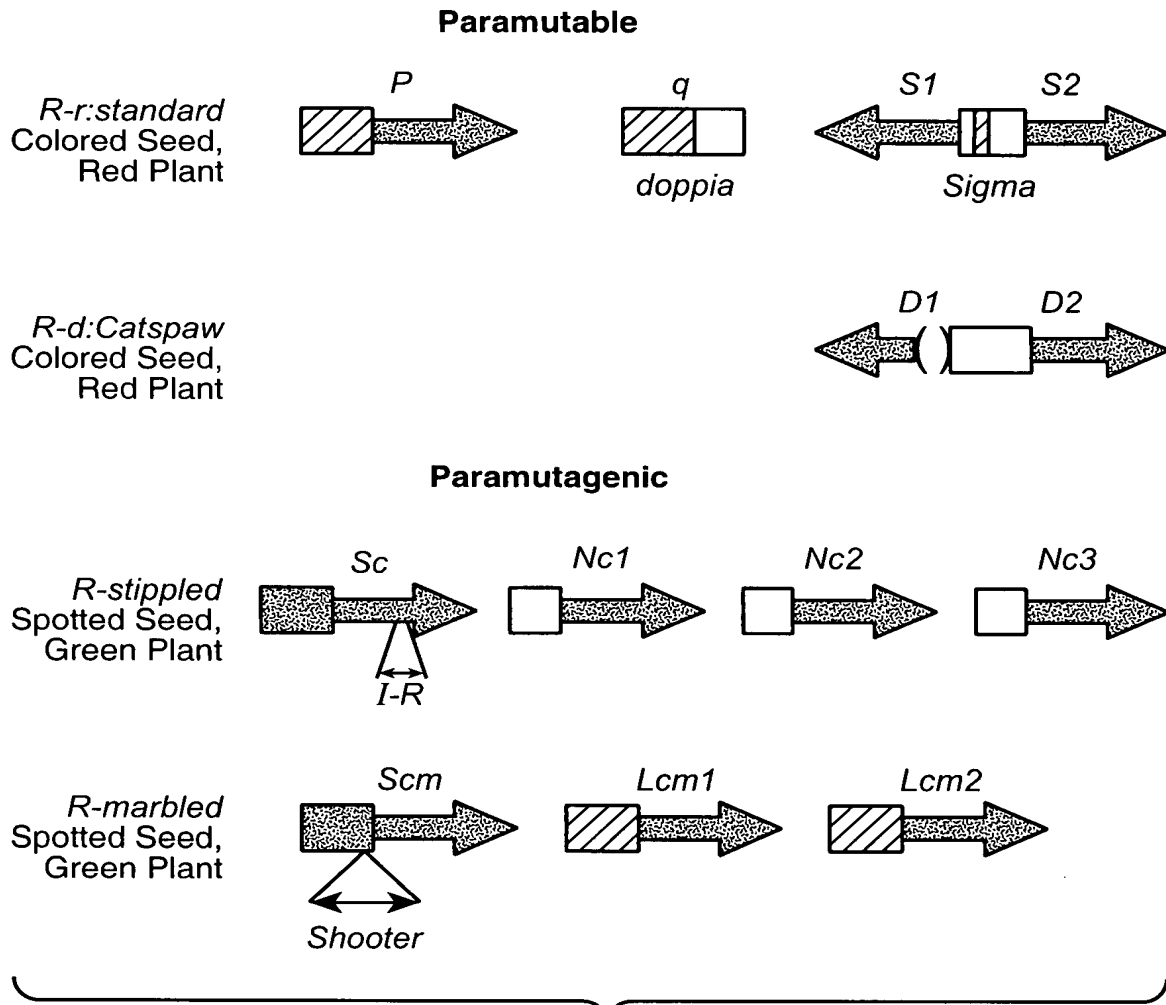


041607

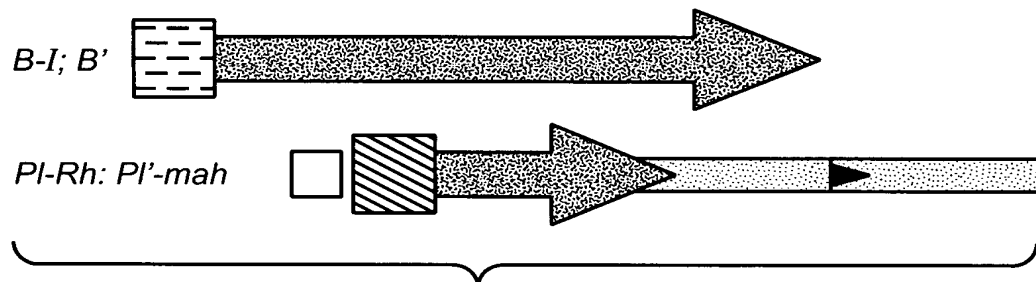
**FIG. 1A**



**FIG. 1B**



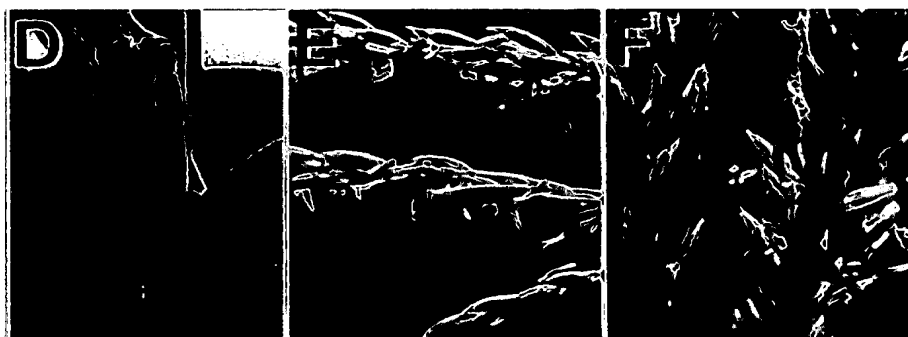
**FIG. 2A**



**FIG. 2B**

**FIG. 3A**    **FIG. 3B**    **FIG. 3C**

*B' Mop1 / mop1-1*    *B' mop1-1 / mop1-1*    *B-I Mop1 / Mop1*



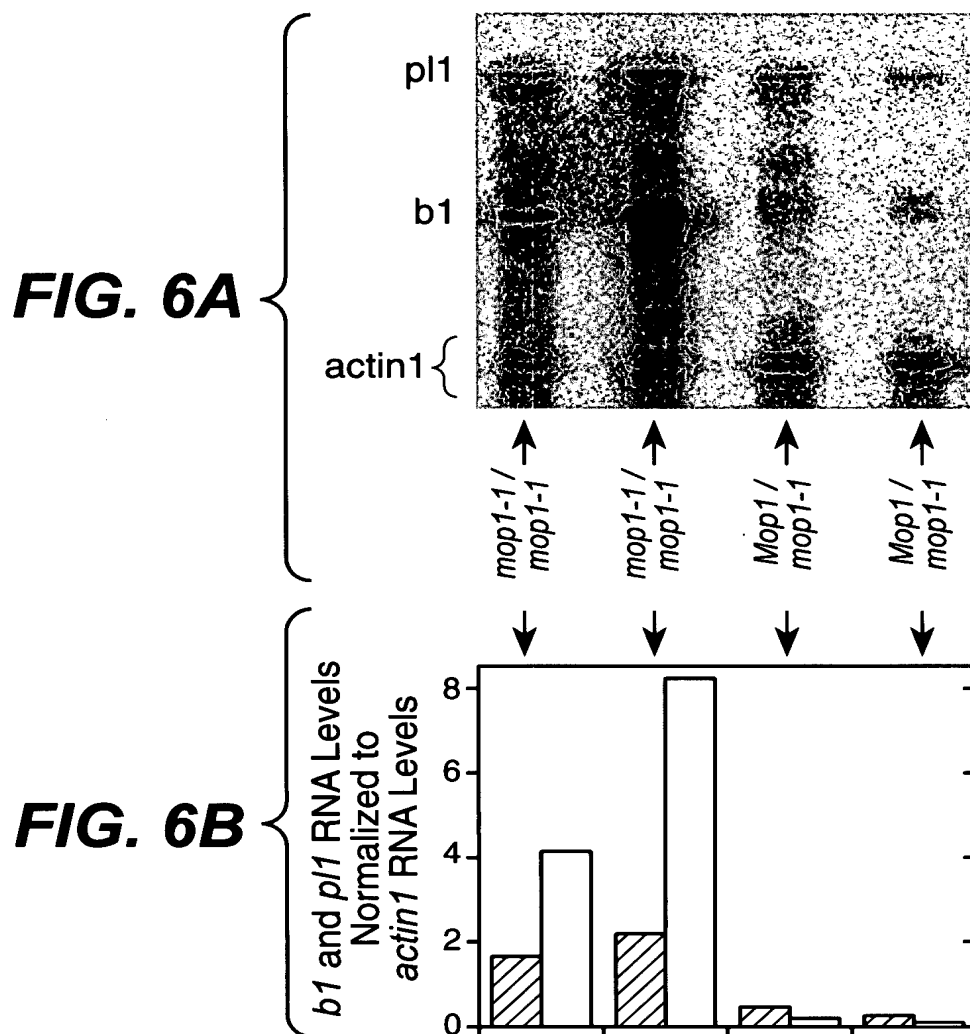
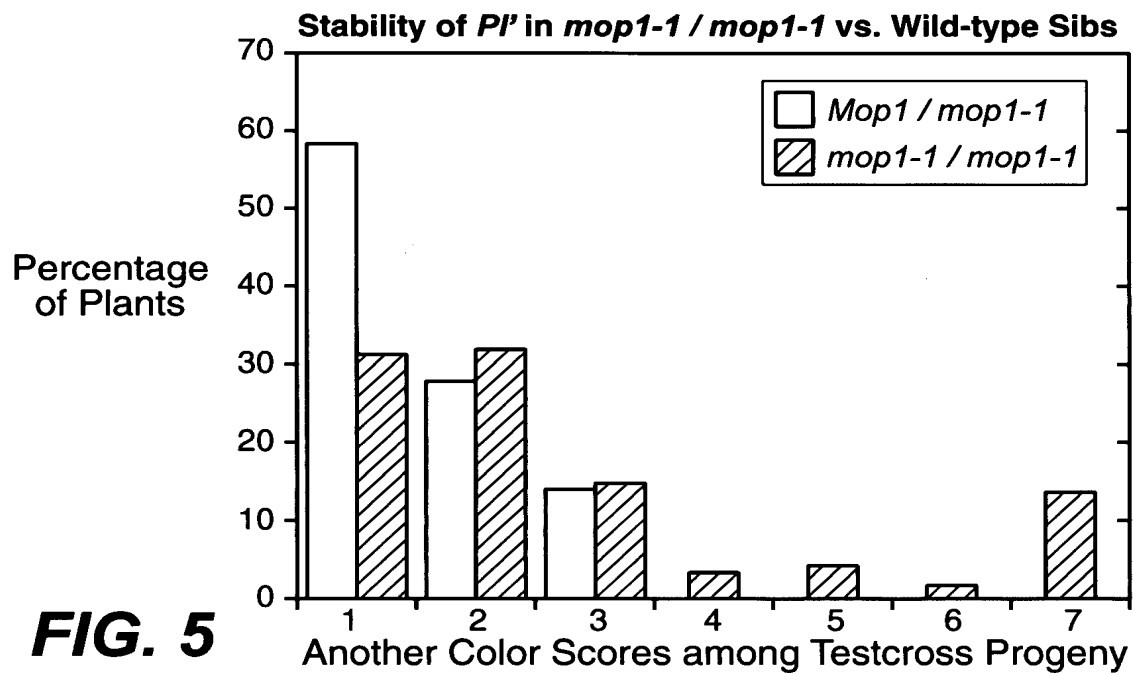
*B' Sectors in a  
B' mop1-1 Plant*

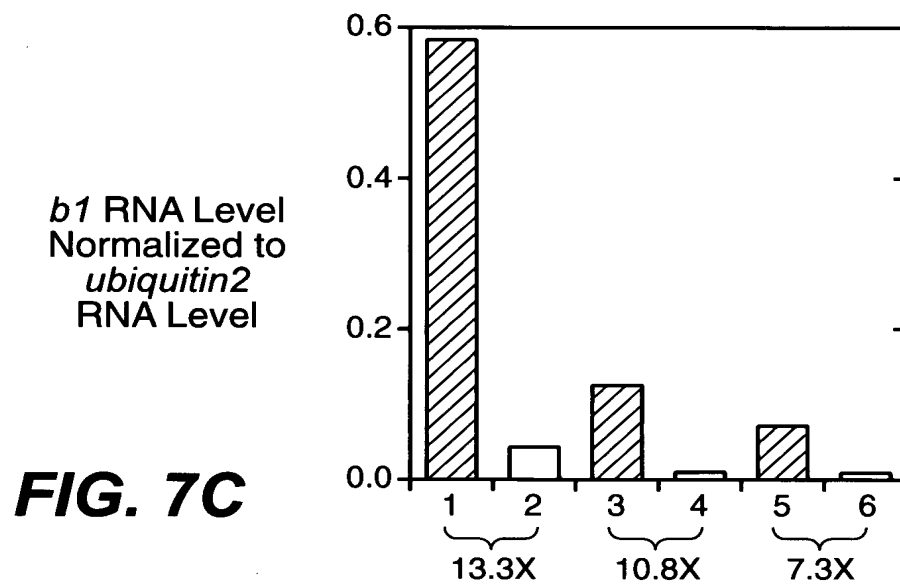
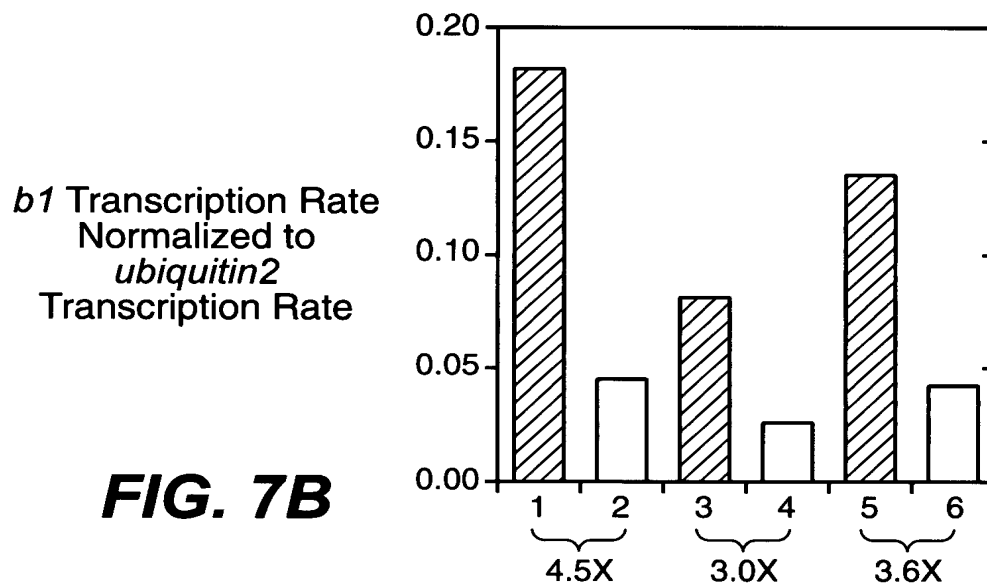
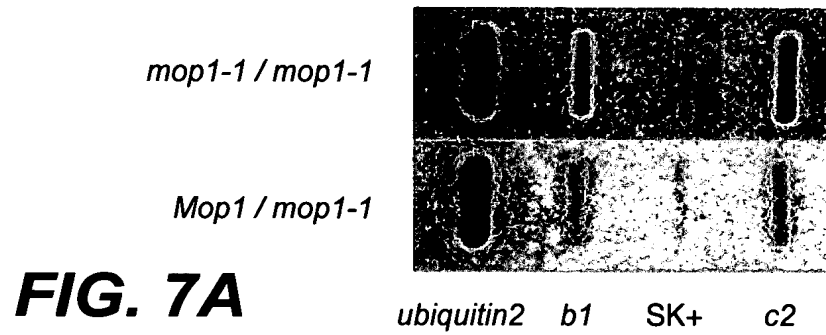
*Pl' Mop1 / -*

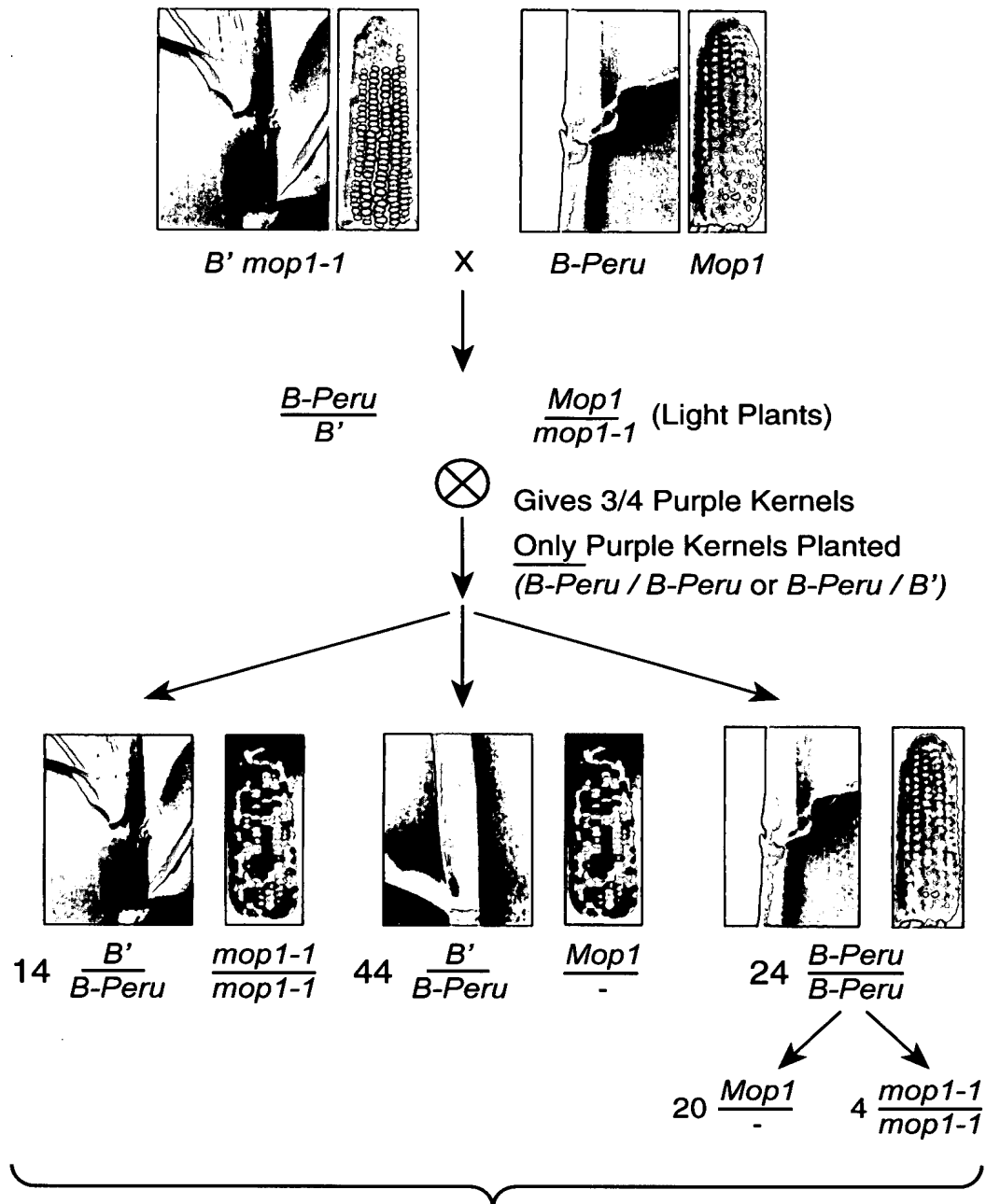
*Pl' mop1-1 / mop1-1*

**FIG. 3D**    **FIG. 3E**    **FIG. 3F**

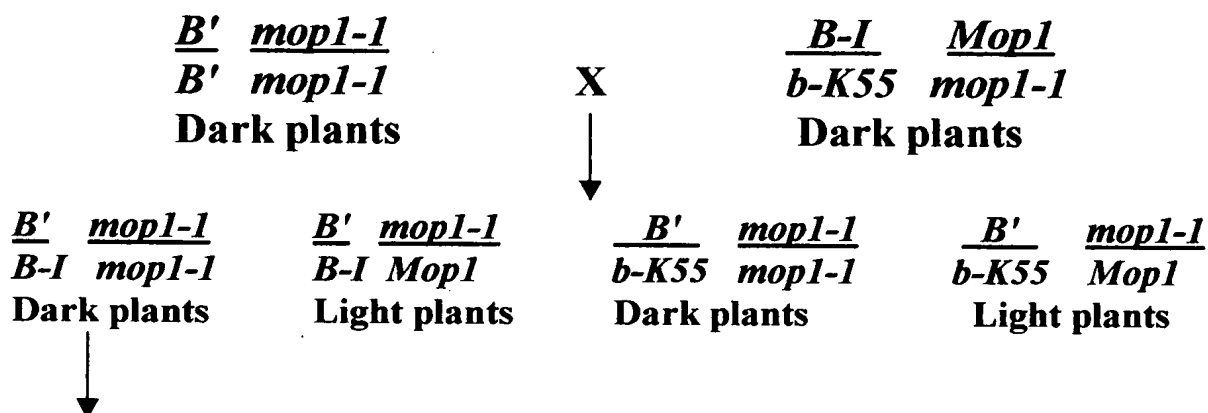
**FIG. 4B**







**FIG. 8**



Testcross (by *B-Peru/B-I Mop1/Mop1* tester--diagram shows only *B-Peru* gametes of tester)

Gametes produced if paramutation  
 is prevented ( $B-I \nrightarrow B'$ ):

50%  $B' mop1-1$  X  $B-Peru Mop1$  →  $\frac{B'}{B-Peru} \frac{mop1-1}{Mop1}$  Light plants

50%  $B-I mop1-1$  X  $B-Peru Mop1$  →  $\frac{B-I}{B-Peru} \frac{mop1-1}{Mop1}$  Dark plants

Gametes produced if paramutation  
 occurred ( $B-I \rightarrow B'$ ):

100%  $B' mop1-1$  X  $B-Peru Mop1$  →  $\frac{B'}{B-Peru} \frac{mop1-1}{Mop1}$  Light plants

**FIG. 9**

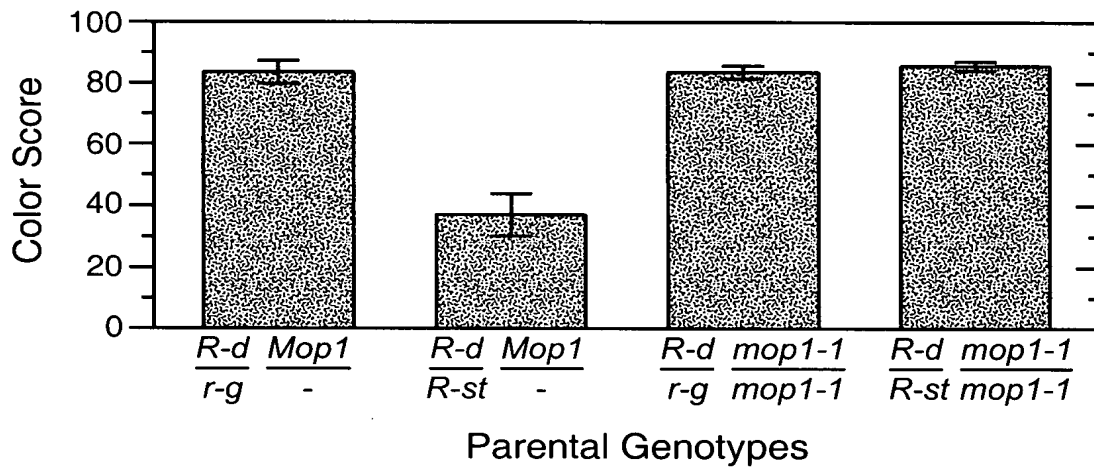
$\frac{R-st}{r-g} \frac{B-bar}{B'} \frac{pl-sr}{Pl'} \frac{Mop1}{mop1-1}$ 
 $\times$ 
 $\frac{R-d}{r-g} \frac{B-bar}{B'} \frac{pl-sr}{Pl'} \frac{Mop1}{mop1-1}$



Four genotypes of interest among  $R-d/- Pl'/-$  progeny:

$\frac{3}{16}$	$\frac{R-d}{r-g}$	$\frac{Mop1}{-}$	Light plant
$\frac{3}{16}$	$\frac{R-d}{R-st}$	$\frac{Mop1}{-}$	Light plant
$\frac{1}{16}$	$\frac{R-d}{r-g}$	$\frac{mop1-1}{mop1-1}$	Dark plant
$\frac{1}{16}$	$\frac{R-d}{R-st}$	$\frac{mop1-1}{mop1-1}$	Dark plant

**FIG. 10A**



**FIG. 10B**

**FIG. 11A**



**FIG. 11B**



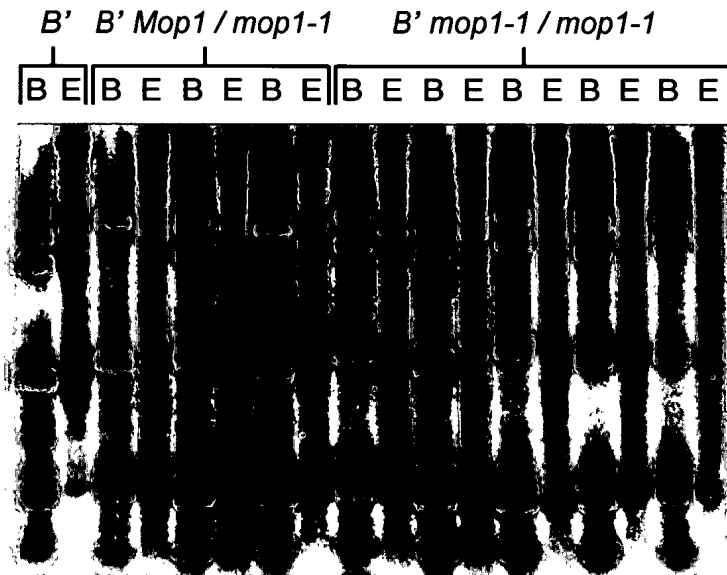
**FIG. 11C**



**FIG. 11D**



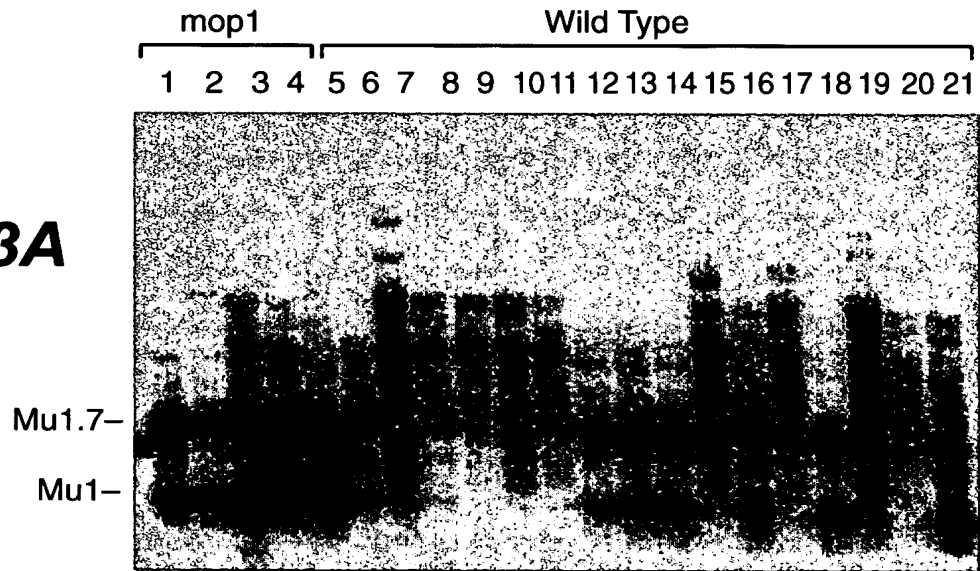
**FIG. 12A**



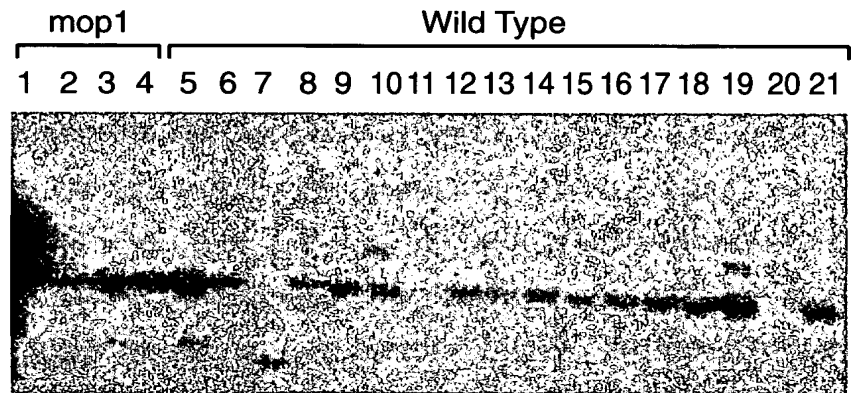
**FIG. 12B**



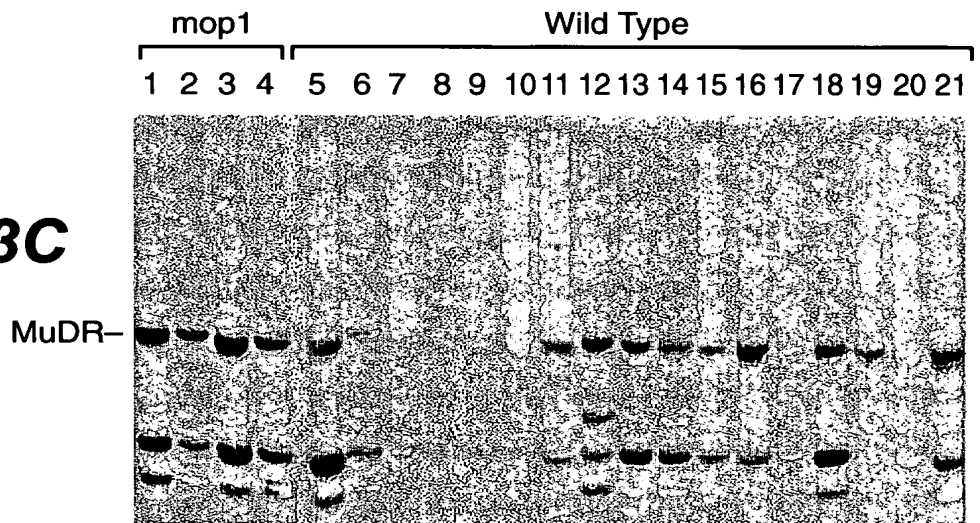
**FIG. 13A**

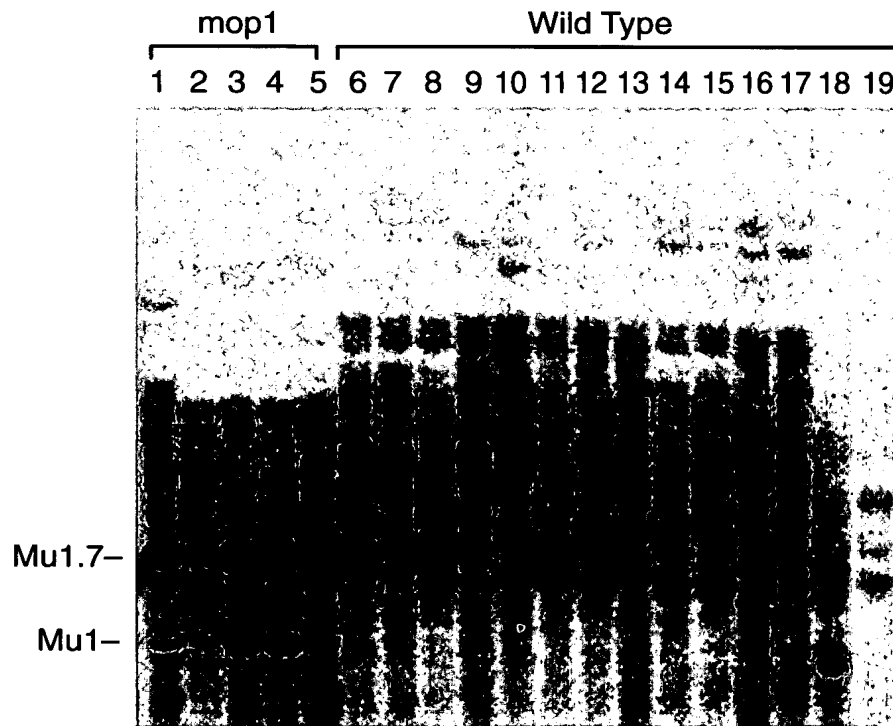


**FIG. 13B**

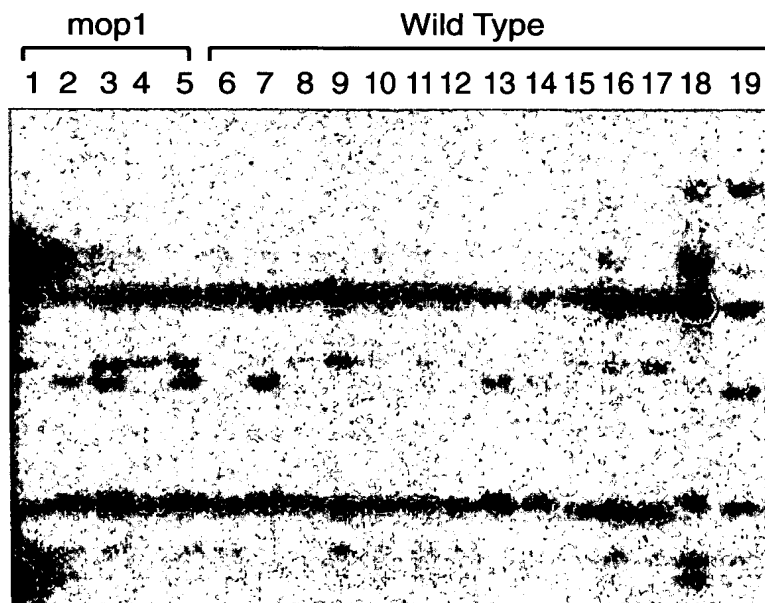


**FIG. 13C**

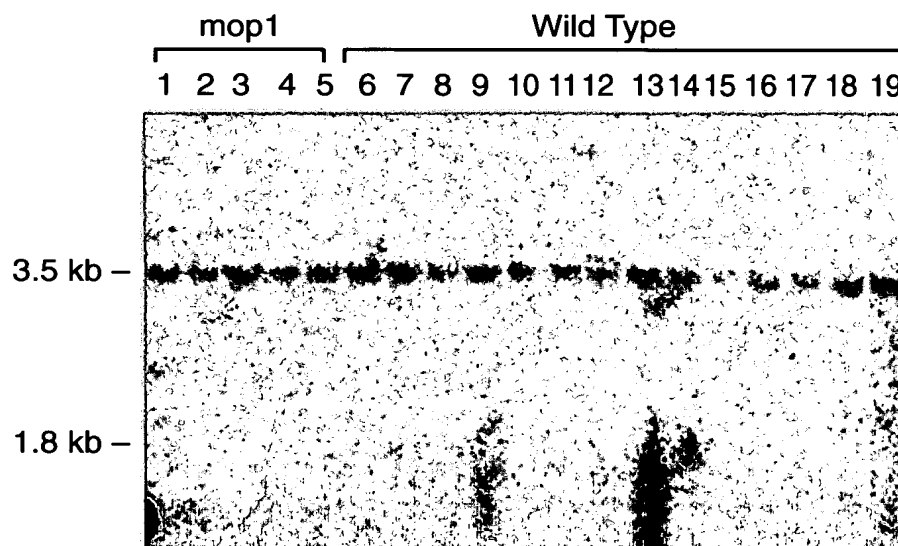




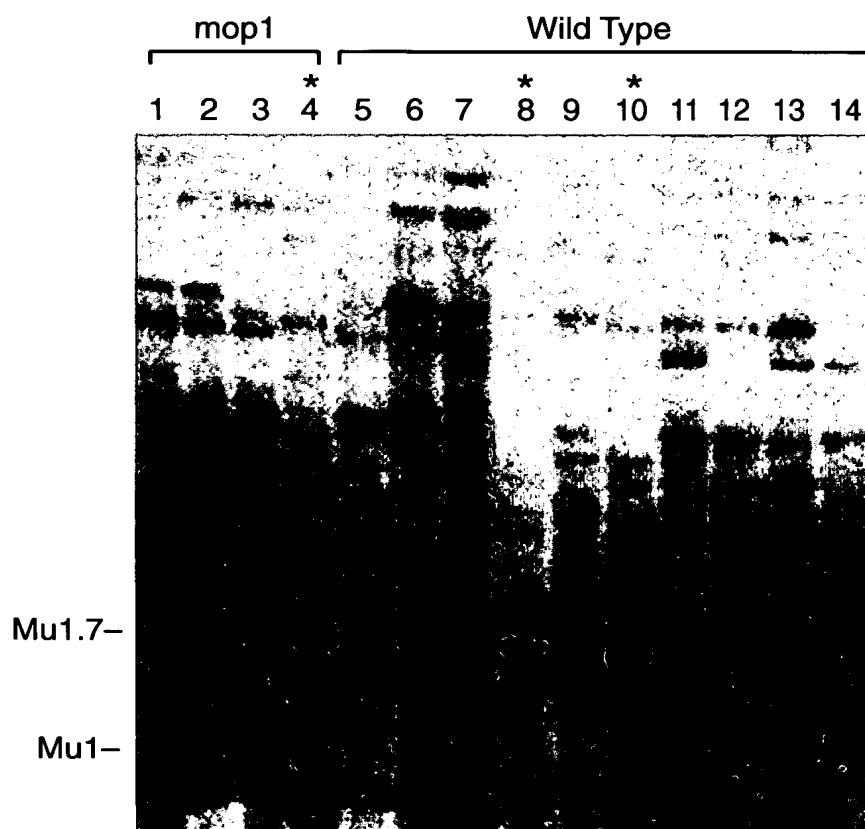
**FIG. 14A**



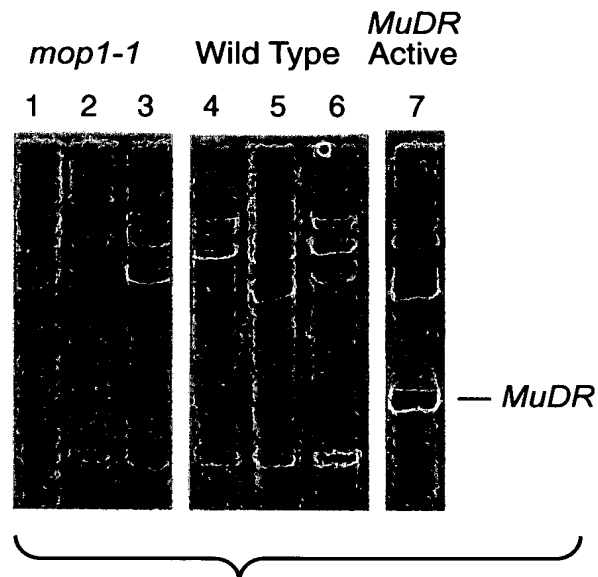
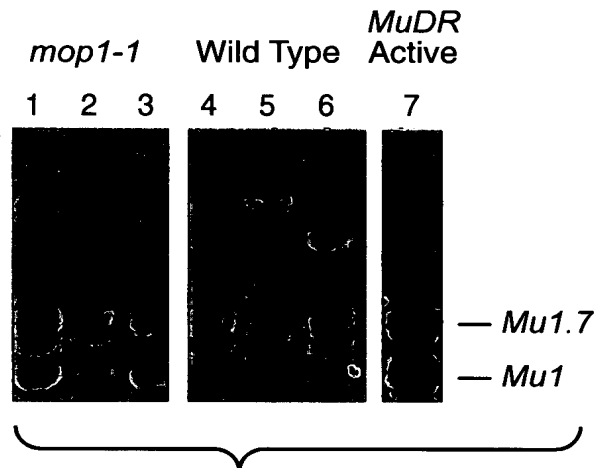
**FIG. 14B**

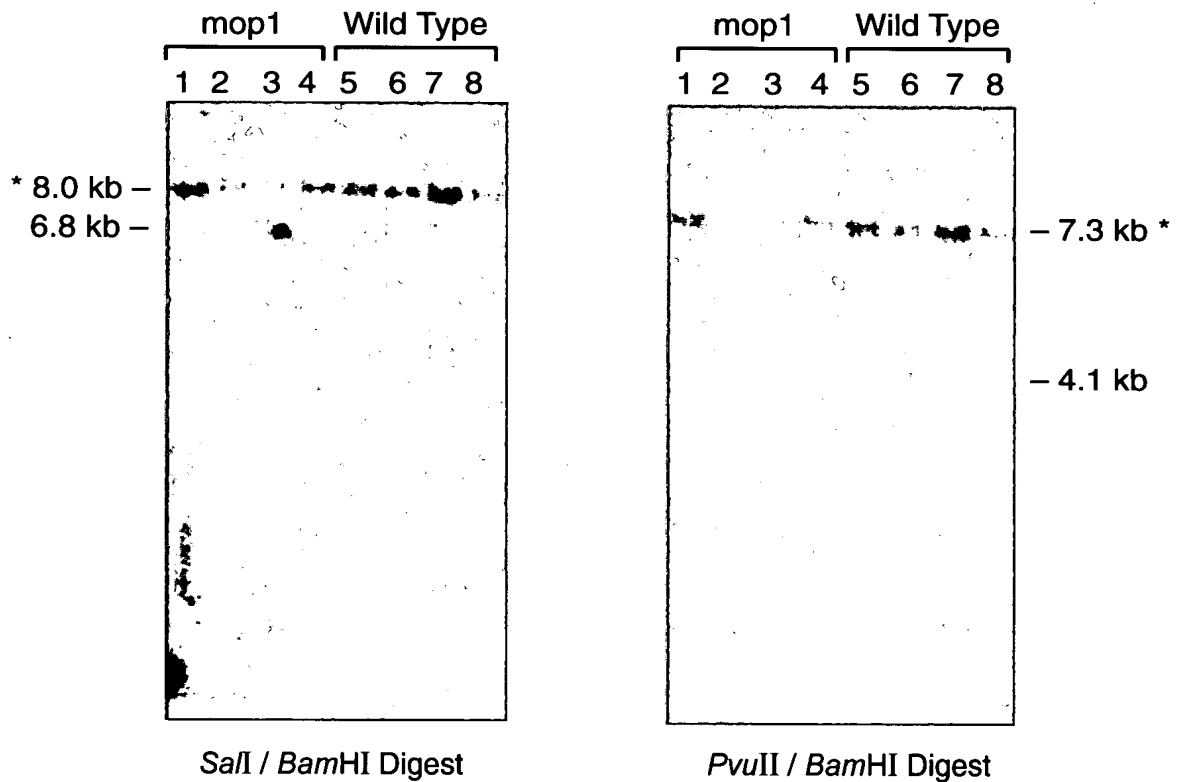
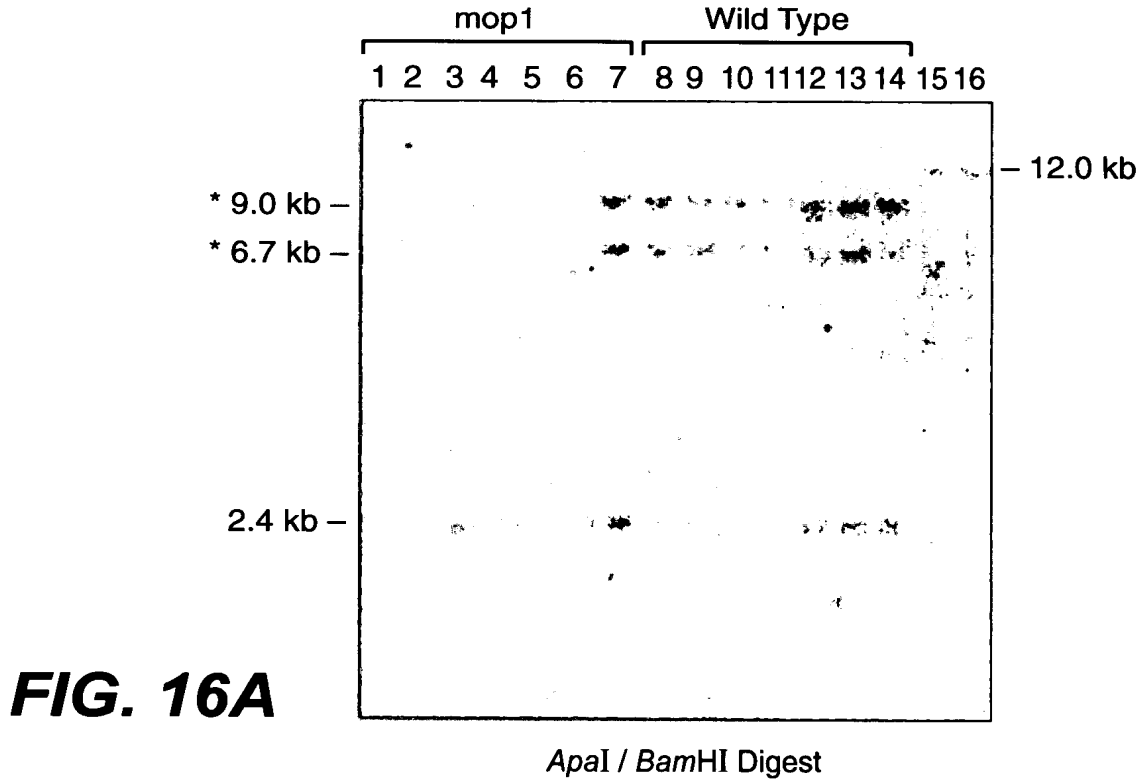


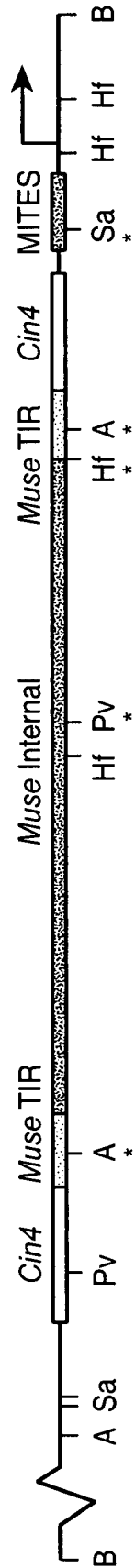
**FIG. 14C**



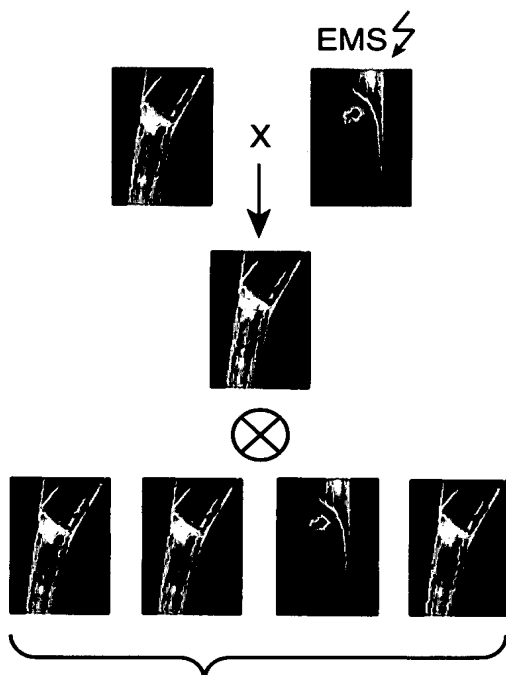
**FIG. 14D**



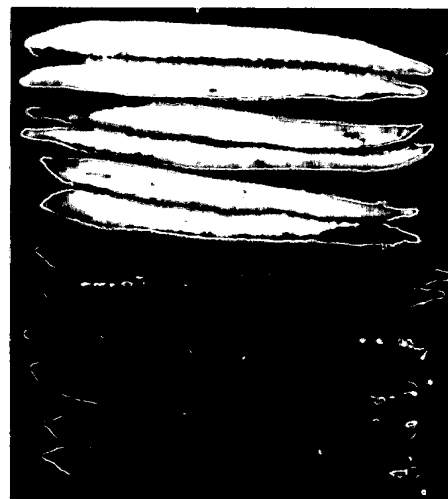




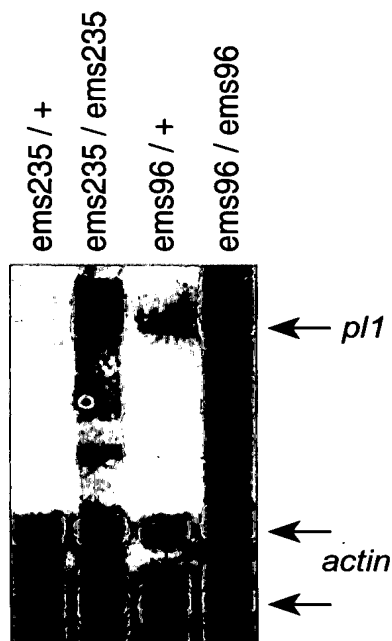
**FIG. 16D**



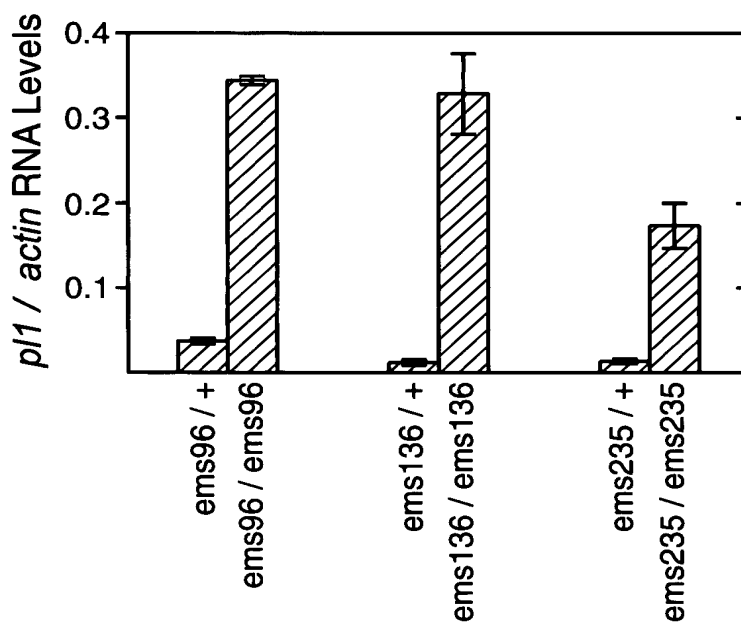
**FIG. 17**



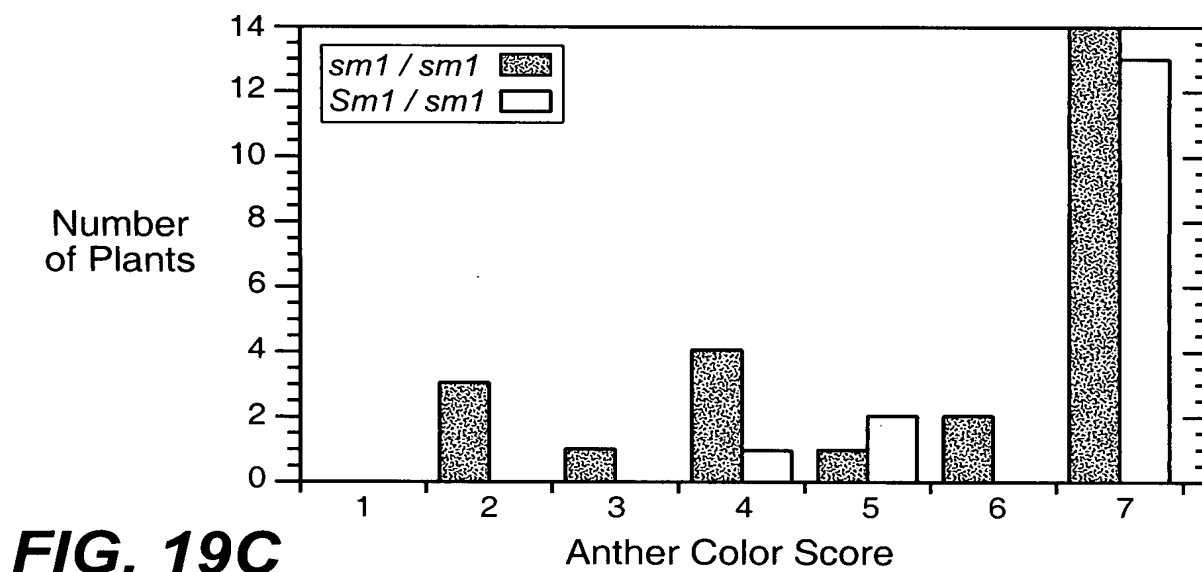
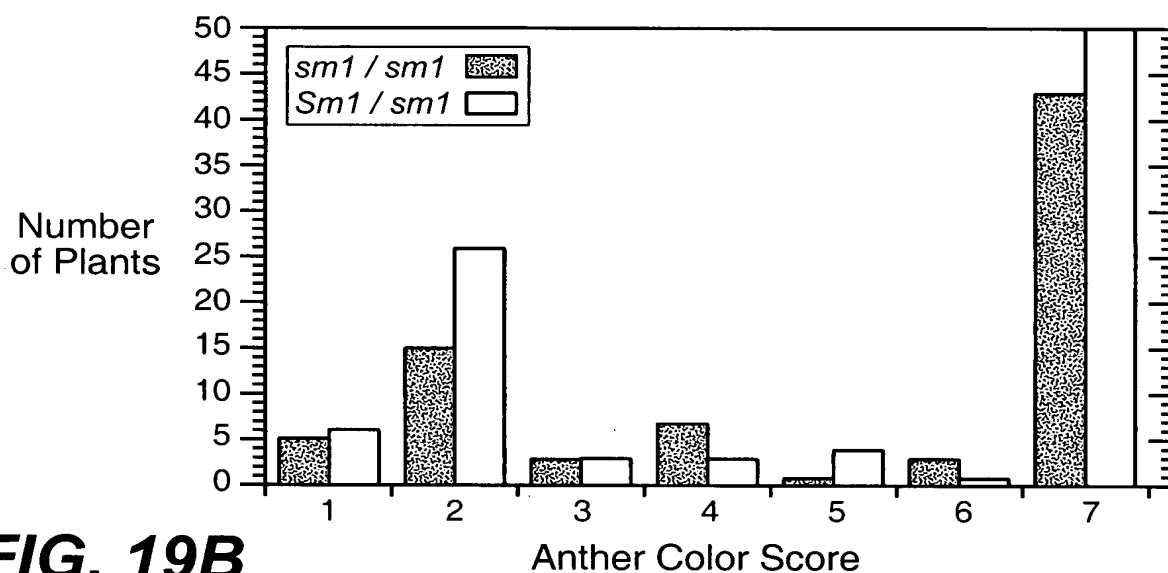
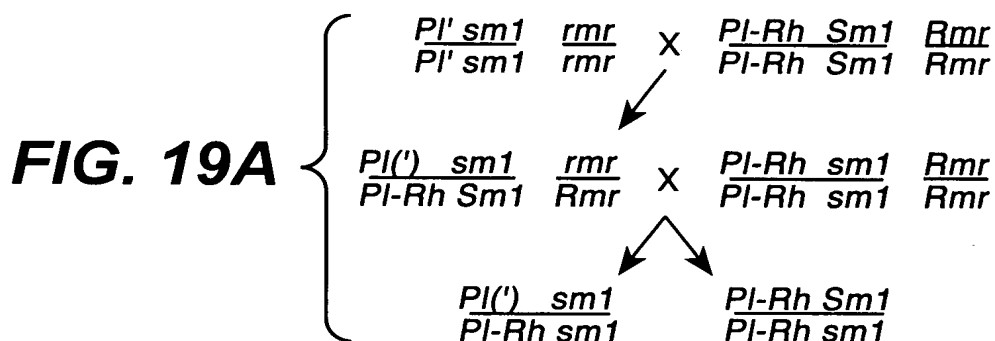
**FIG. 18A**

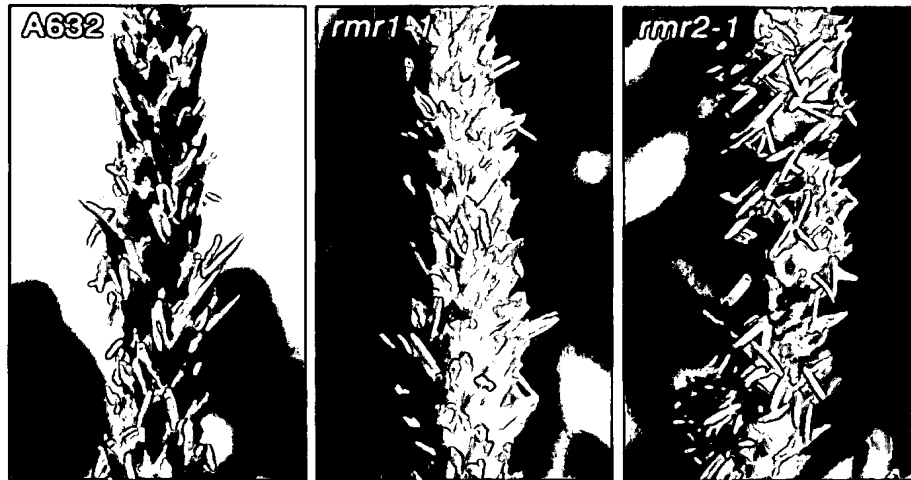


**FIG. 18B**

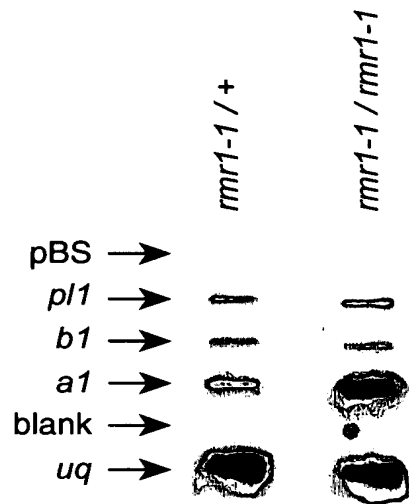


**FIG. 18C**



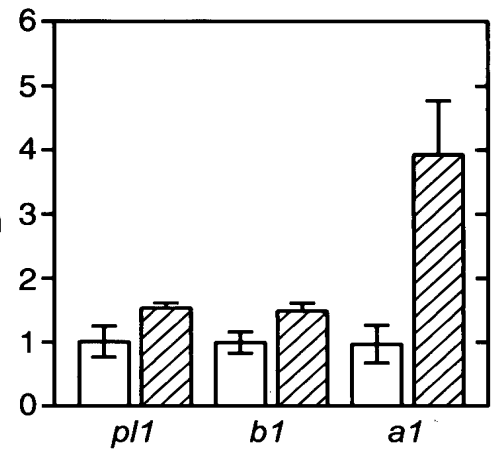


**FIG. 20**

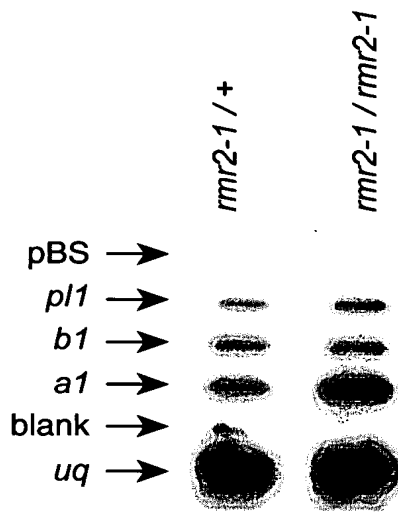


**FIG. 21A**

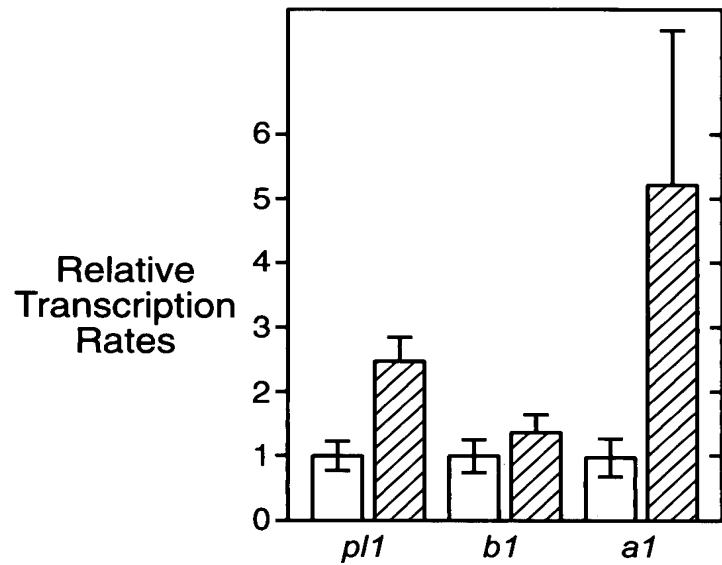
Relative  
Transcription  
Rates



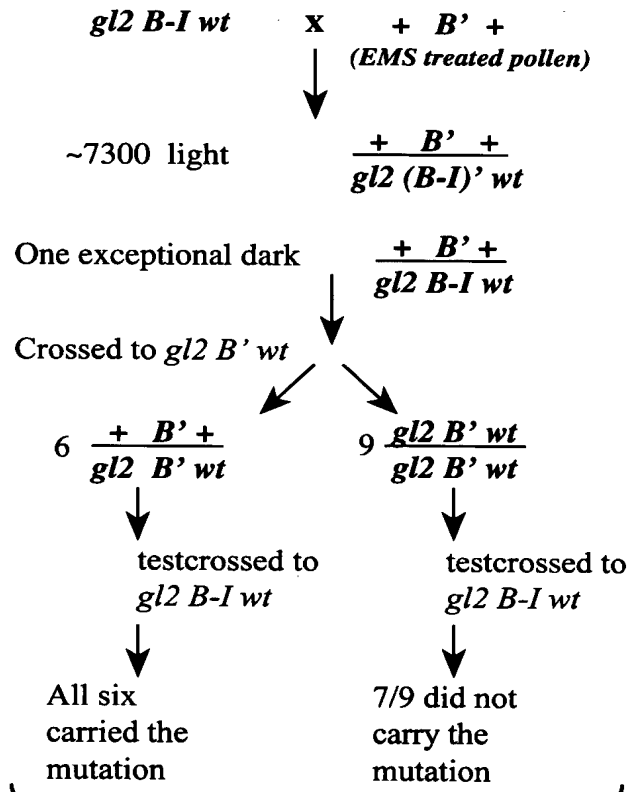
**FIG. 21B**



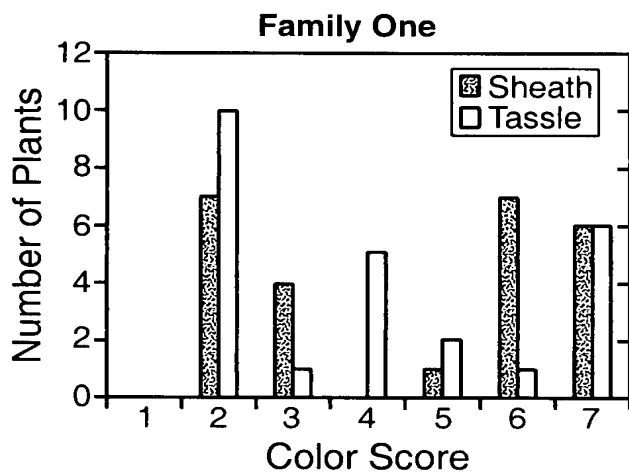
**FIG. 22A**



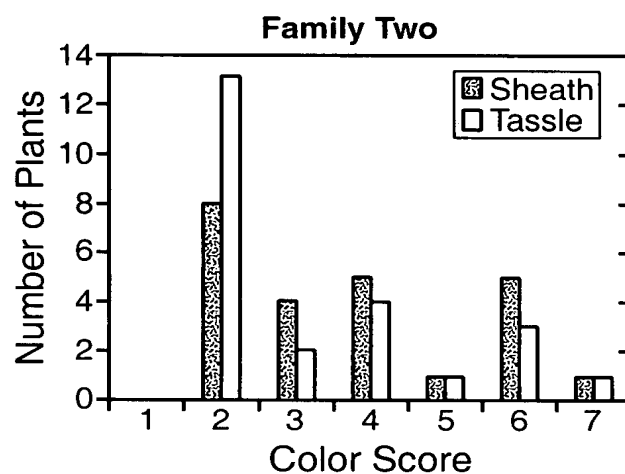
**FIG. 22B**



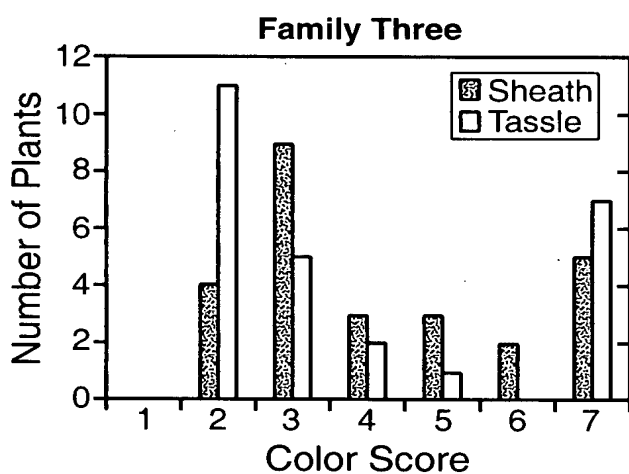
**FIG. 23**



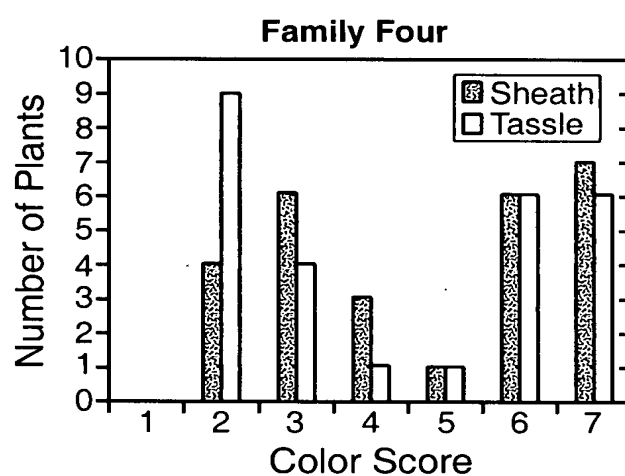
**FIG. 24A**



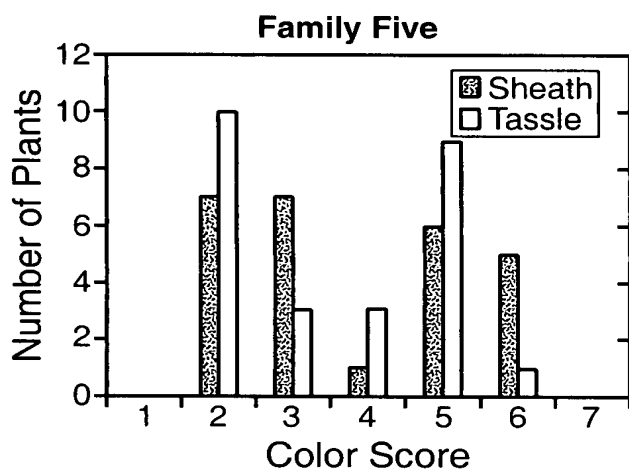
**FIG. 24B**



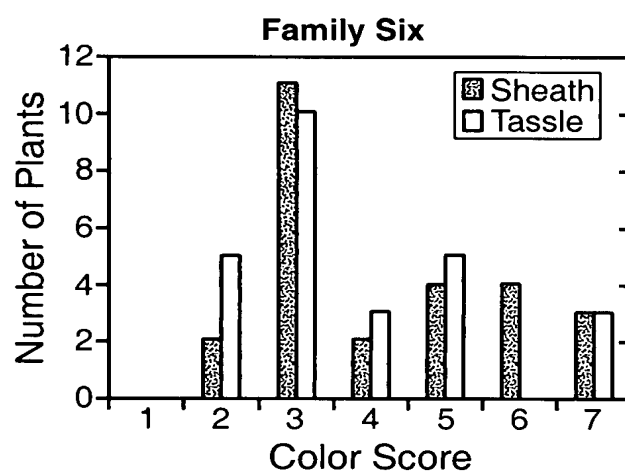
**FIG. 24C**



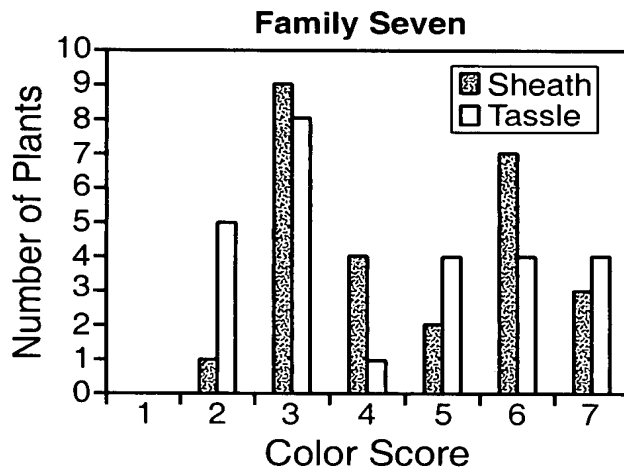
**FIG. 24D**



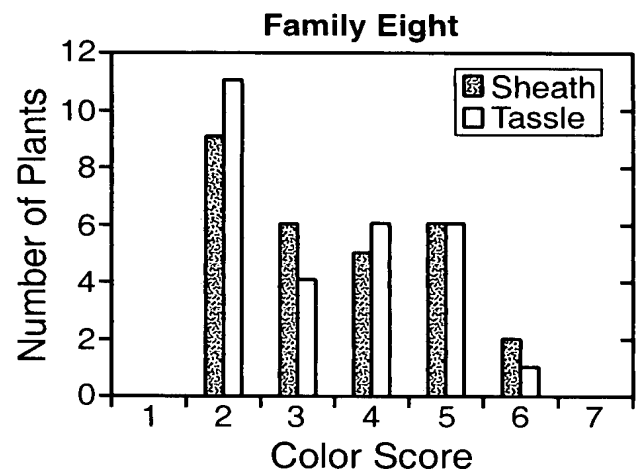
**FIG. 24E**



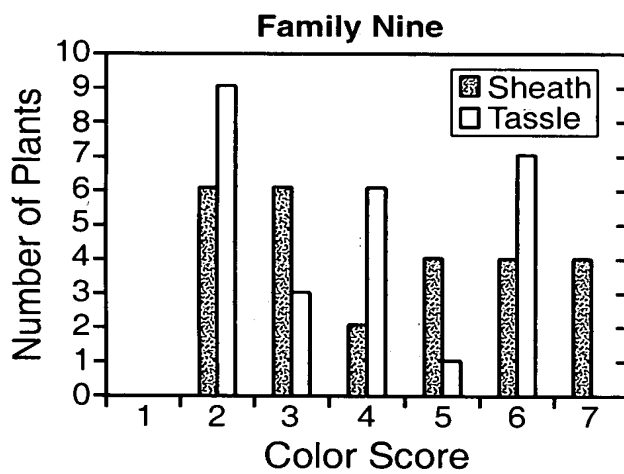
**FIG. 24F**



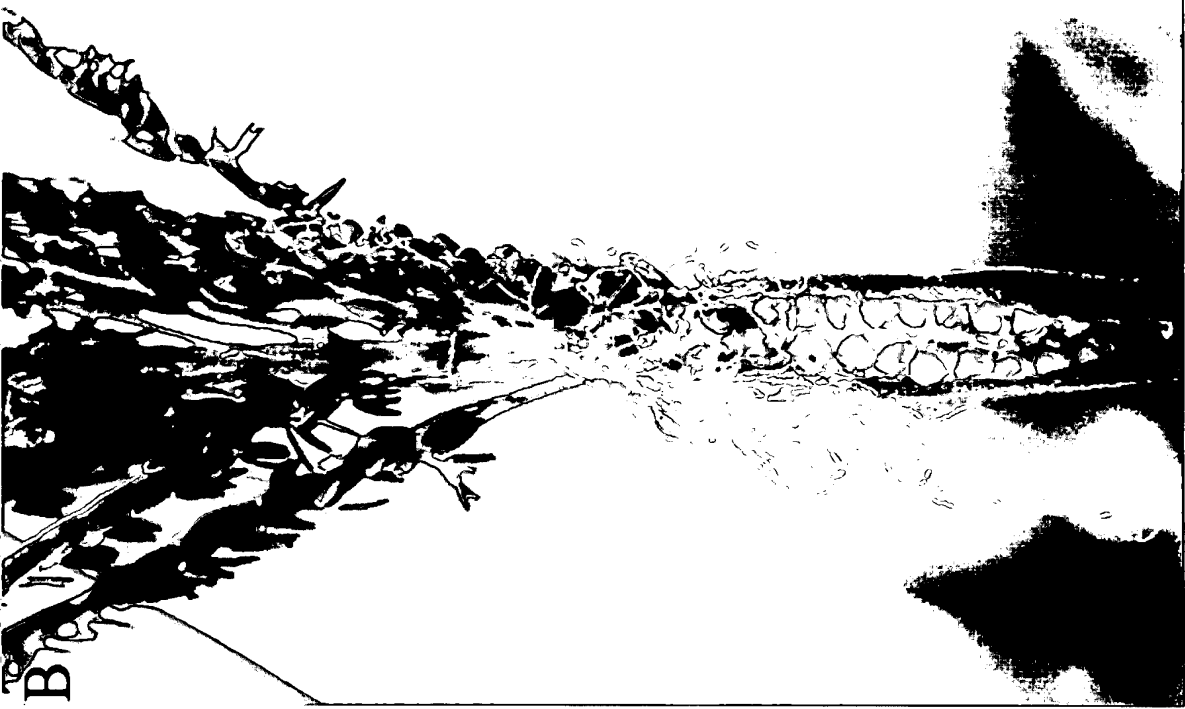
**FIG. 24G**



**FIG. 24H**



**FIG. 24I**

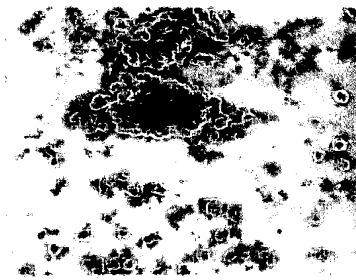


**FIG. 25B**

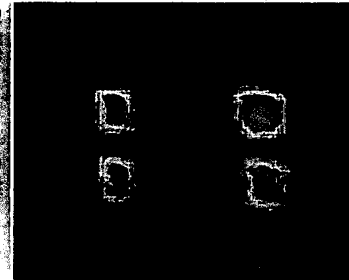


**FIG. 25A**

CC2343 Dark  
 CC2343 Dark  
 CC2343 Light  
 CC2343 Light



↑  
*b1* RNA



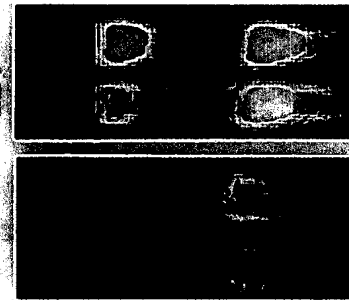
↑  
 EtBr  
 Stained  
 Gel

**FIG. 26C**

*mop1-1* / +  
*mop1-1* / *mop1-1*  
*mop3-1* / +  
*mop3-1* / *mop3-1*



↑  
*b1* RNA



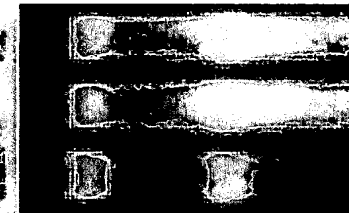
↑  
 EtBr  
 Stained  
 Gel

**FIG. 26B**

*Mop2-1* / *Mop2-1*  
*Mop2-1* / *Mop2-1*  
*Mop2-1* / +



↑  
*b1* RNA



↑  
 EtBr  
 Stained  
 Gel

**FIG. 26A**

**FIG. 27A**



**FIG. 27B**



**FIG. 27C**



**FIG. 27D**

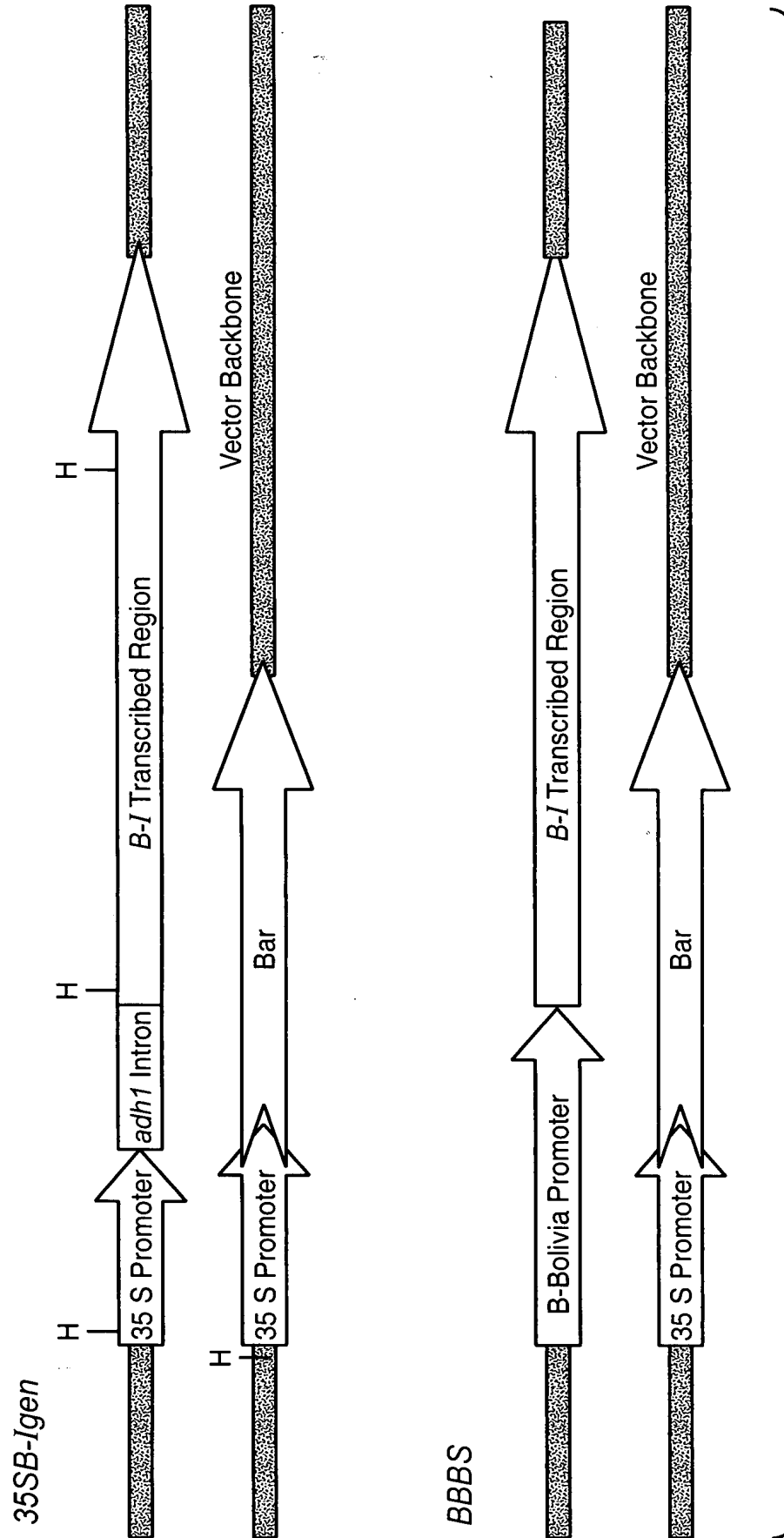


**FIG. 27E**



**FIG. 27F**





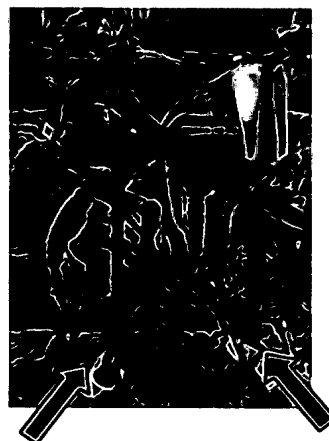
**FIG. 28**

**FIG. 29A**



*B' Mop2-1 / mop2*    *B' Mop2-1 / Mop2-1*  
 35SB-I

**FIG. 29B**



*rmr2-1 / rmr2-1*    *Rmr2 / rmr2-1*  
 35SB-I

**FIG. 29C**



*B' mop1-1 / mop1-1*    *B' Mop1 / mop1-1*  
 35SB-I

**FIG. 29D**

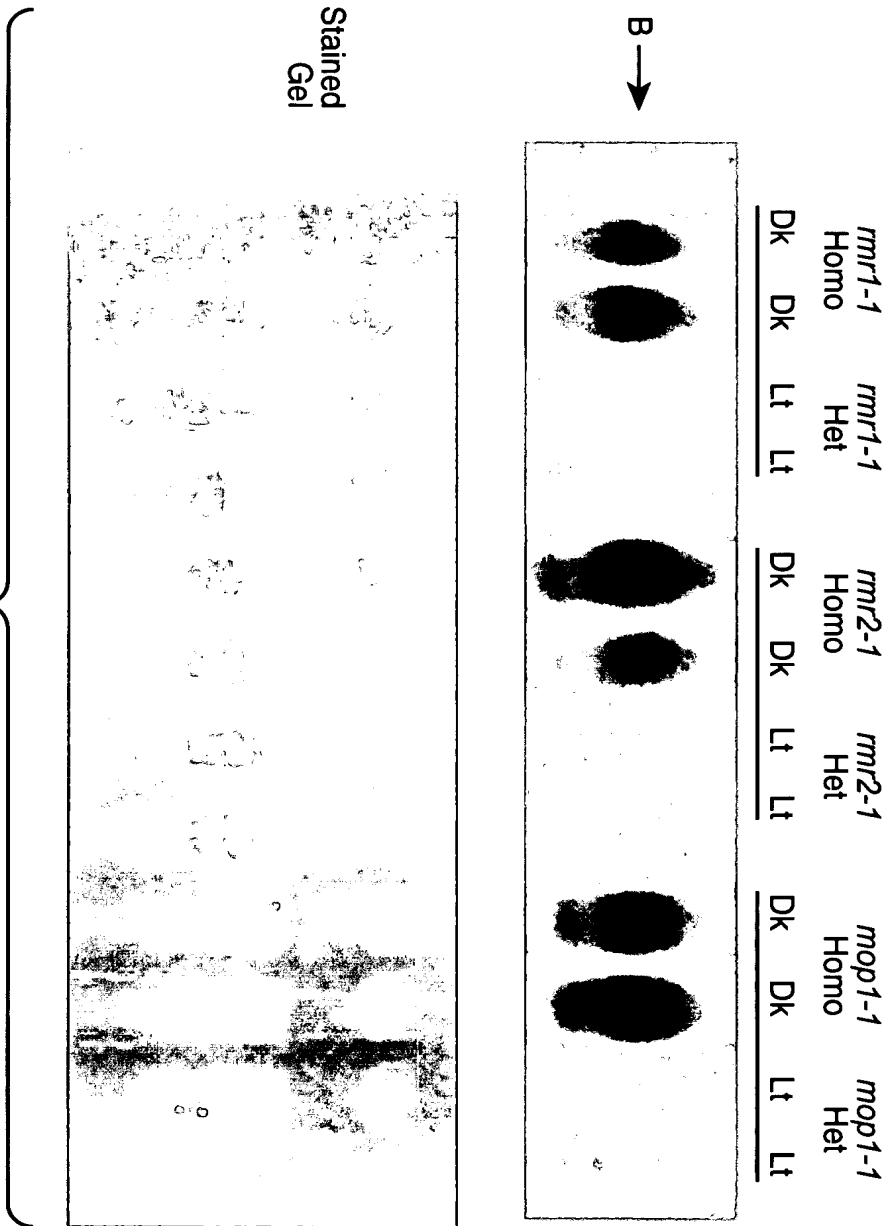


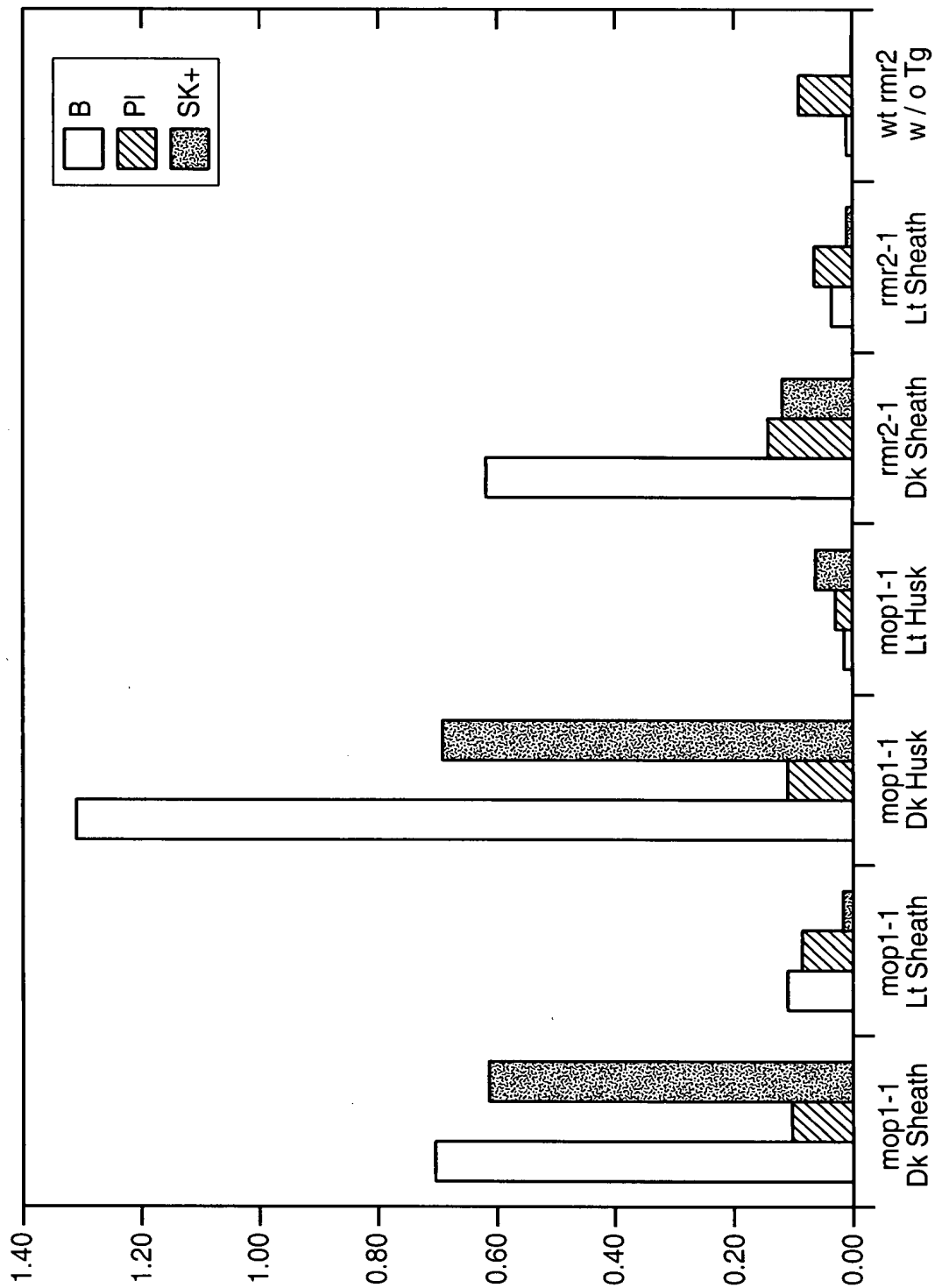
*rmr1-1 / rmr1-1*    *Rmr1 / rmr1-1*  
 35SB-I



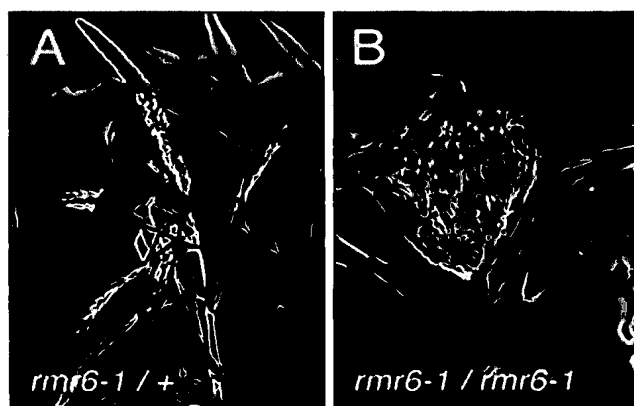
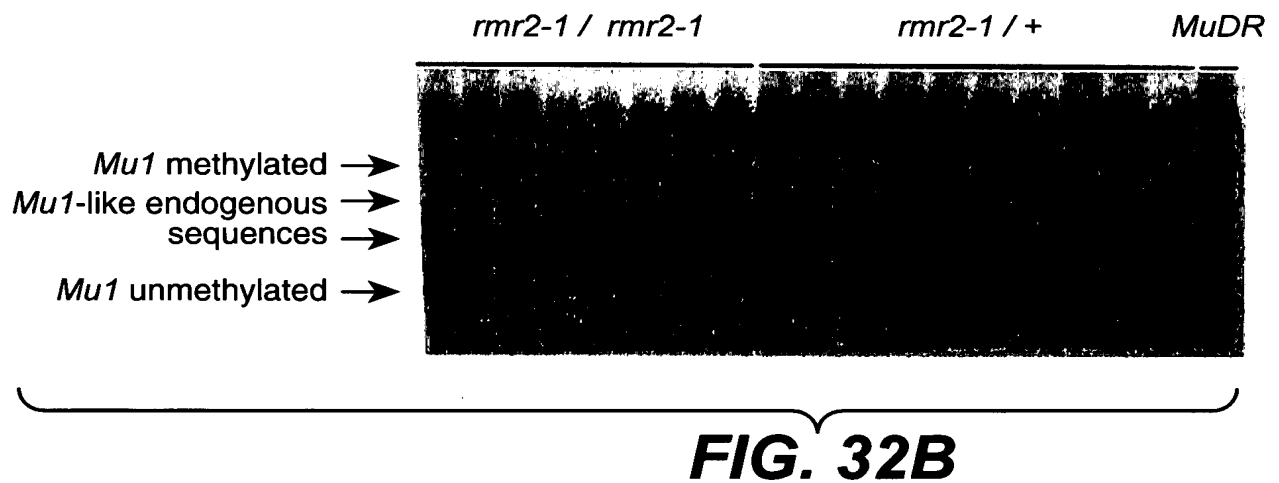
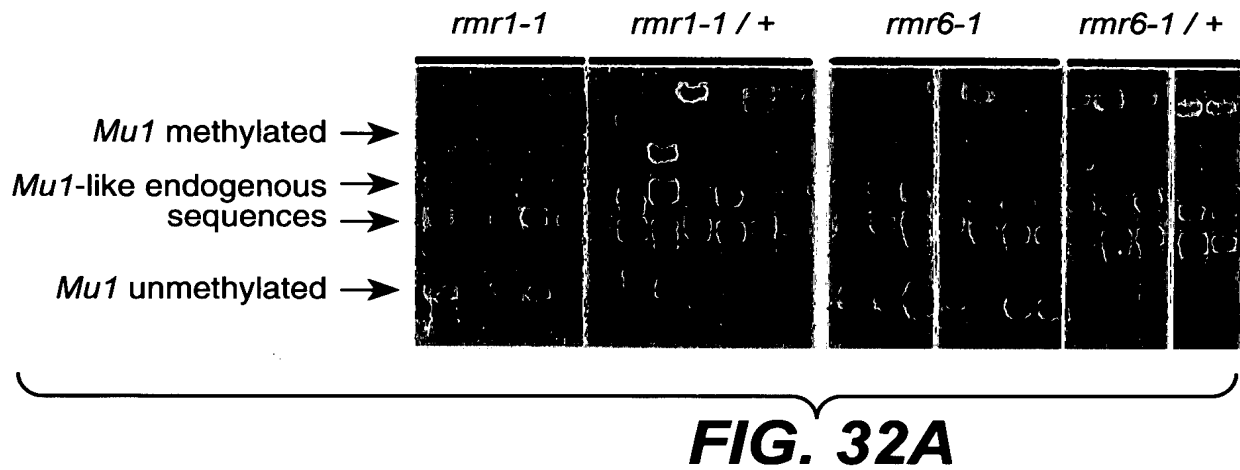
*Rmr2 / rmr2-1*    *rmr2-1 / rmr2-1*  
 BBBS

**FIG. 29E**

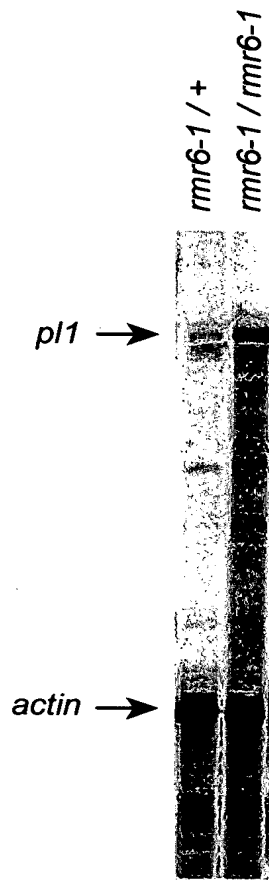




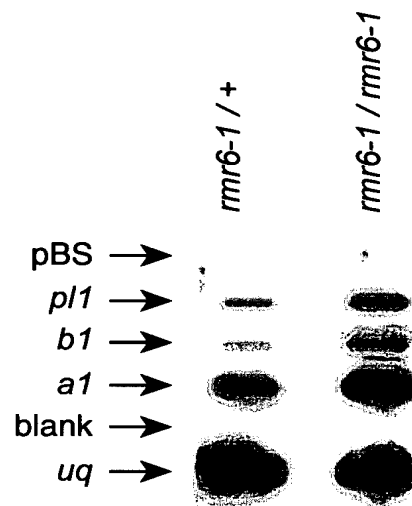
**FIG. 31**



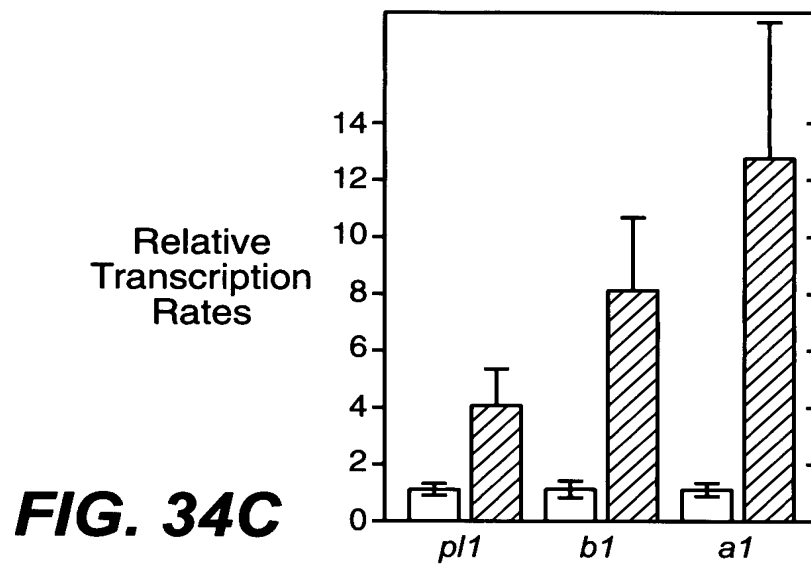
**FIG. 33A    FIG. 33B**



**FIG. 34A**



**FIG. 34B**

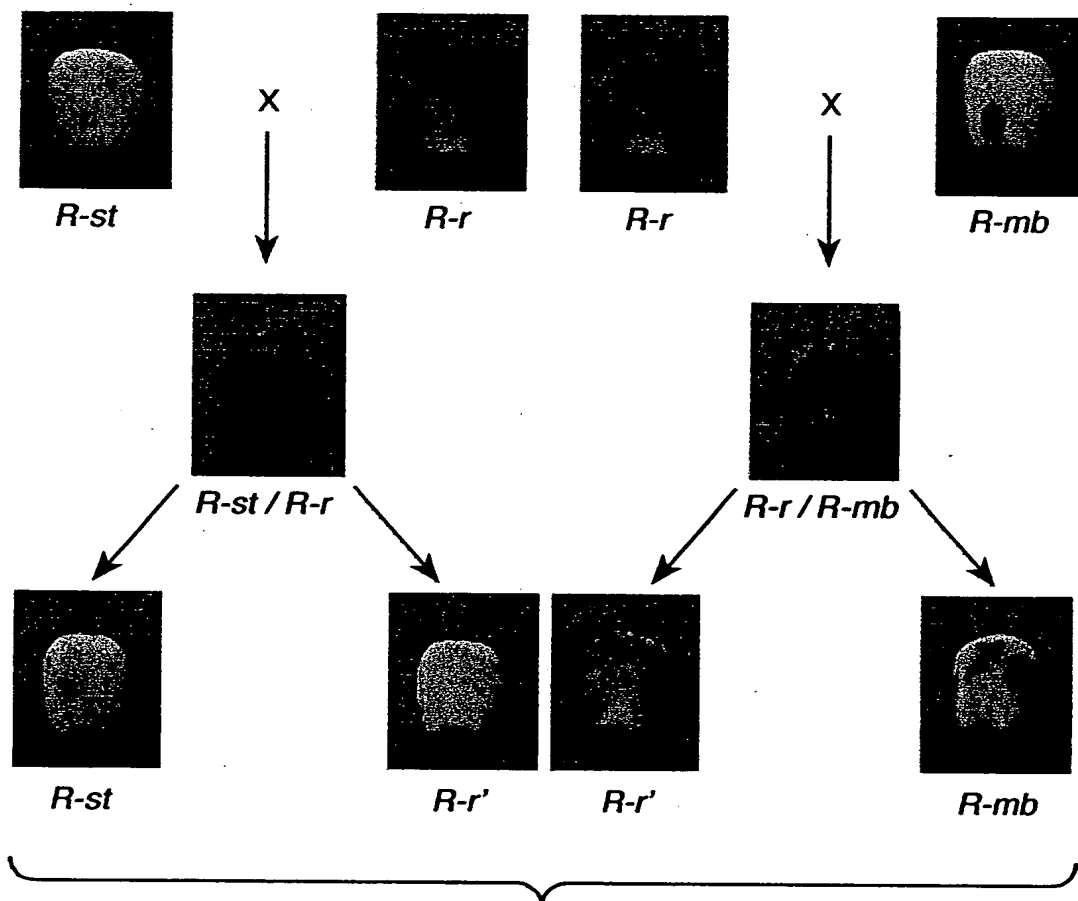


**FIG. 34C**

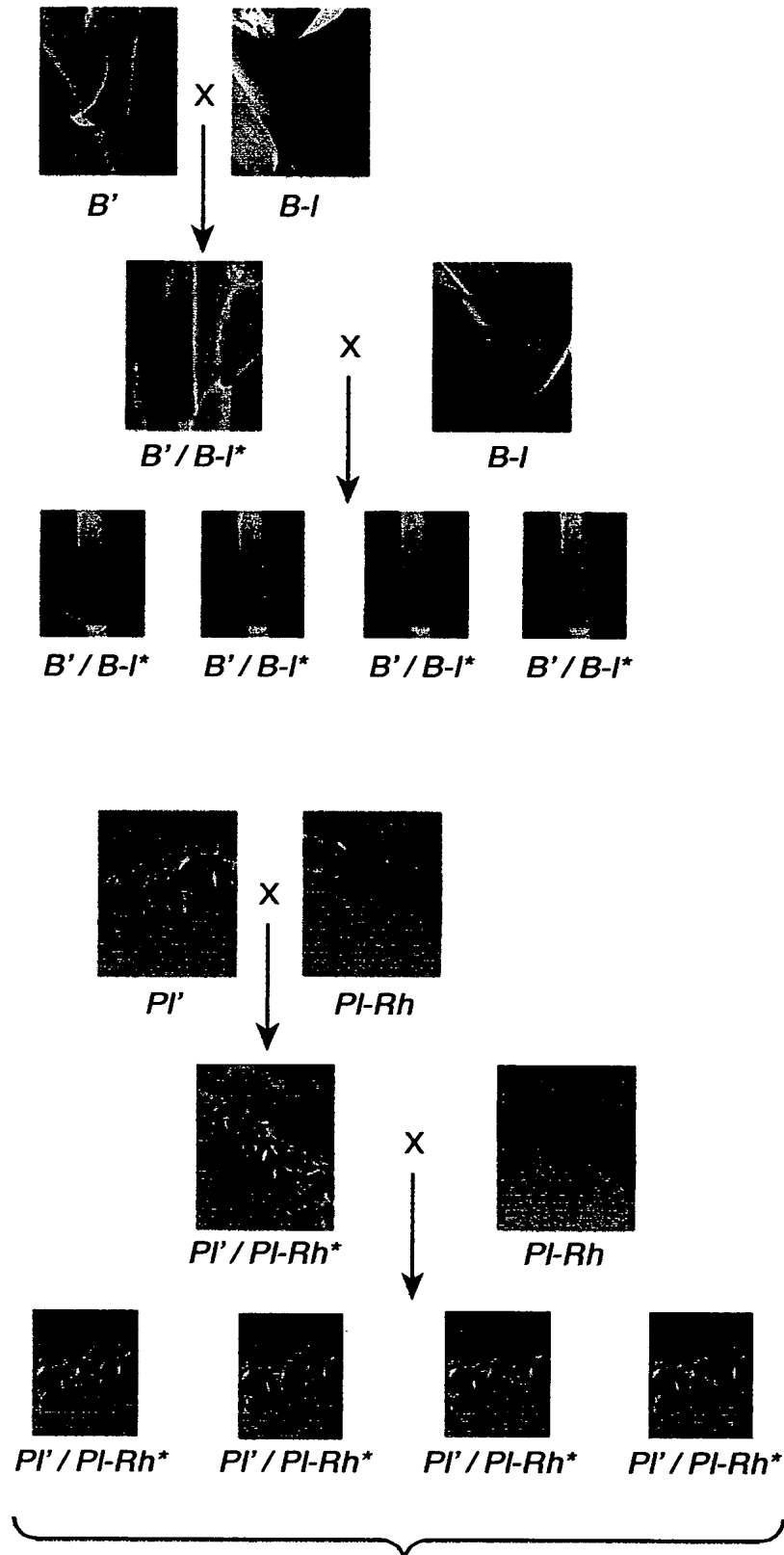


041607

1 / 32

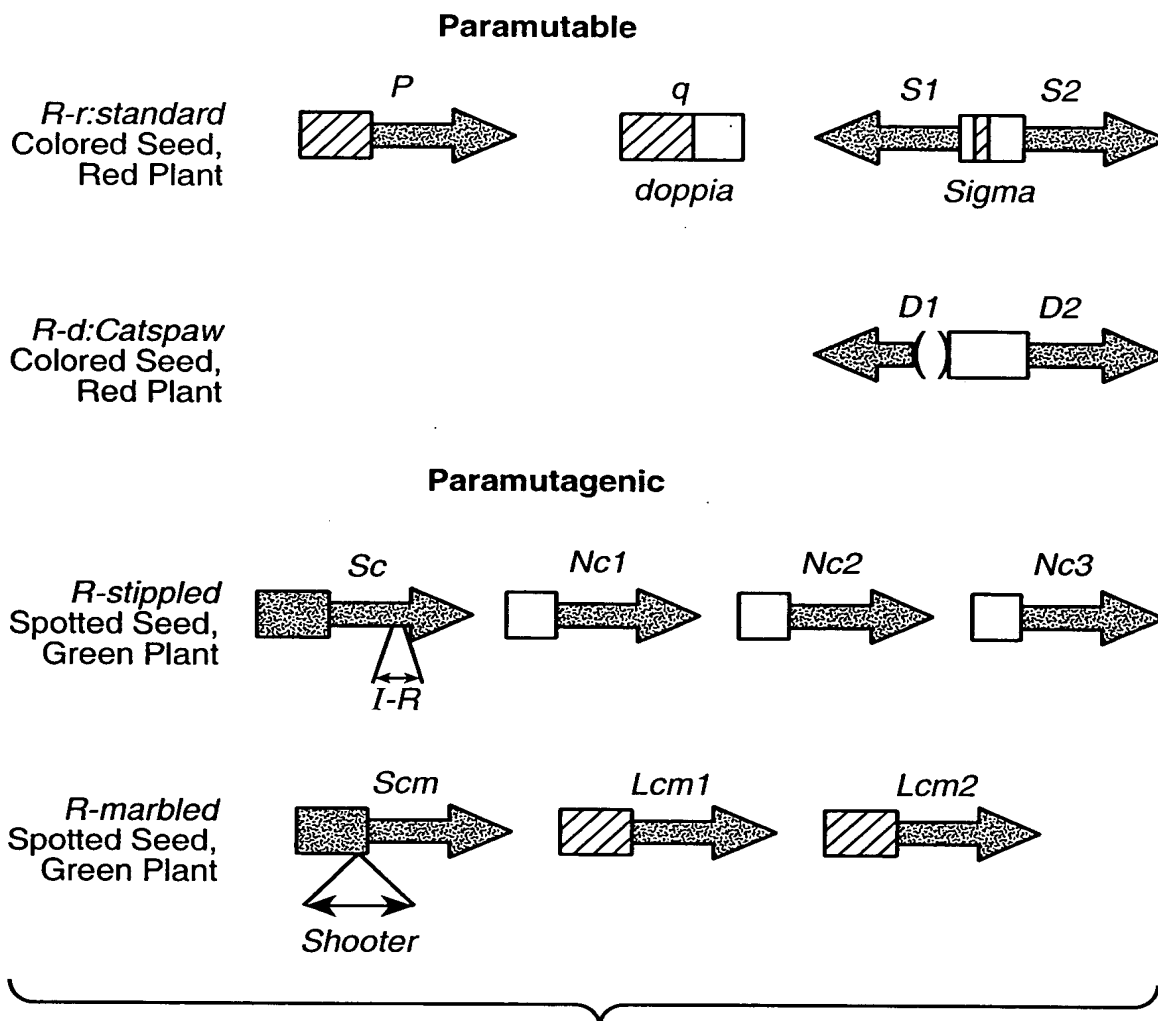


2 / 32

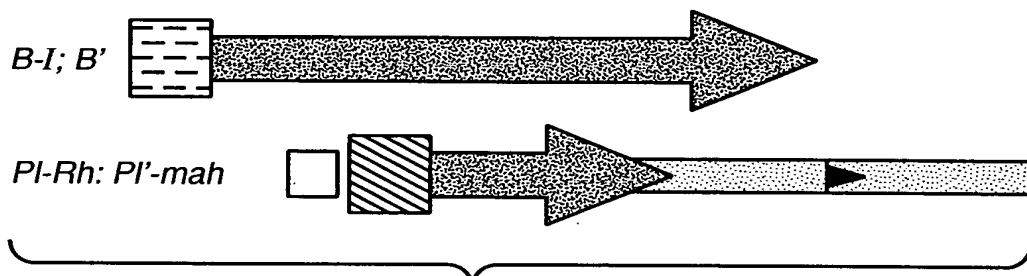


**FIG. 1B**

3 / 32



**FIG.\_2A**

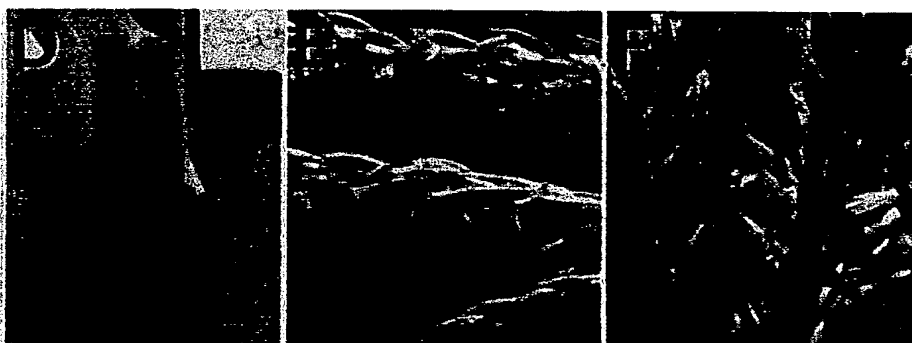
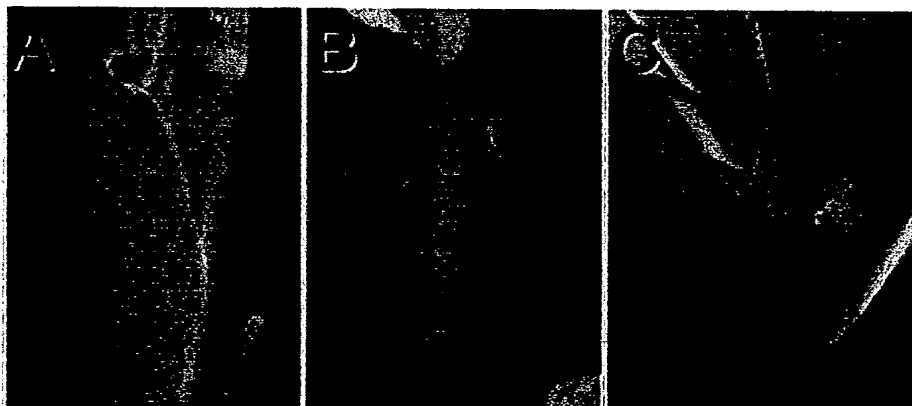


**FIG.\_2B**

4 / 32

**FIG.\_3A FIG.\_3B FIG.\_3C**

*B' Mop1 / mop1-1 B' mop1-1 / mop1-1 B-I Mop1 / Mop1*



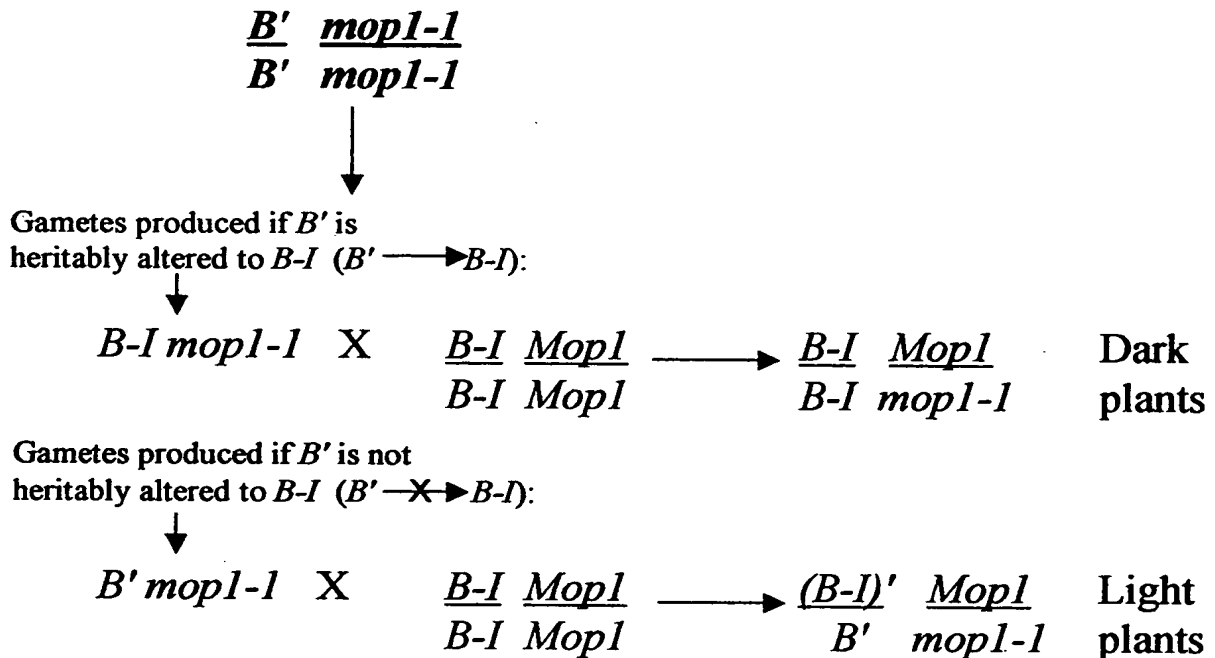
*B' Sectors in a  
B' mop1-1 Plant*

*Pl' Mop1 / -*

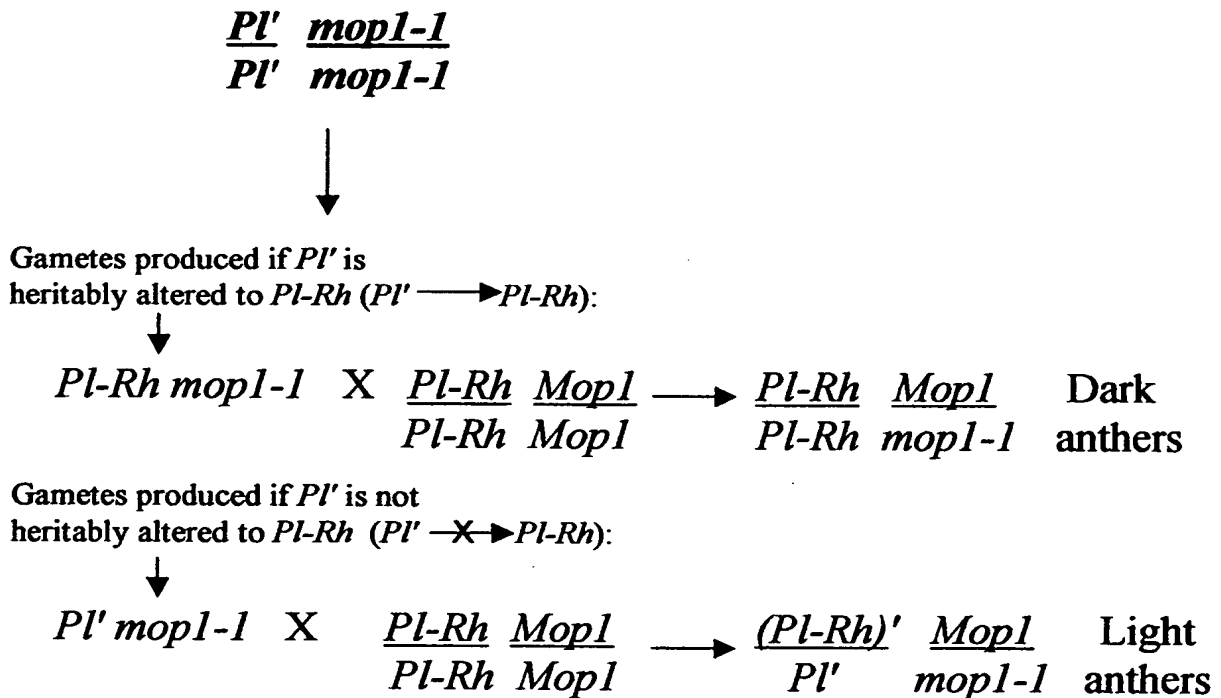
*Pl' mop1-1 / mop1-1*

**FIG.\_3D FIG.\_3E FIG.\_3F**

5 / 32

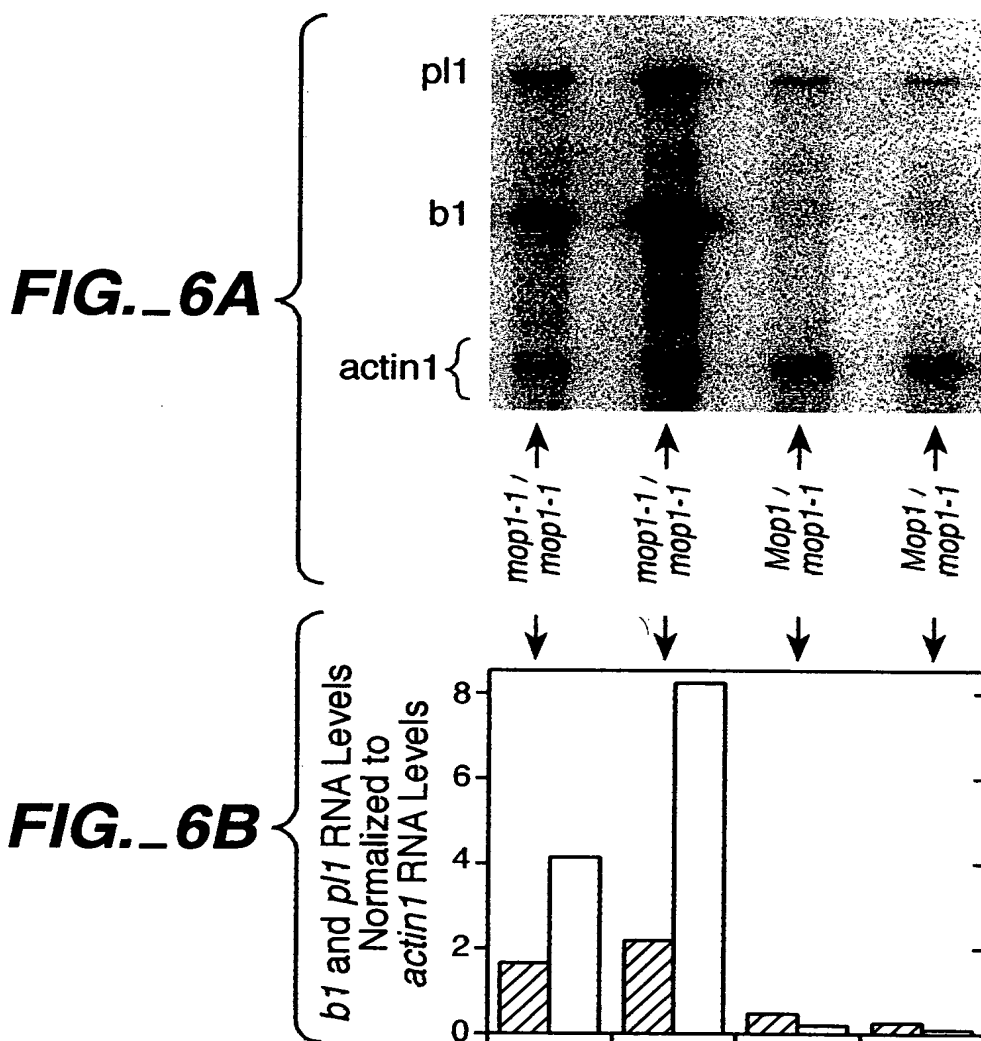
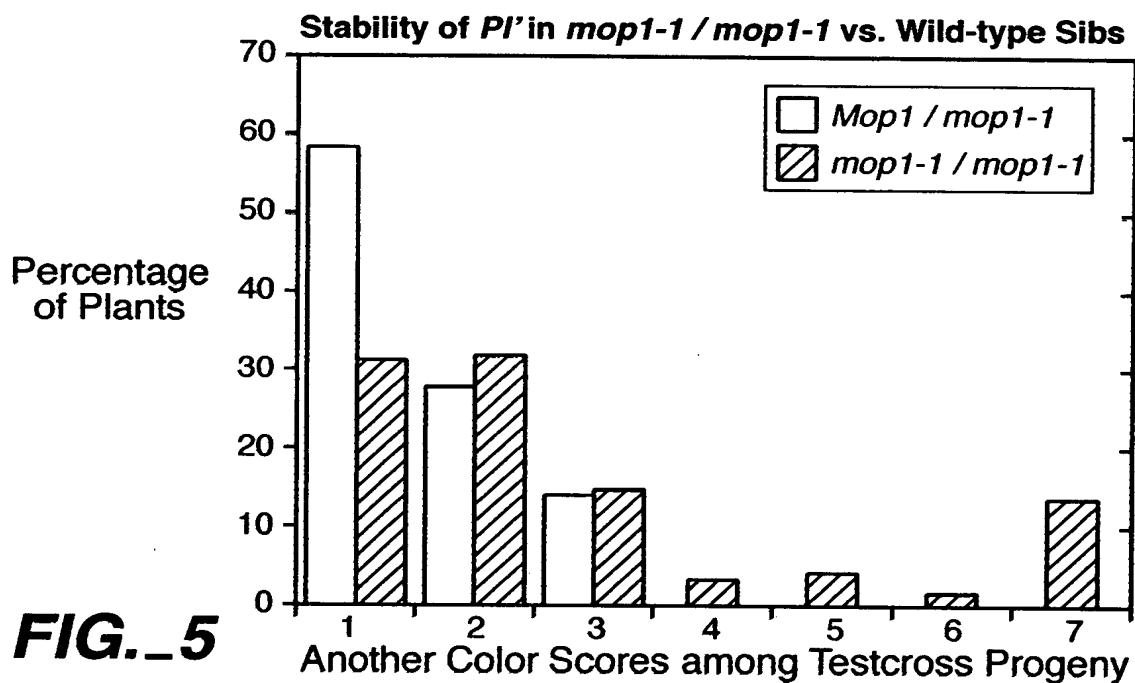


**FIG. 4A**



**FIG. 4B**

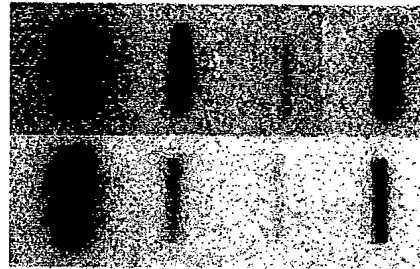
6 / 32



7 / 32

*mop1-1 / mop1-1*

*Mop1 / mop1-1*

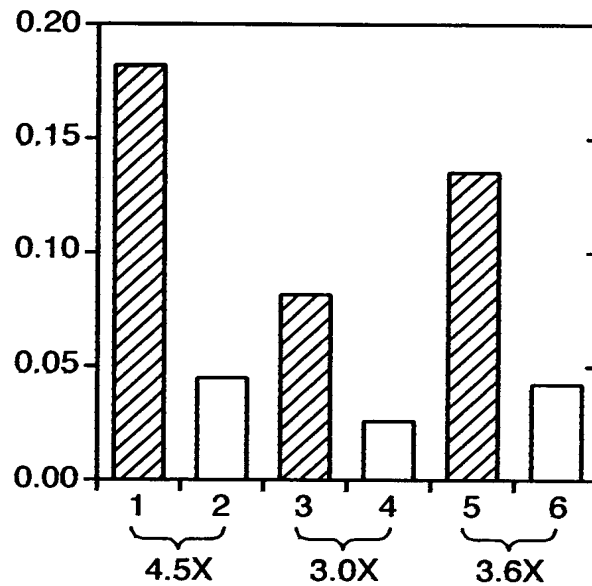


**FIG.\_7A**

*ubiquitin2 b1 SK+ c2*

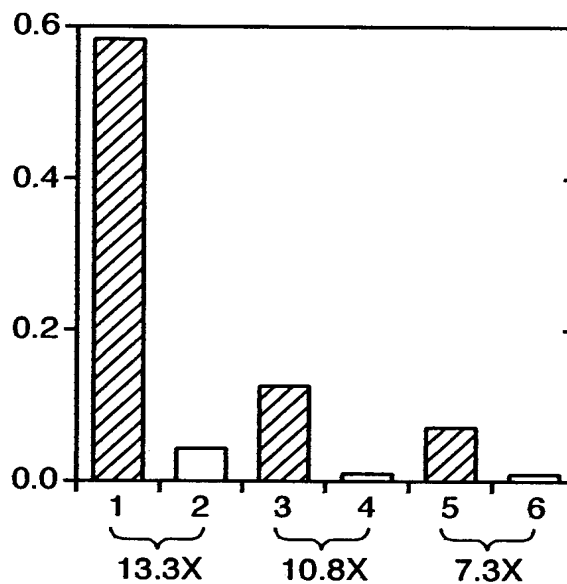
*b1* Transcription Rate  
 Normalized to  
*ubiquitin2*  
 Transcription Rate

**FIG.\_7B**



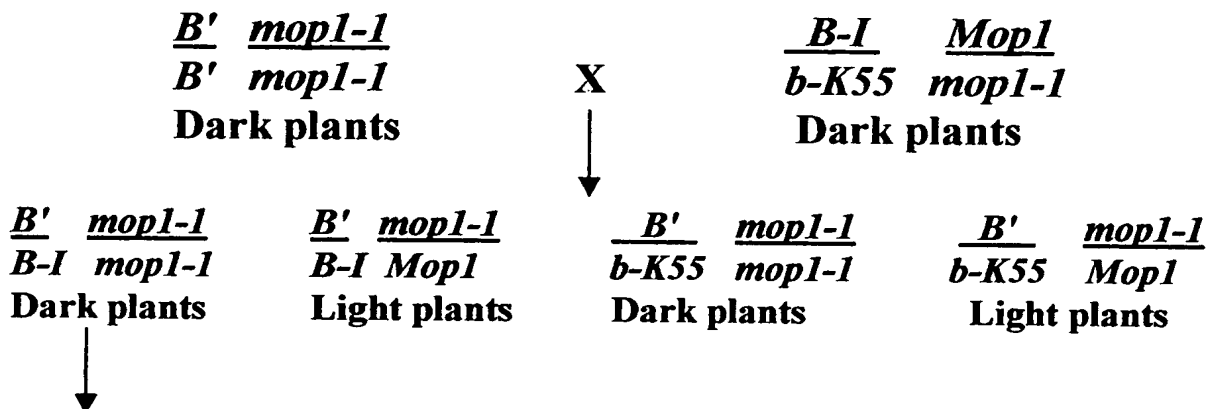
*b1* RNA Level  
 Normalized to  
*ubiquitin2*  
 RNA Level

**FIG.\_7C**





9 / 32



Testcross (by *B-Peru/B-I Mop1/Mop1* tester—diagram shows only *B-Peru* gametes of tester)

Gametes produced if paramutation  
 is prevented ( $B-I \nrightarrow B'$ ):

50%  $B' mop1-1$  X *B-Peru Mop1* →  $\frac{B'}{B-Peru} \frac{mop1-1}{Mop1}$  Light plants

50%  $B-I mop1-1$  X *B-Peru Mop1* →  $\frac{B-I}{B-Peru} \frac{mop1-1}{Mop1}$  Dark plants

Gametes produced if paramutation  
 occurred ( $B-I \rightarrow B'$ ):

100%  $B' mop1-1$  X *B-Peru Mop1* →  $\frac{B'}{B-Peru} \frac{mop1-1}{Mop1}$  Light plants

**FIG.\_9**

10 / 32

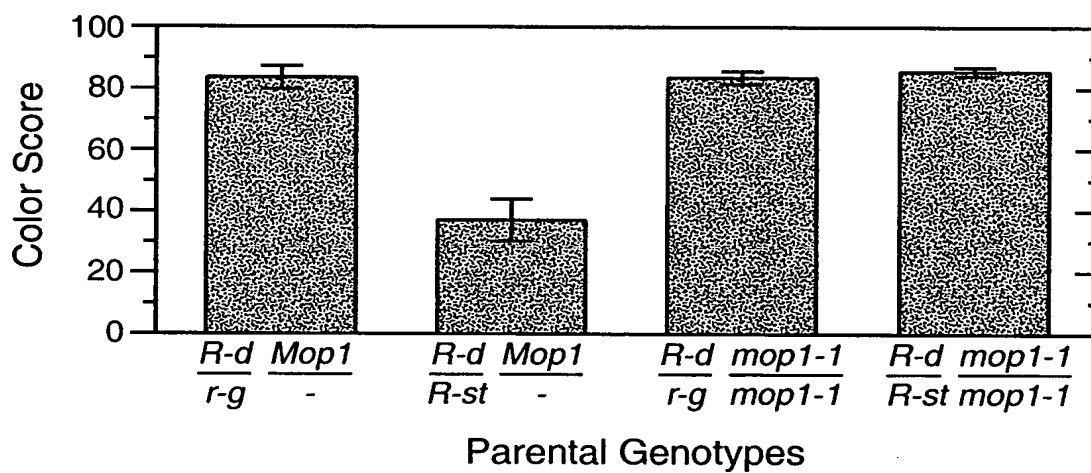
$\frac{R-st}{r-g} \frac{B-bar}{B'} \frac{pl-sr}{Pl'} \frac{Mop1}{mop1-1}$ 
 $\times$ 
 $\frac{R-d}{r-g} \frac{B-bar}{B'} \frac{pl-sr}{Pl'} \frac{Mop1}{mop1-1}$



Four genotypes of interest among *R-d/- Pl'/-* progeny:

$\frac{3}{16}$	$\frac{R-d}{r-g}$	$\frac{Mop1}{-}$	Light plant
$\frac{3}{16}$	$\frac{R-d}{R-st}$	$\frac{Mop1}{-}$	Light plant
$\frac{1}{16}$	$\frac{R-d}{r-g}$	$\frac{mop1-1}{mop1-1}$	Dark plant
$\frac{1}{16}$	$\frac{R-d}{R-st}$	$\frac{mop1-1}{mop1-1}$	Dark plant

**FIG. 10A**



**FIG. 10B**

11 / 32

**FIG.\_11A**



**FIG.\_11B**



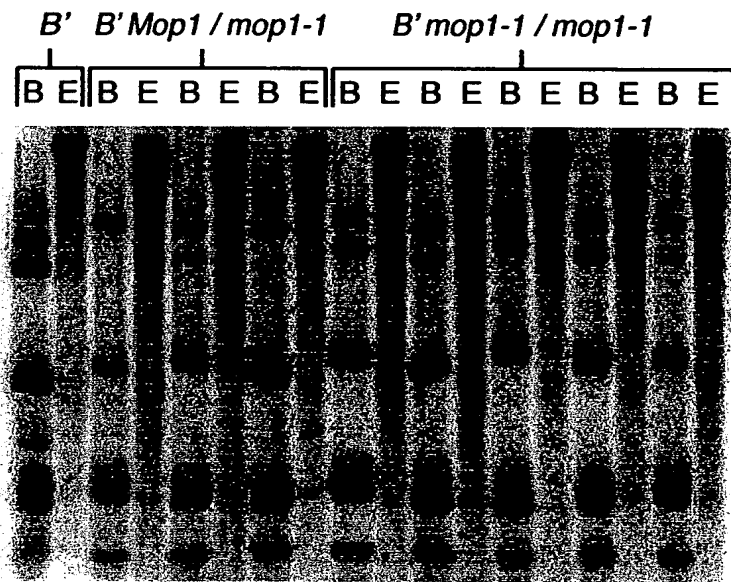
**FIG.\_11C**



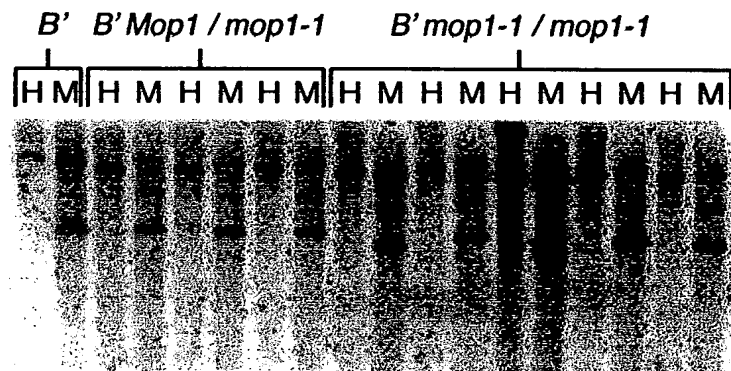
**FIG.\_11D**



**FIG.\_12A**

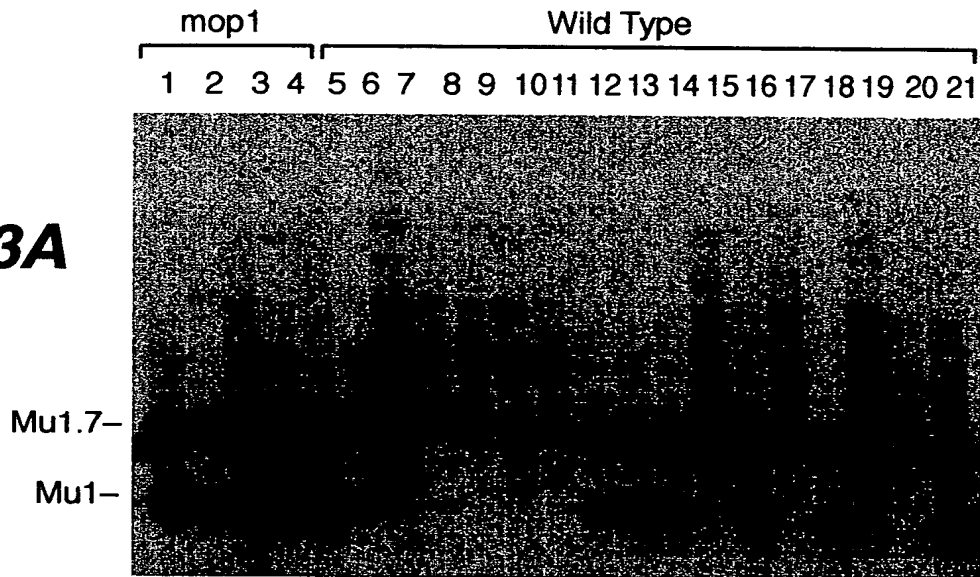


**FIG.\_12B**

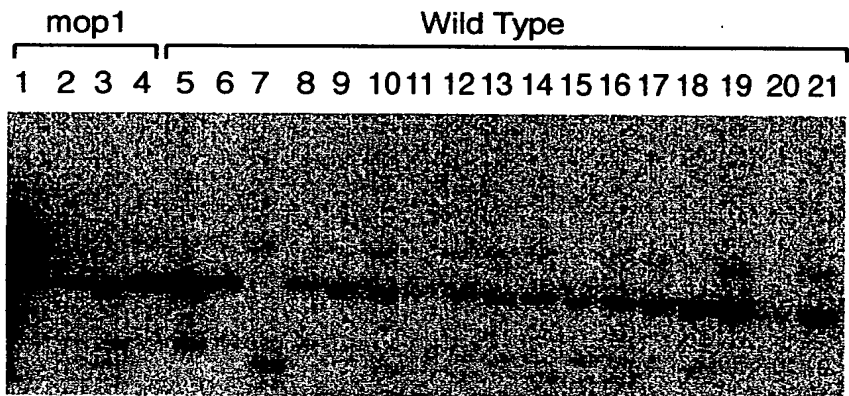


12 / 32

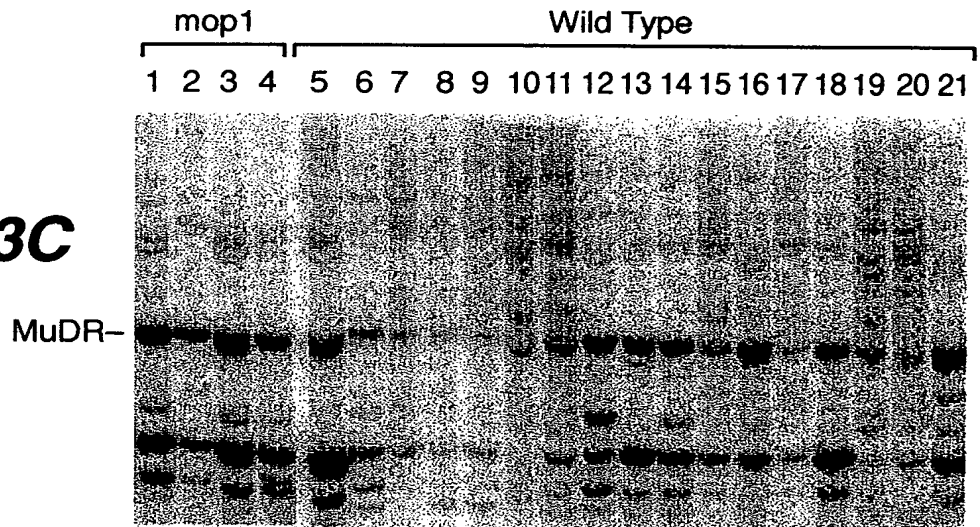
**FIG.\_13A**



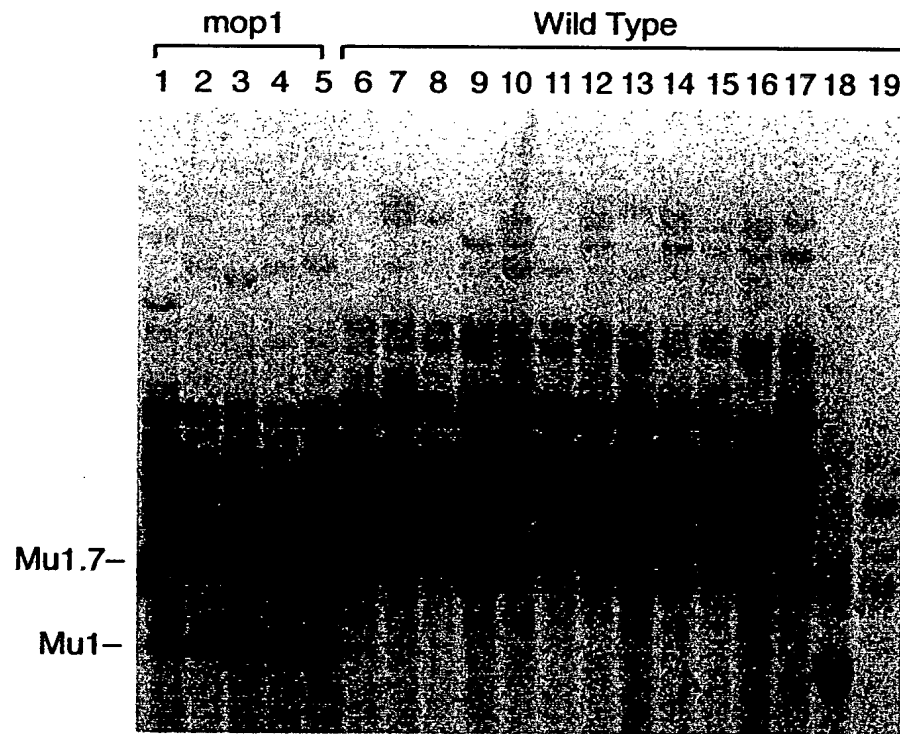
**FIG.\_13B**



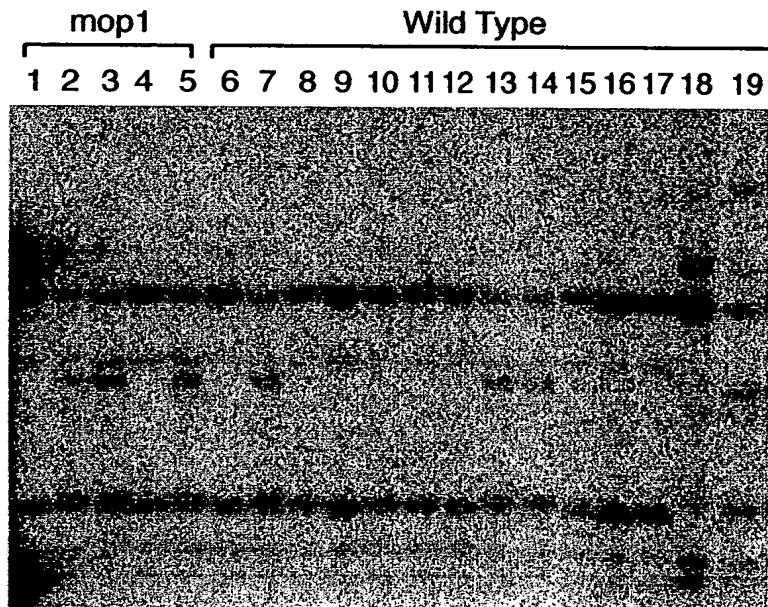
**FIG.\_13C**



13 / 32

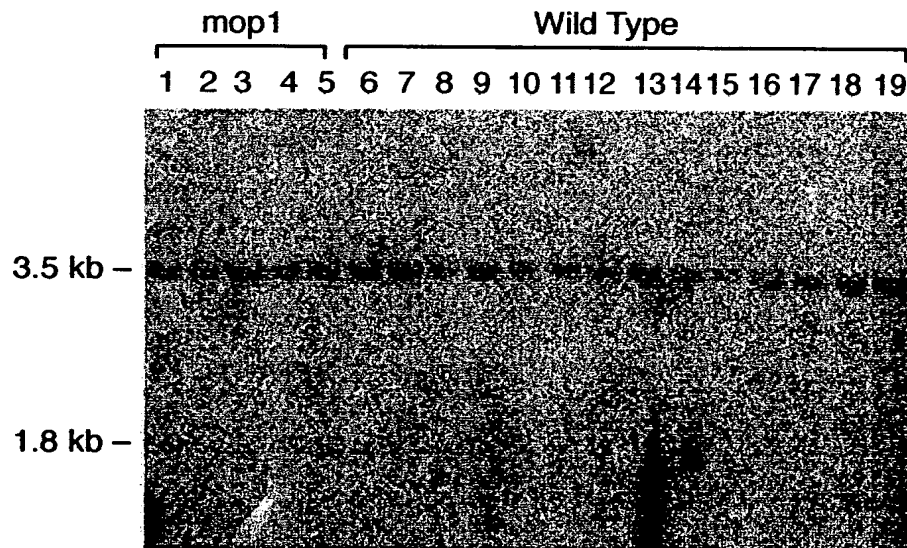


**FIG.\_14A**

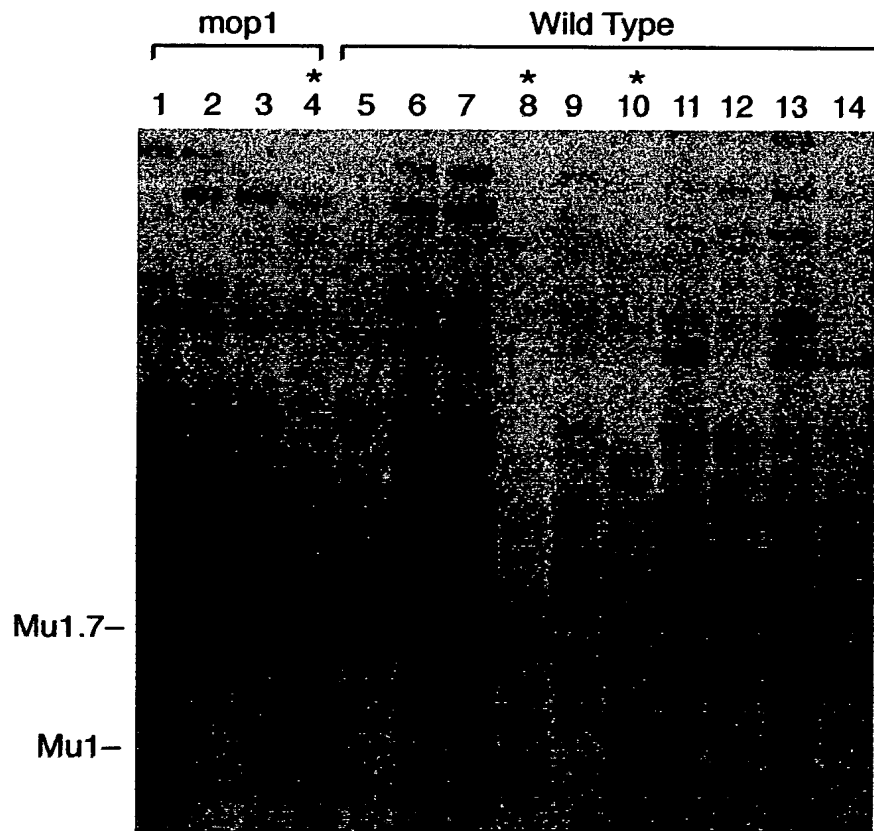


**FIG.\_14B**

14 / 32

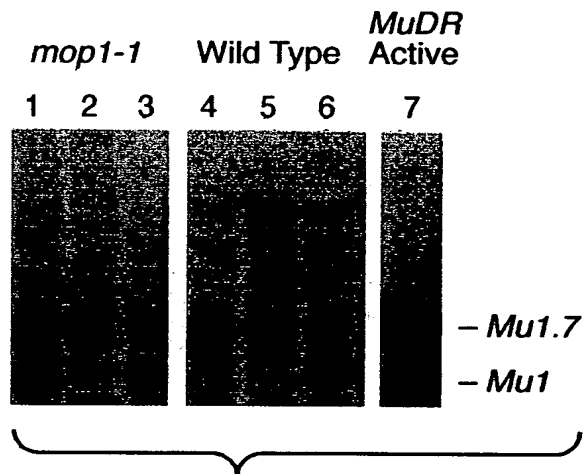


**FIG. 14C**

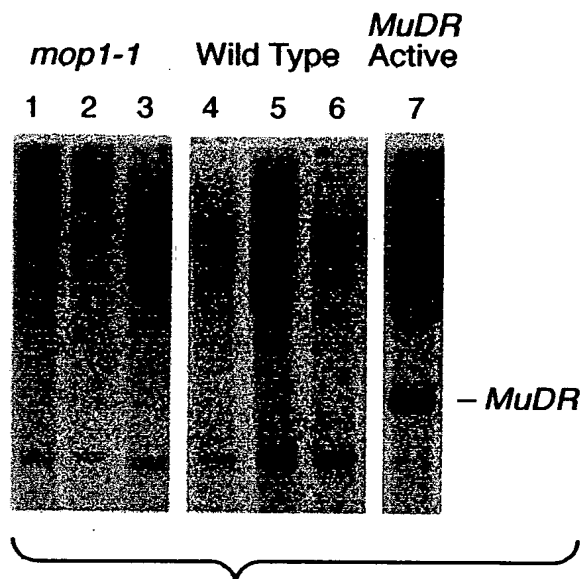


**FIG. 14D**

15 / 32

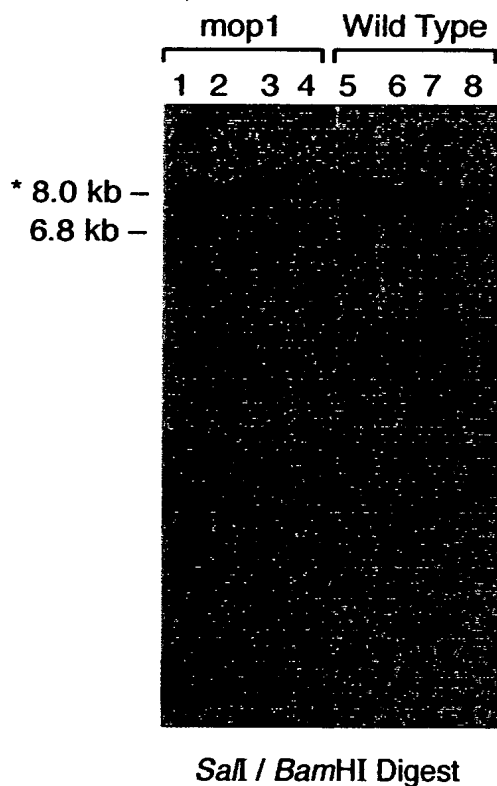
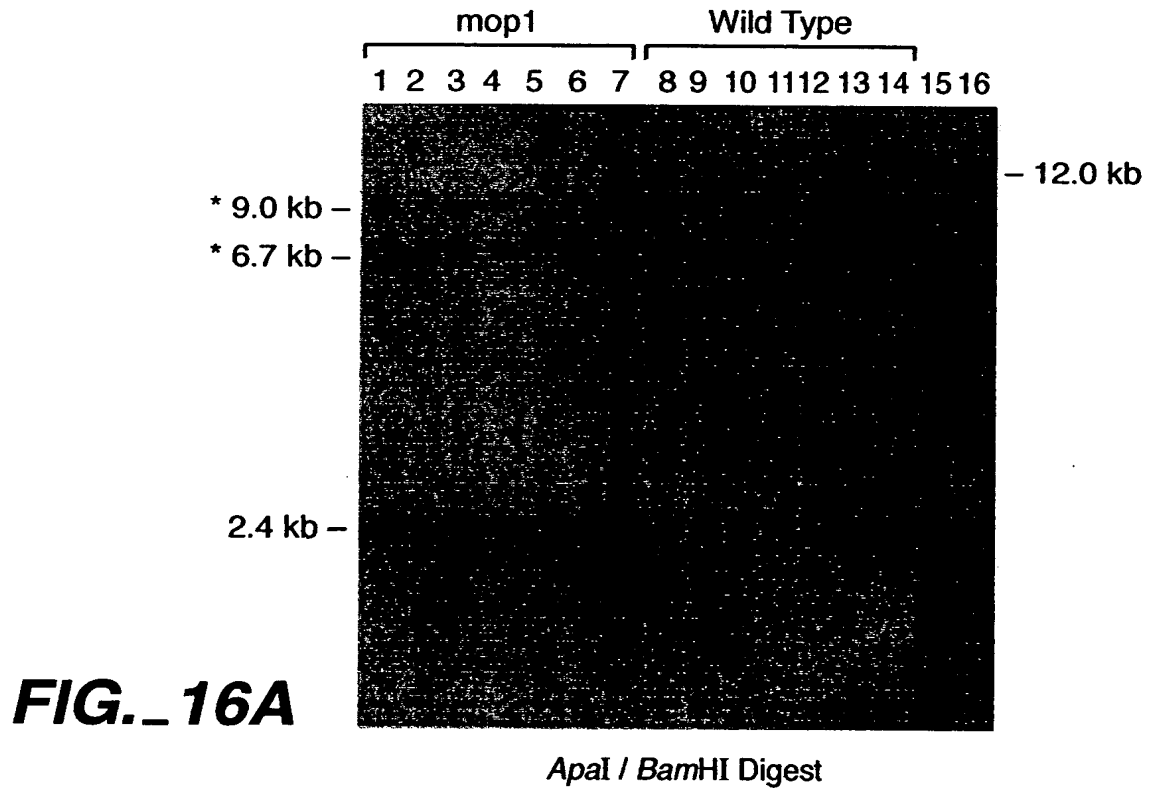


**FIG.\_15A**

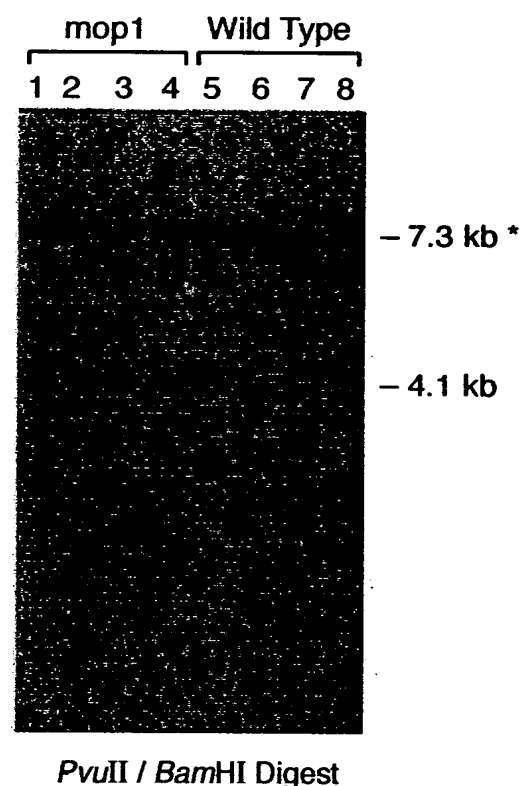


**FIG.\_15B**

16 / 32

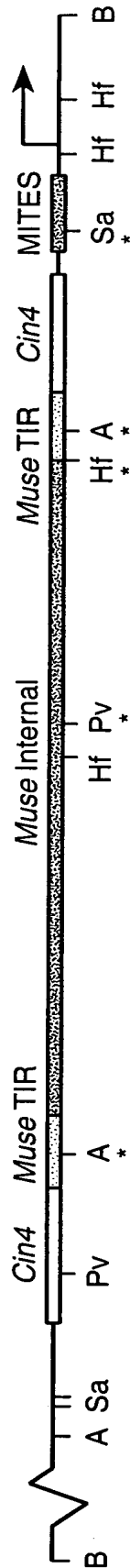


**FIG.\_16B**



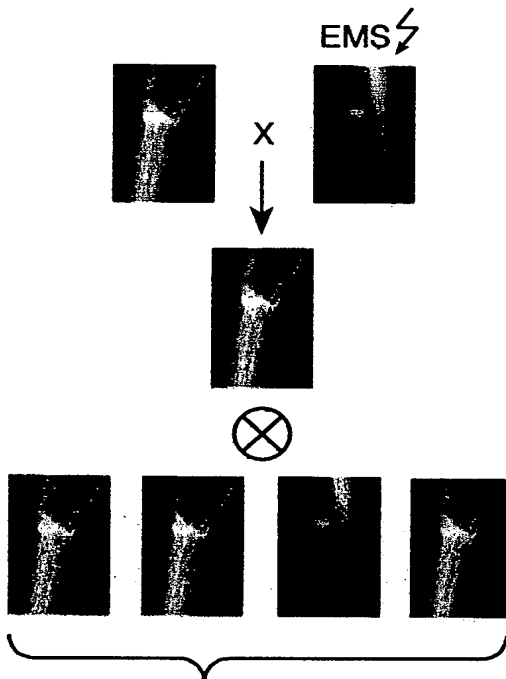
**FIG.\_16C**

17 / 32

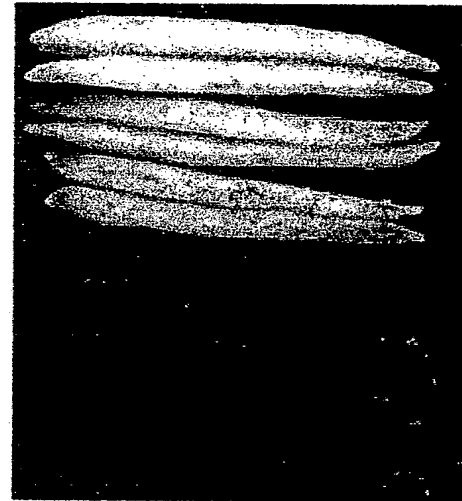


**FIG. 16D**

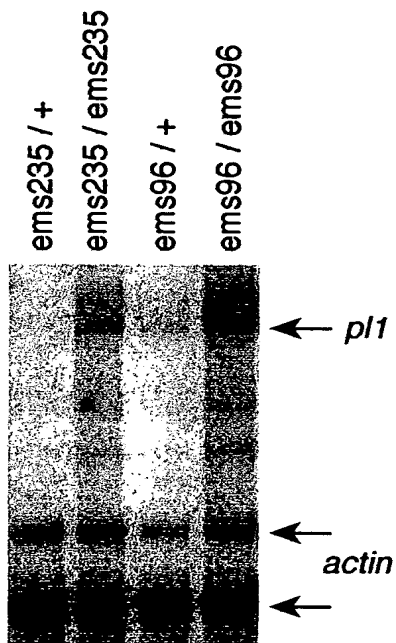
18 / 32



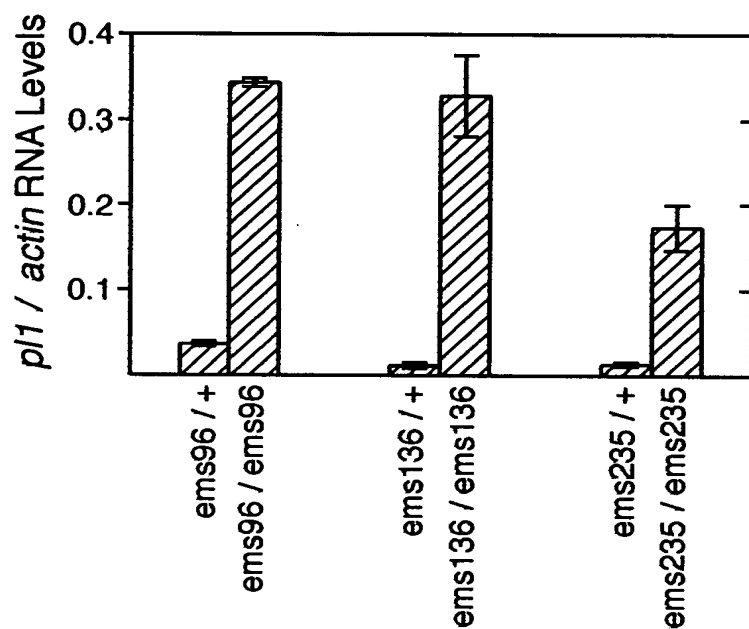
**FIG. 17**



**FIG. 18A**

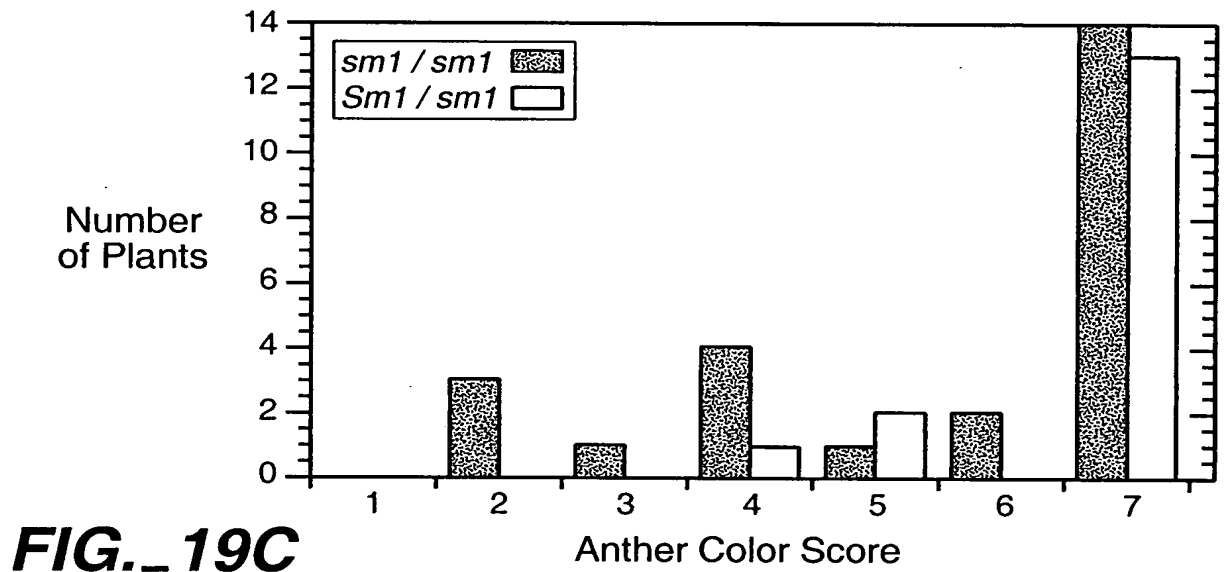
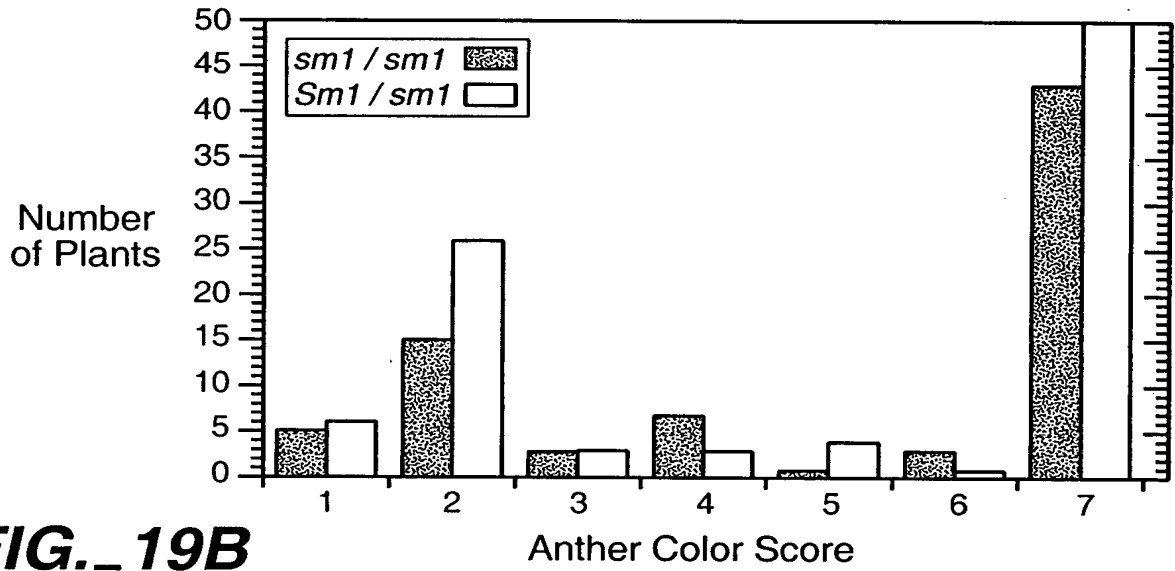
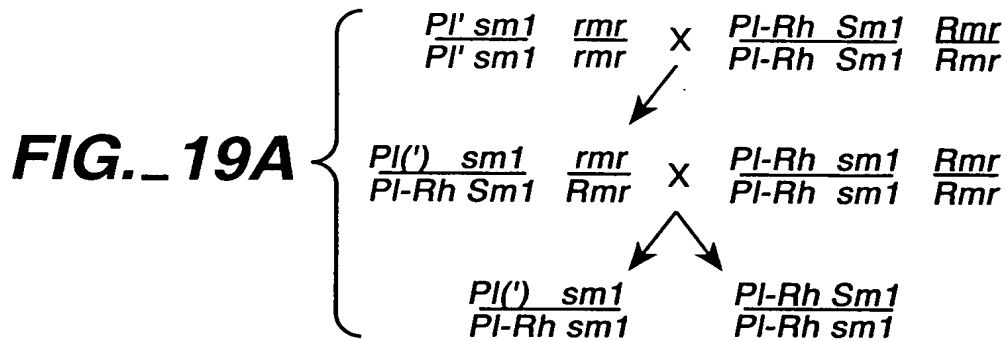


**FIG. 18B**



**FIG. 18C**

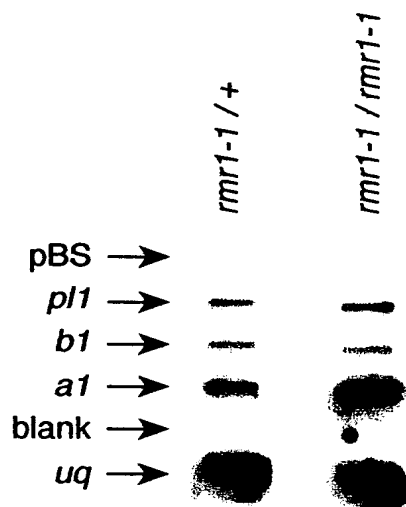
19 / 32



20 / 32

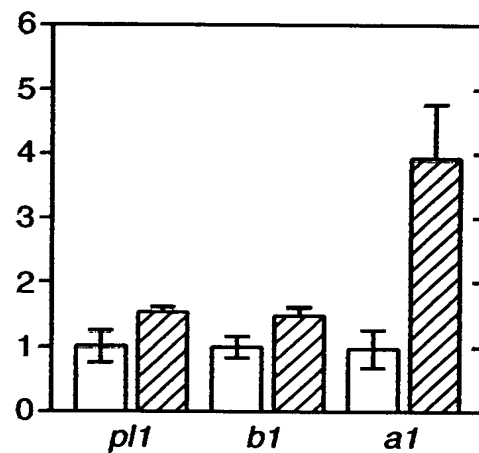


**FIG.\_20**



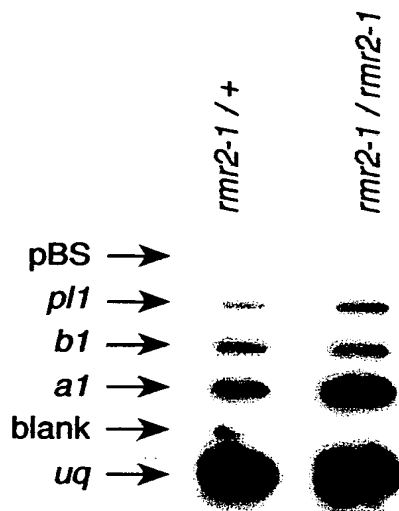
**FIG.\_21A**

Relative  
Transcription  
Rates



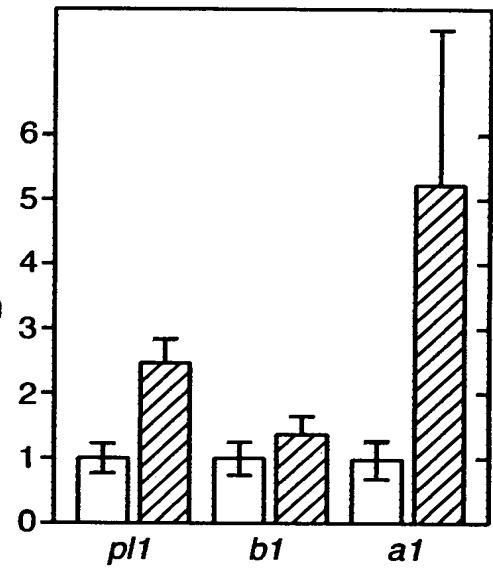
**FIG.\_21B**

21 / 32

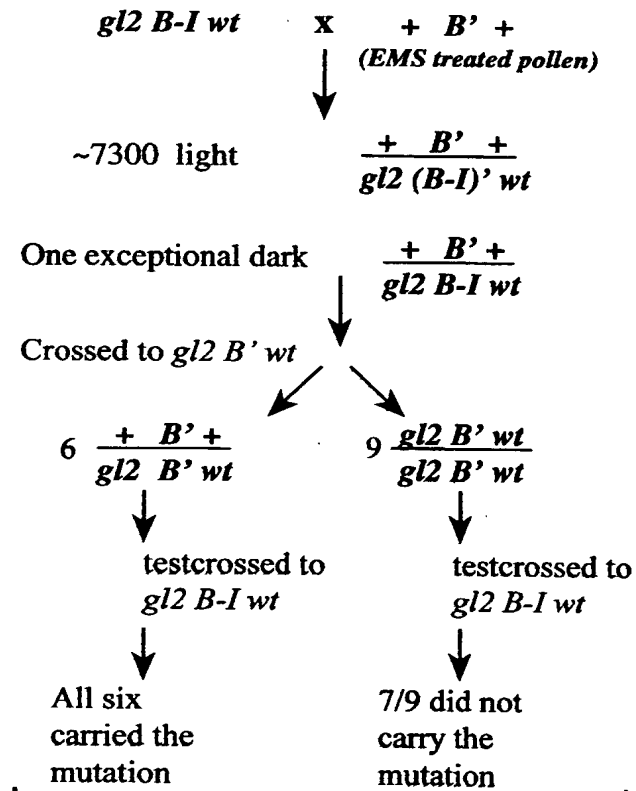


**FIG.\_22A**

Relative  
Transcription  
Rates

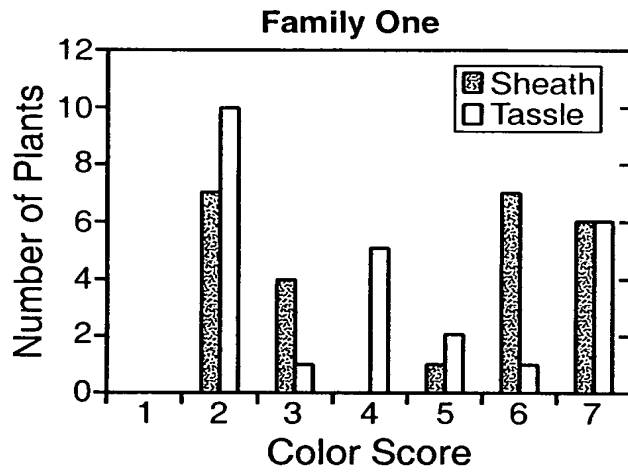


**FIG.\_22B**

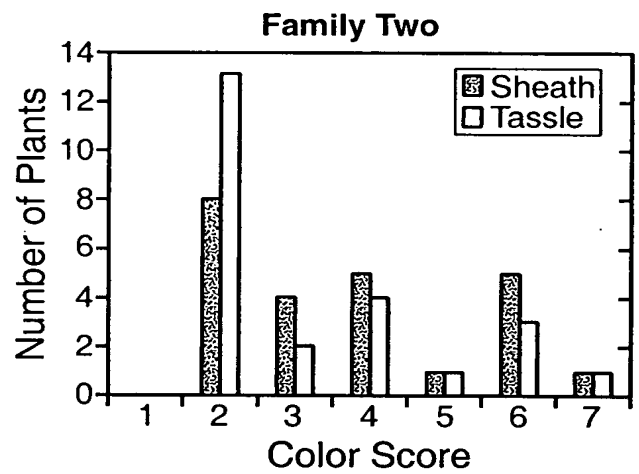


**FIG.\_23**

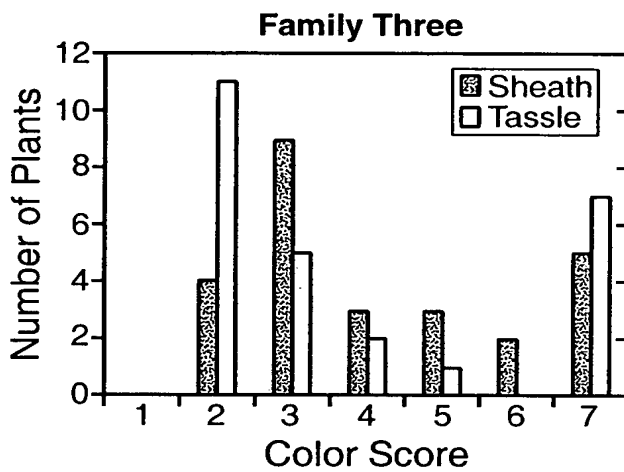
22 / 32



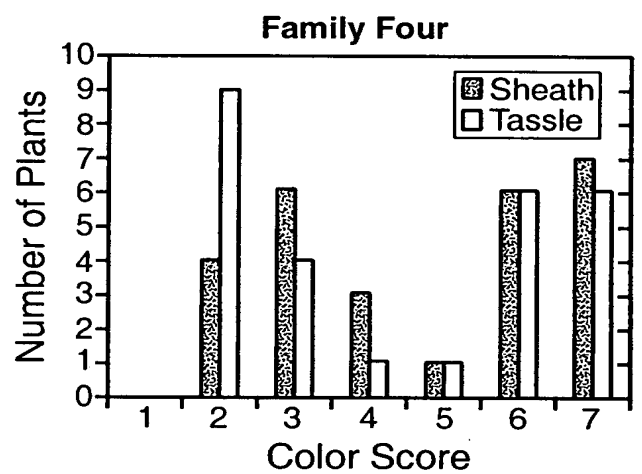
**FIG.\_24A**



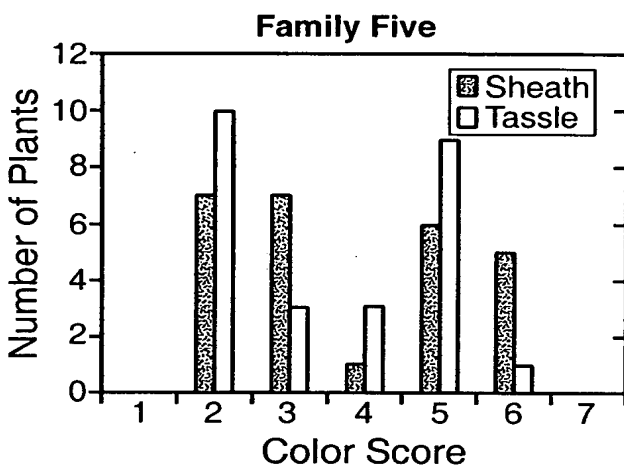
**FIG.\_24B**



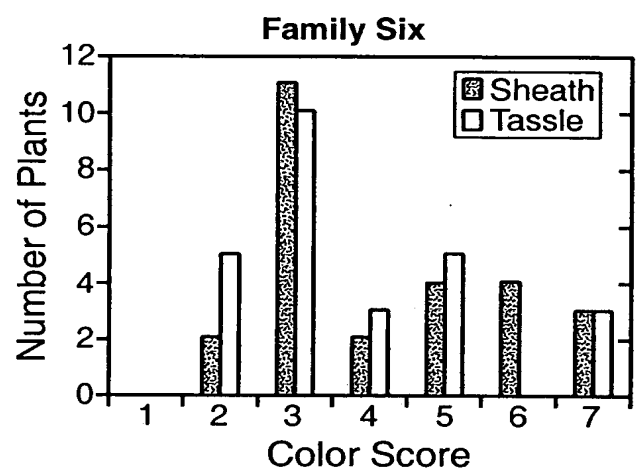
**FIG.\_24C**



**FIG.\_24D**

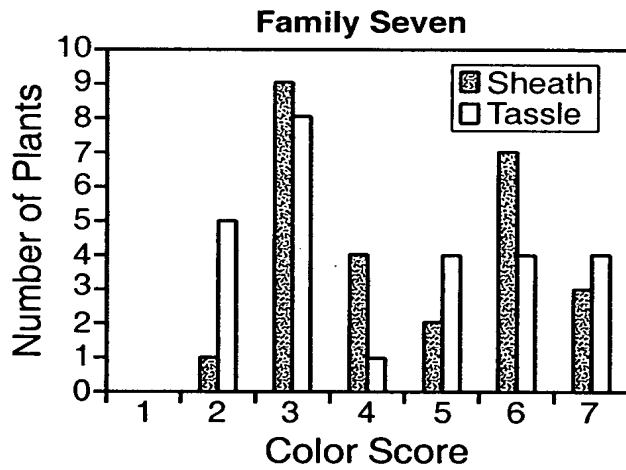


**FIG.\_24E**

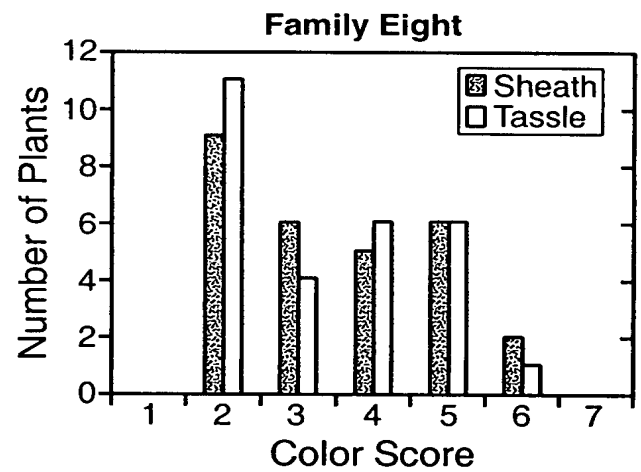


**FIG.\_24F**

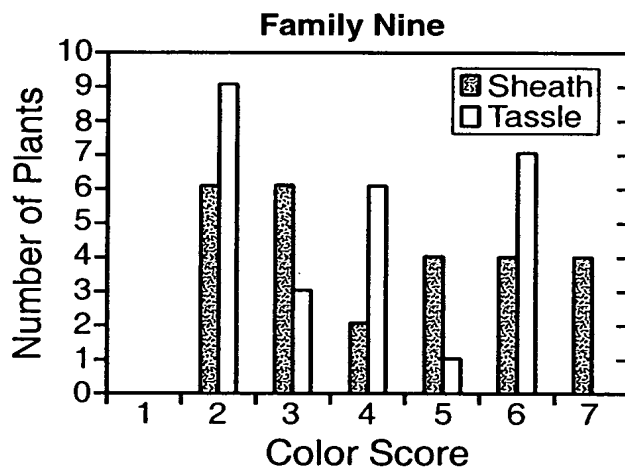
23 / 32



**FIG.\_24G**

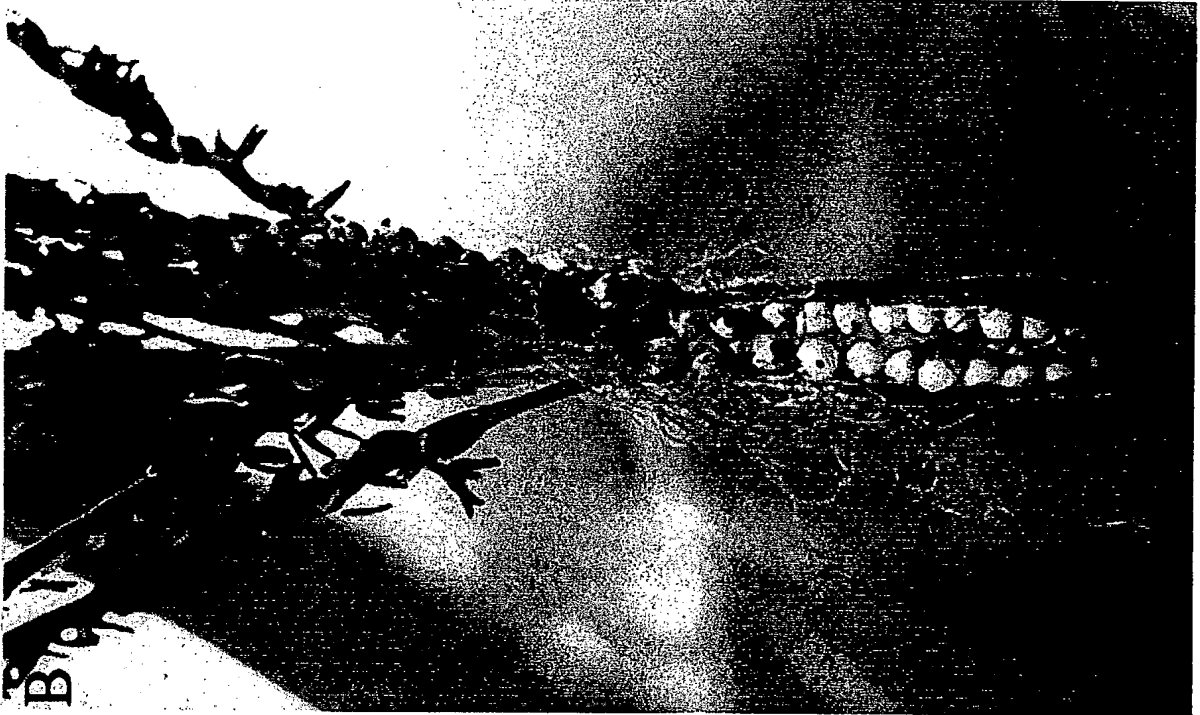


**FIG.\_24H**



**FIG.\_24I**

24 / 32

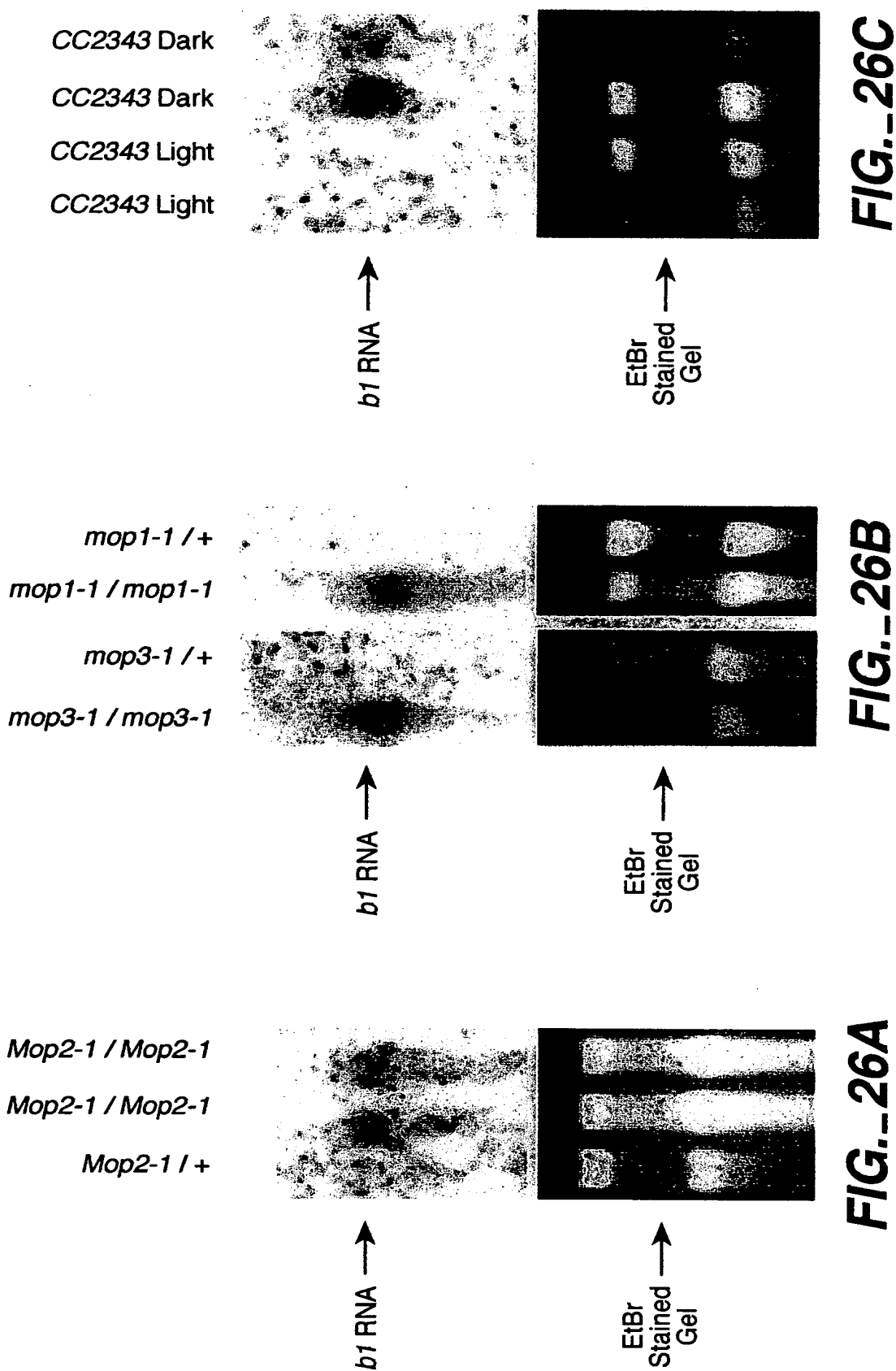


**FIG. 25B**



**FIG. 25A**

25 / 32



26 / 32

**FIG.\_27A**



**FIG.\_27B**



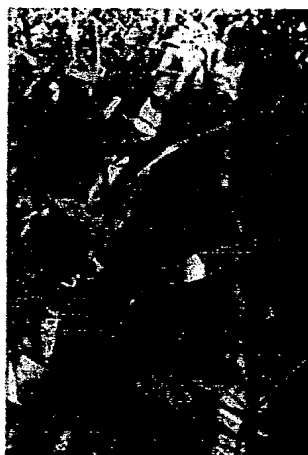
**FIG.\_27C**



**FIG.\_27D**



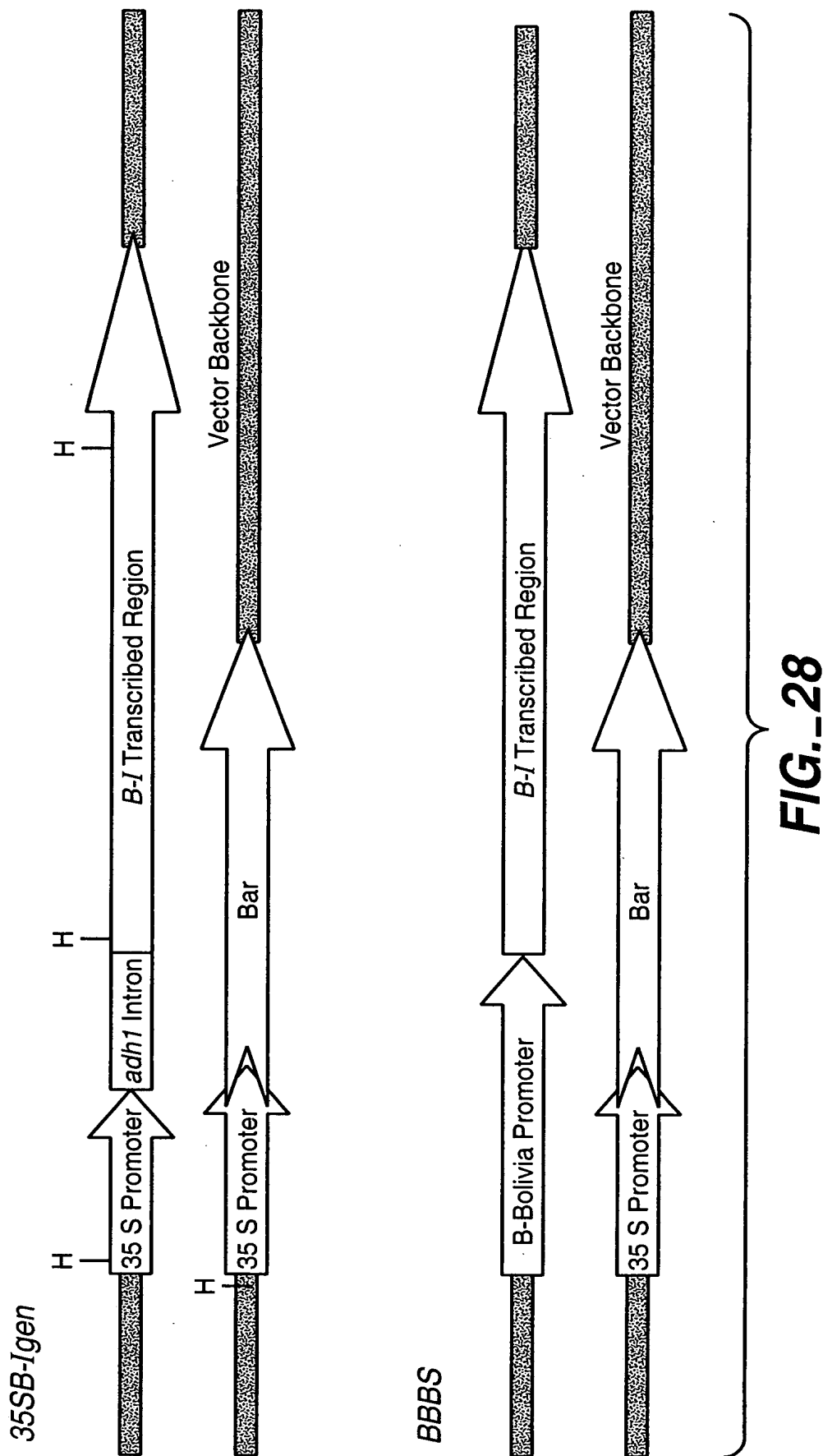
**FIG.\_27E**



**FIG.\_27F**

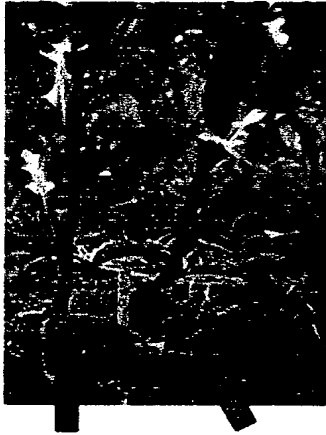


27 / 32



28 / 32

**FIG.\_29A**



*B' Mop2-1 / mop2*    *B' Mop2-1 / Mop2-1*  
 35SB-I

**FIG.\_29B**



*rmr2-1 / rmr2-1*    *Rmr2 / rmr2-1*  
 35SB-I

**FIG.\_29C**

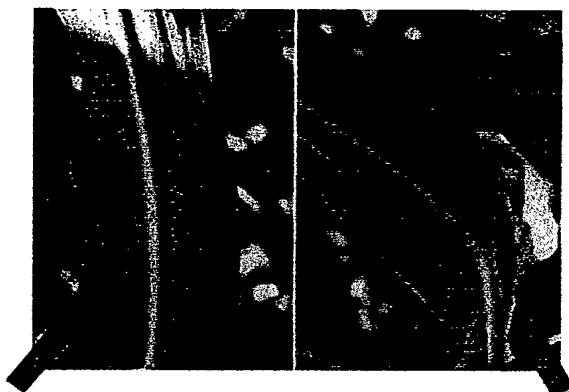


*B' mop1-1 / mop1-1*    *B' Mop1 / mop1-1*  
 35SB-I

**FIG.\_29D**



*rmr1-1 / rmr1-1*    *Rmr1 / rmr1-1*  
 35SB-I



*Rmr2 / rmr2-1*    *rmr2-1 / rmr2-1*  
 BBBS

**FIG.\_29E**

29 / 32

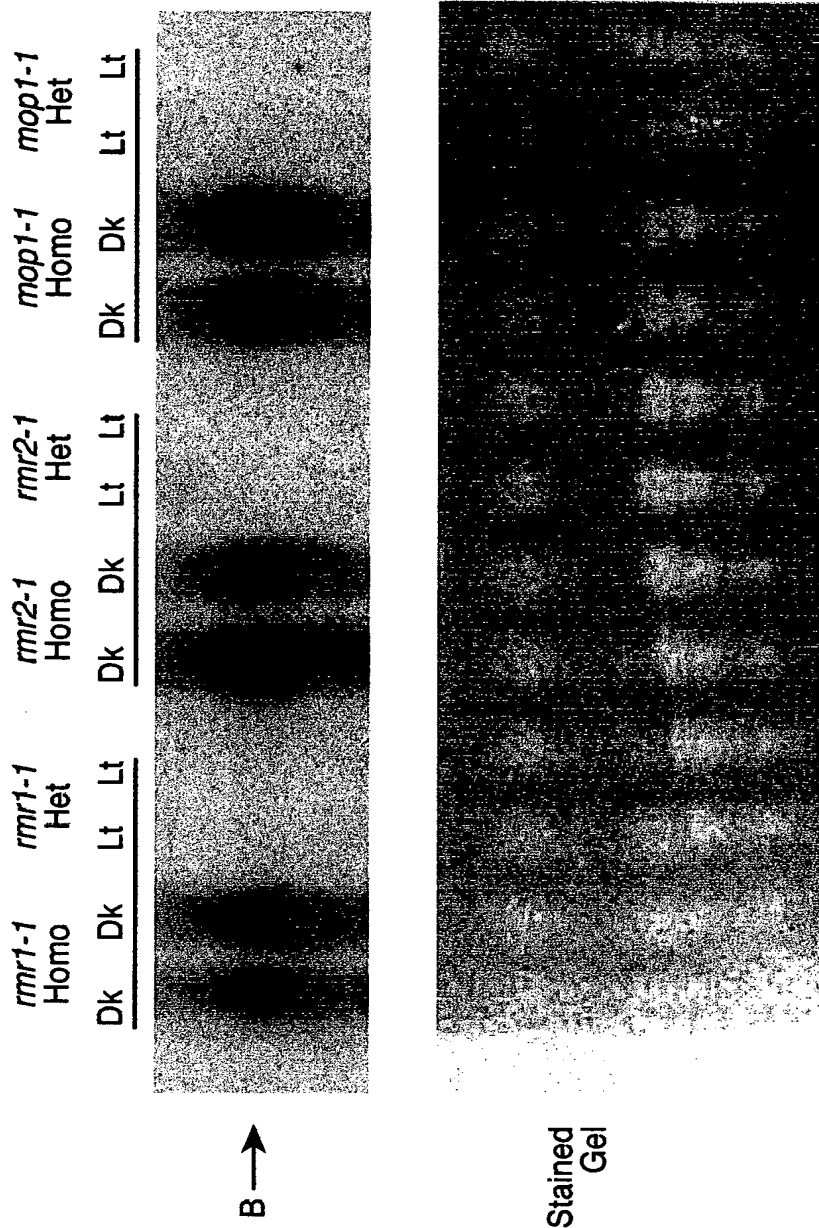
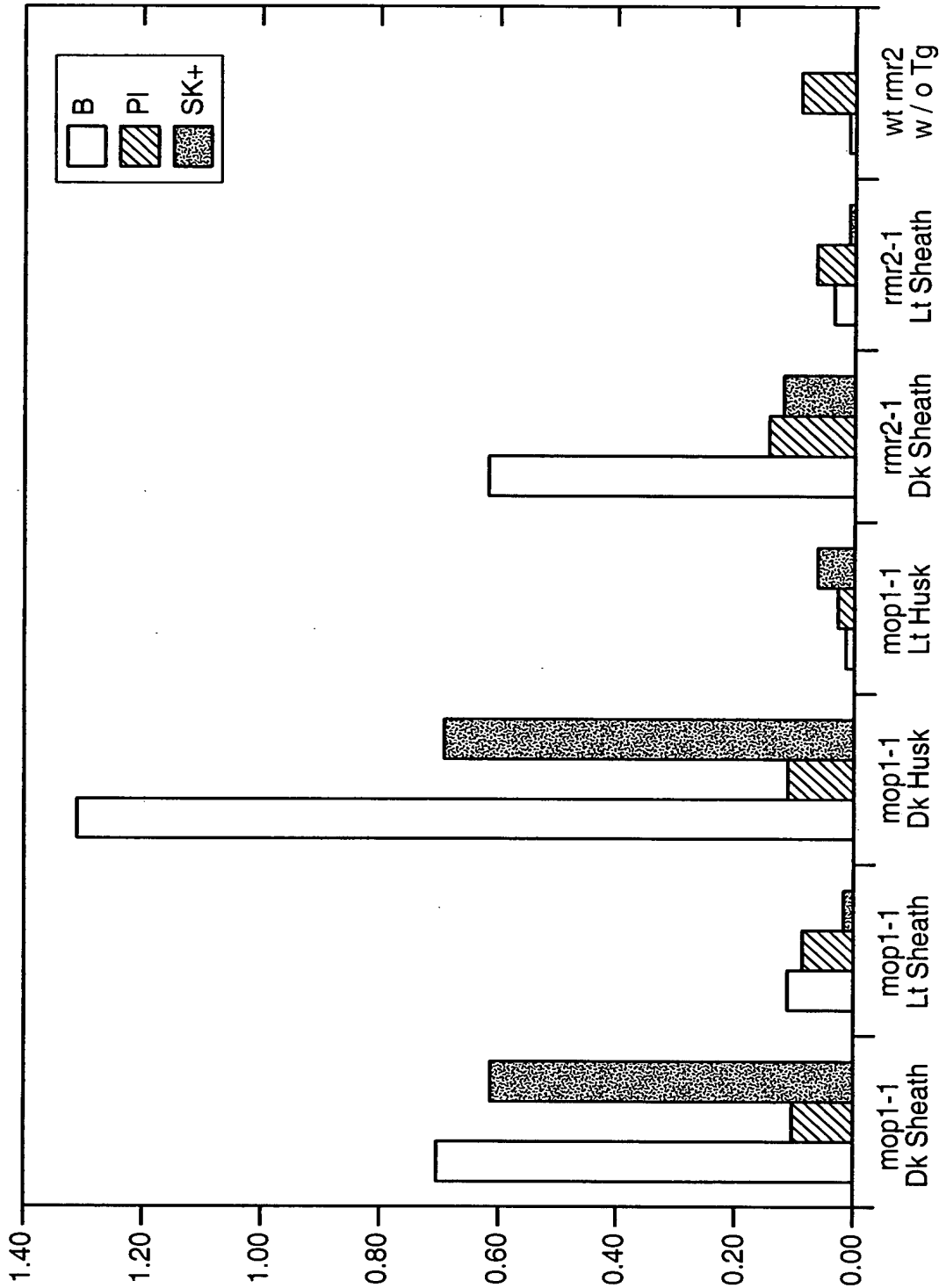


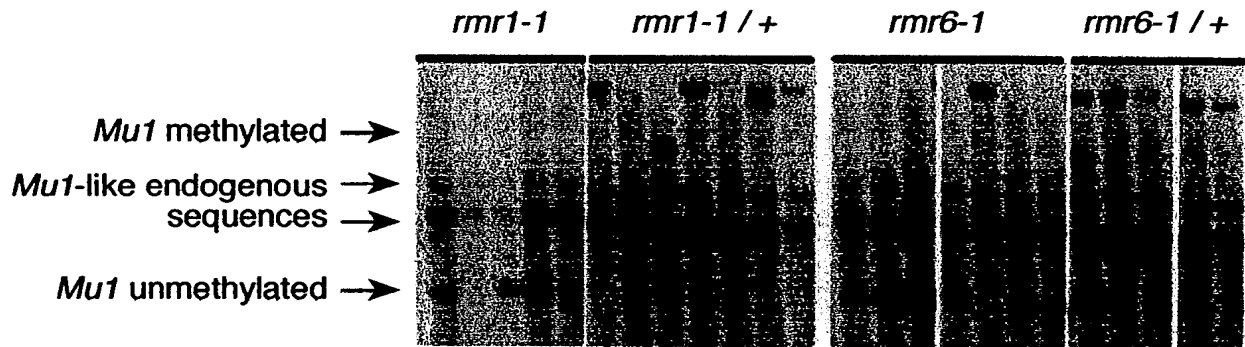
FIG. 30

30 / 32

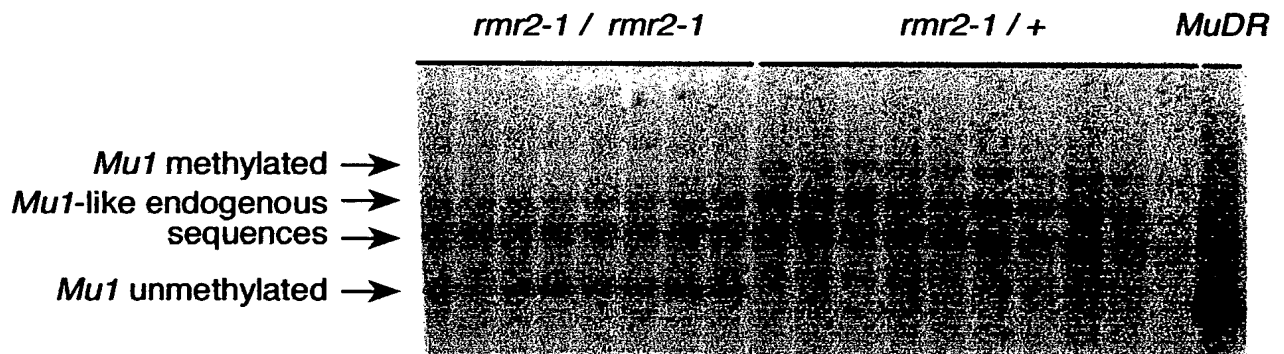


**FIG. 31**

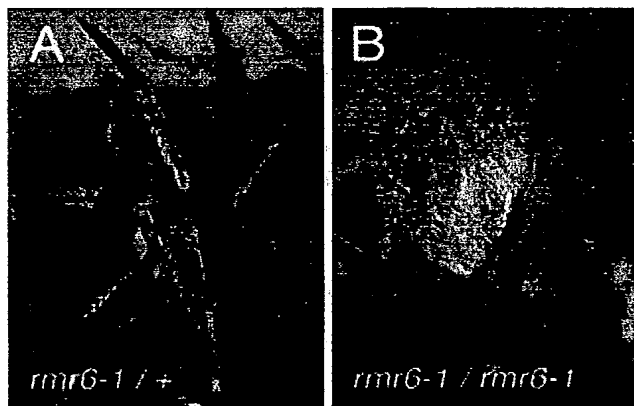
31 / 32



**FIG.\_32A**

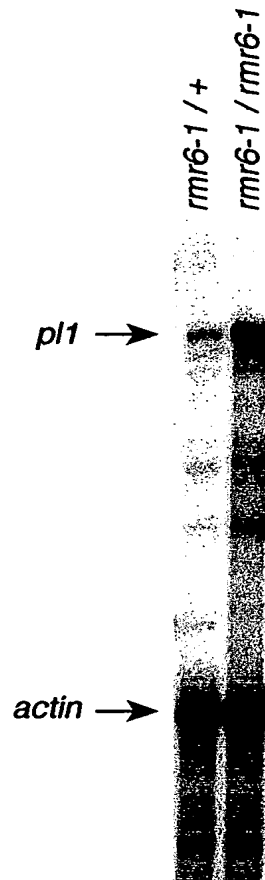


**FIG.\_32B**

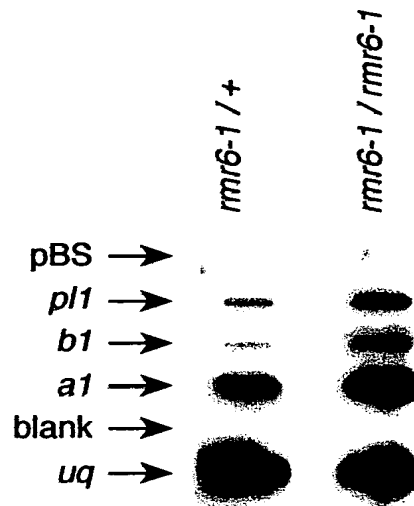


**FIG.\_33A FIG.\_33B**

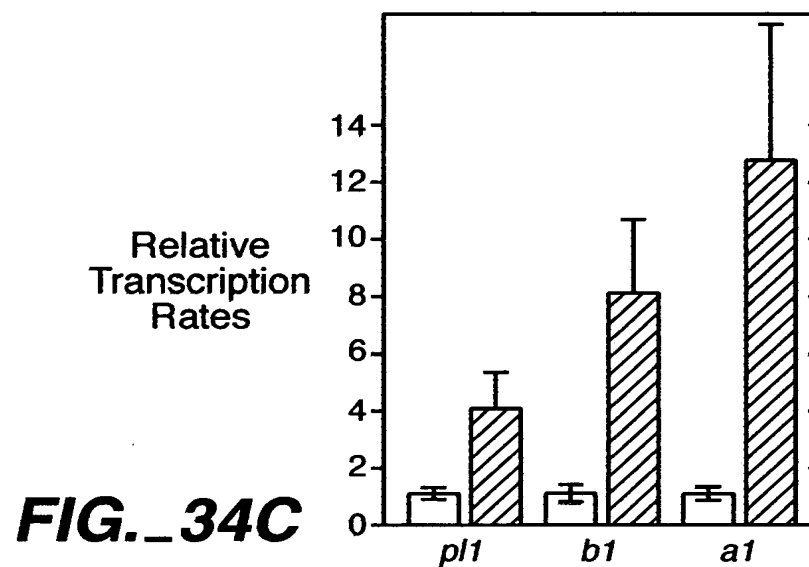
32 / 32



**FIG.\_34A**



**FIG.\_34B**



**FIG.\_34C**